



Квантовая криптография: основные понятия и применения

С.Н.Молотков

*Кафедра Суперкомпьютеров и
Квантовой Информатики*

ВМК МГУ имени М.В.Ломоносова,



Лаборатория

Квантовых Оптических Технологий

Часть I

1. Зачем это нужно. Проблема распределения секретных ключей -- центральная проблема в криптографии.

2. Как это выглядит сегодня и как может выглядеть в будущем.

3. Как это работает – общие принципы.

4. Необходимость квантового генератора случайных чисел.

5. Доказательства секретности ключей.

Криптостойкость относительно любых атак, включая квантовую память и квантовый компьютер.

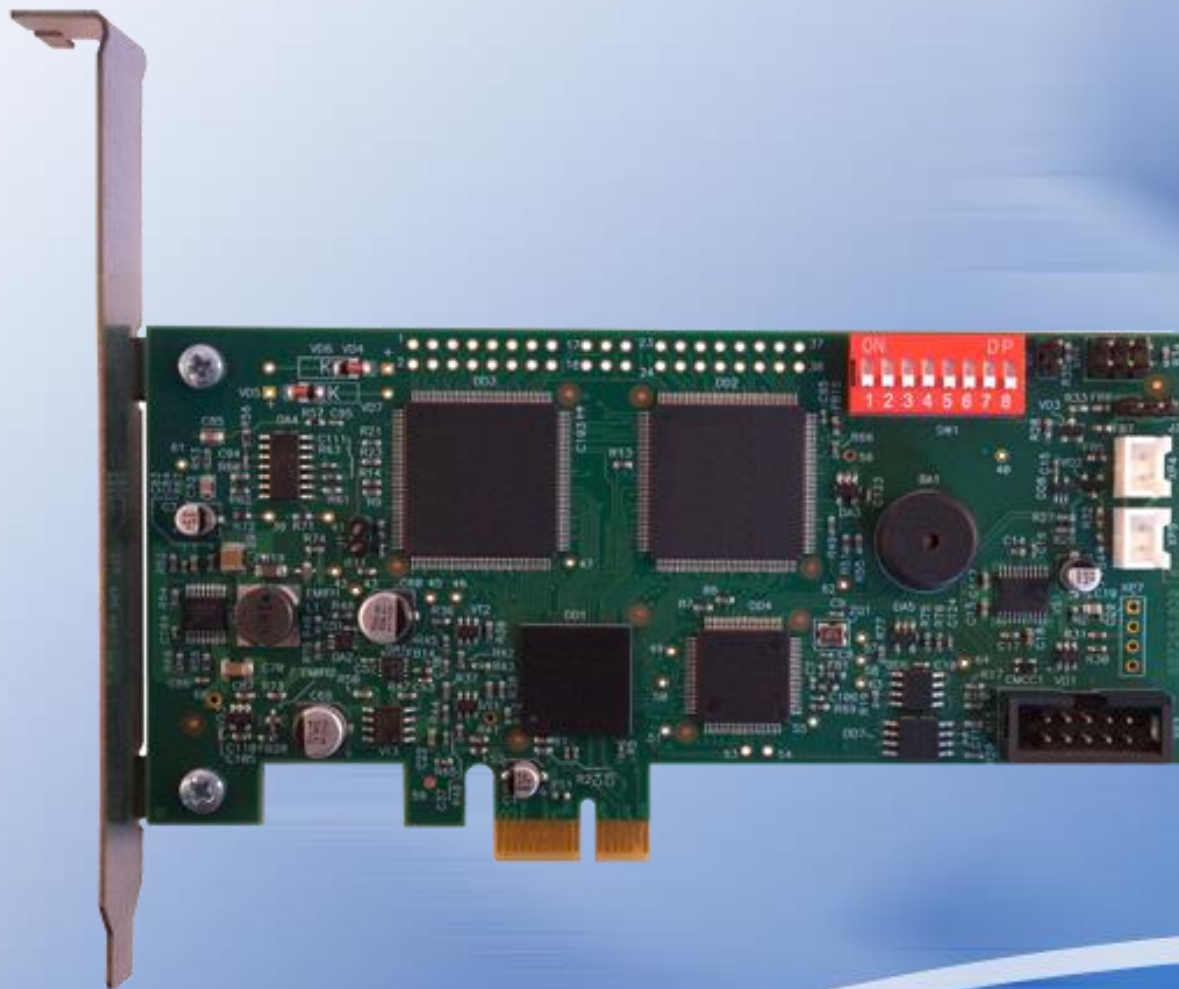
Часть II

- 1. Реализации систем квантовой криптографии. Обзор современного состояния.**
- 2. Волоконно-оптические системы. Сравнение по доказуемой криптостойкости.**
- 3. Системы для открытого пространства. Сравнение по доказуемой криптостойкости.**
- 4. Сети с квантовым распределением ключей.**
- 5. Реконфигурируемые сети с квантовым распределением ключей.**
- 6. Где и что у кого есть?**

Часть III.

- 1. Вопросы, которые требуется решить (интегрирование в имеющиеся шифр-средства, устойчивость относительно активного зондирования, инфраструктура, элементная база).**

Современная плата шифратора, реализующая российский стандарт шифрования ГОСТ 28147-89 Р





101010101
101010101

Cold War Soviet Cryptanalysis

- Soviet Union was breaking codes and employed at least 100 cryptologists...

[Source: Cryptologia, interviews by David Kahn
with gen. Andreev=first head of FAPSI=Russian NSA]

Example: In 1967 GRU (Soviet Intelligence) was intercepting cryptograms from 115 countries, using 152 cryptosystems, and among these they broke 11 codes and “obtained” 7 other codes.

Часть I

1. Зачем это нужно. Проблема распределения секретных ключей -- центральная проблема в криптографии.

Существуют ли абсолютно секретные (стойкие) системы шифрования? Ответ – ДА.

Шифрование с одноразовыми ключами.

В этом месте ошибались даже великие – Леонард Эйлер.

G.Vernam, В.А.Котельников, С.Shannon

22 JUL 1926
PRIVATE

BELL TELEPHONE LABORATORIES
INCORPORATED

JUNE
1926



REPRINT
B-198

CIPHER PRINTING
TELEGRAPH SYSTEMS

BY

G. S. VERNAM

CIPHER PRINTING TELEGRAPH
SYSTEMS FOR SECRET WIRE AND RADIO
TELEGRAPHIC COMMUNICATIONS

By G. S. VERNAM¹
Associate, A. I. E. E.

Synopsis.—This paper describes a printing telegraph cipher system developed during the World War for the use of the Signal Corps, U. S. Army. This system is so designed that the messages are in secret form from the time they leave the sender until they are deciphered automatically at the office of the addressee. If copied while en route, the messages cannot be deciphered by an enemy, even though he has full knowledge of the methods and apparatus used. The operation of the equipment is described, as well as the method of using it for sending messages by wire, mail or radio.

The paper also discusses the practical impossibility of preventing the copying of messages, as by wire tapping, and the relative advantages of various codes and ciphers as regards speed, accuracy and the secrecy of their messages.

INTRODUCTION

THE purpose of this paper is to discuss briefly certain methods for obtaining secrecy in connection with messages sent by wire or radio telegraphy, and to describe in particular printing telegraph cipher systems that were developed for this purpose during the World War.

RUNNING KEY CIPHERS

If the key used with this type of cipher is made very long, so that it never repeats and if any portion of this key is never used for more than one message, the operation of “breaking” the cipher becomes very much more difficult. If, now, instead of using English words or sentences, we employ a key composed of letters selected absolutely at random, a cipher system is produced which is absolutely unbreakable.



В.А. Котельников
Автор «теоремы Котельникова»
(1932 г.)



Владимир Александрович Котельников
(06.09.1908 – 11.02.2005)

Одноразовые ключи -- Отчет 19 июня 1941 г.

**ОТКАЗ В ПУБЛИКАЦИИ СТАТЬИ
В.А. КОТЕЛЬНИКОВА**

Редакция журнала "ЭЛЕКТРИЧЕСТВО"

Орган Главэнергопрома и Главэнерго НКТП
и Энергетического института Академии Наук СССР.
Издание ОНТИ

Москва, Калужская, д. 67, Энергетический Институт Академии Наук
СССР им. Г.М. Кржижановского
Адрес для корреспонденции: МОСКВА, Главный почтамт, почтовый
ящик № 648
Тел. редакции: В 5-32-79
Тел. ответ. редактора: В 5-32-78

11. X. 1936

Тов. КОТЕЛЬНИКОВУ В.А.

Москва, ул. Горького, 17

Научно-Исследоват.
Ин-т Электросвязи.

Уваж. Тов!

Редакция журнала "Электричество" возвращает
Вам статью "О пропускной способности эфира и про-
волоки в электросвязи", так как из-за перегруженно-
сти портфеля и узкого интереса данной статьи, учи-

тывая профиль нашего журнала, использовать ее не
сможем.

Приложение: Статья на 24 стр. и 4 рис.

Отв. Редактор журнала
"Электричество" _____ /Я.А. Климовицкий/

Зав. редакцией _____ /М.Г. Башкова/

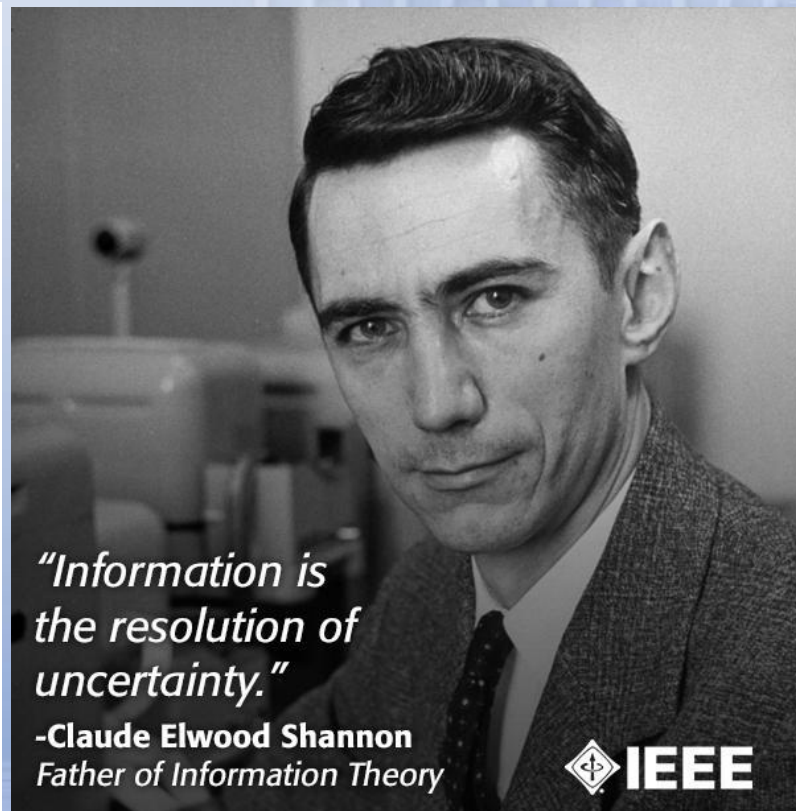
Communication Theory of Secrecy Systems*

By C. E. SHANNON

1 INTRODUCTION AND SUMMARY

The problems of cryptography and secrecy systems furnish an interesting application of communication theory¹. In this paper a theory of secrecy systems is developed. The approach is on a theoretical level and is intended to complement the treatment found in standard works on cryptography². There, a detailed study is made of the many standard types of codes and ciphers, and of the ways of breaking them. We will be more concerned with the general mathematical structure and properties of secrecy systems.

The treatment is limited in certain ways. First, there are three general types of secrecy system: (1) concealment systems, including such methods as invisible ink, concealing a message in an innocent text, or in a fake covering cryptogram, or other methods in which the existence of the message is concealed from the enemy; (2) privacy systems, for example speech inversion, in which special equipment is required to recover the message; (3) "true" secrecy systems where the meaning of the message is concealed by cipher, code, etc., although its existence is not hidden, and the enemy is assumed to have any special equipment necessary to intercept and record the transmitted signal. We consider only the third type—concealment systems and



*"Information is
the resolution of
uncertainty."*

-Claude Elwood Shannon
Father of Information Theory



* The material in this paper appeared in a confidential report "A Mathematical Theory of Cryptography" dated Sept. 1, 1946, which has now been declassified.

¹ Shannon, C. E., "A Mathematical Theory of Communication," Bell System Technical Journal, July 1948, p.379; Oct. 1948, p.623.

² See, for example, H. F. Gaines, "Elementary Cryptanalysis," or M. Givierge, "Cours de Cryptographie."

Секретный ключ

$$K \rightarrow \{0,1\}^n$$

$$K_E \rightarrow \{0,1\}^n$$

$$P(K = k) = \frac{1}{2^n}$$

$$P(K = k \mid K_E = k_E) = \frac{1}{2^n}$$

$$I(K; K_E) = 0$$

Квантовая криптография

$$I(K; K_E) < 2^{-s} / \ln(2)$$

$$I(M; C) = H(C) - H(C | M) = 0$$

$$p(c | m) = p(c)$$

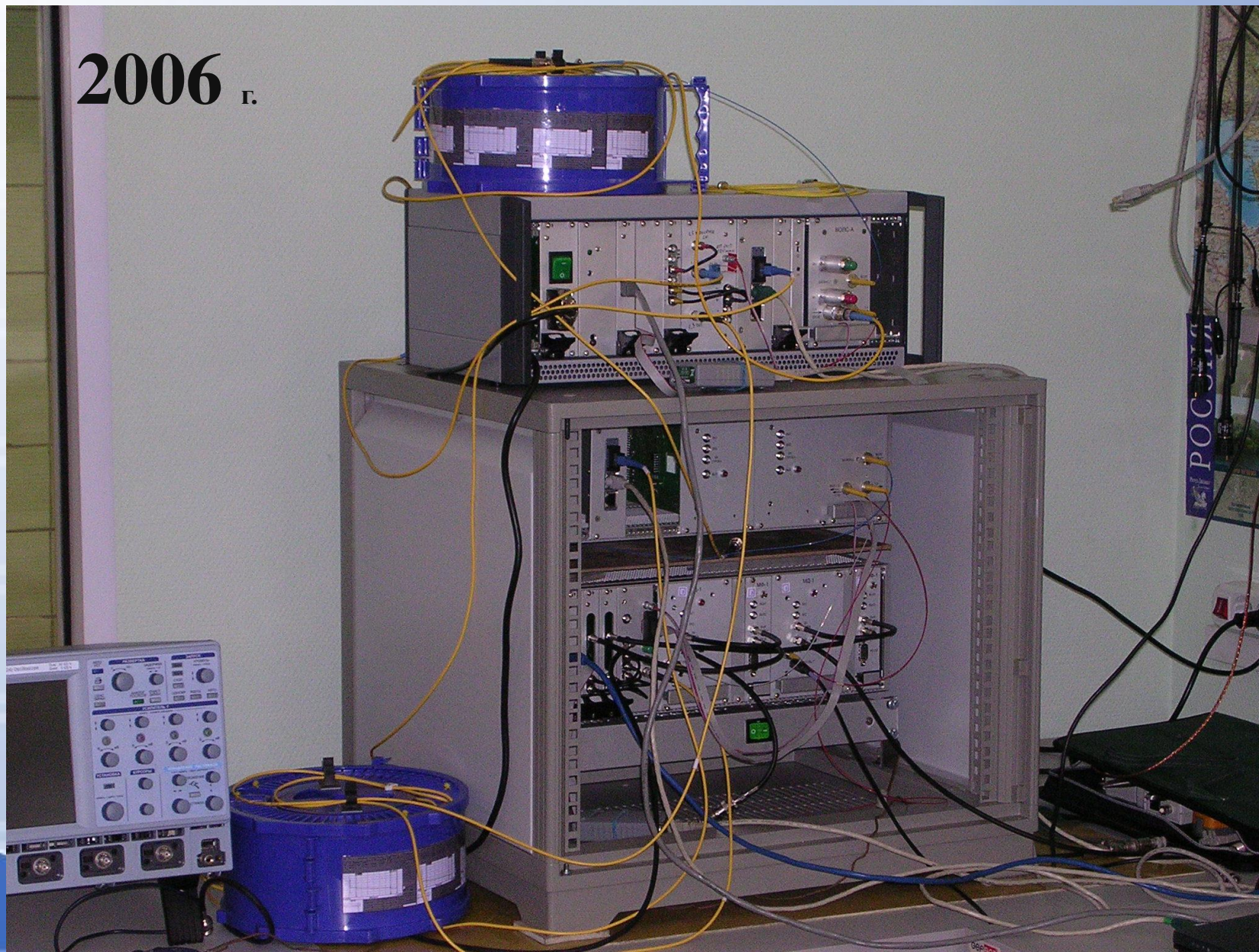
$$c = m \oplus k$$

$$m = c \oplus k = (m \oplus k) \oplus k$$

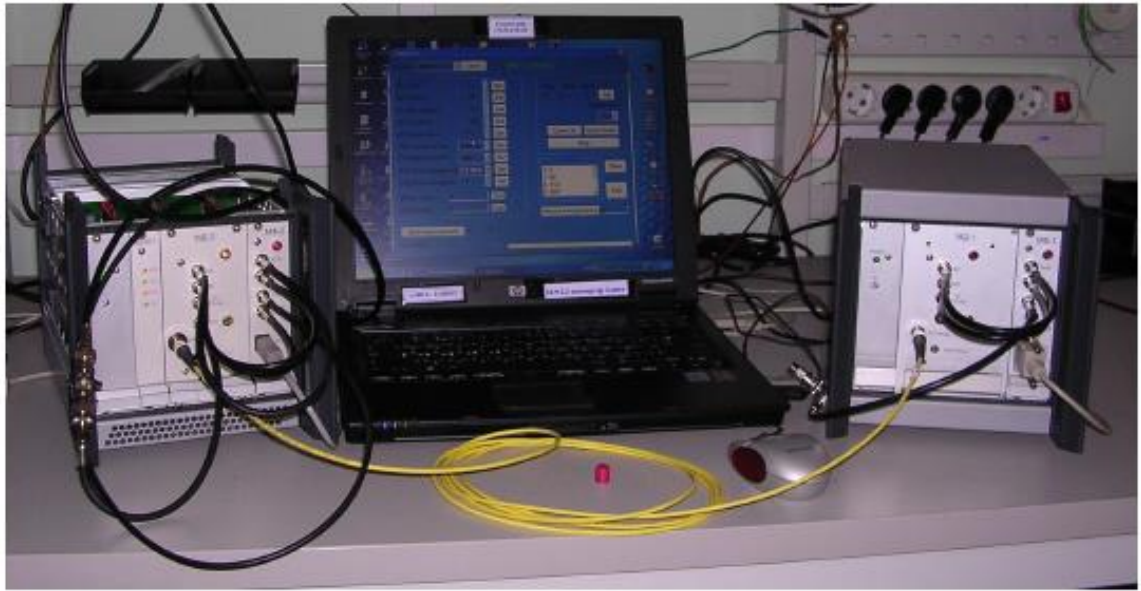
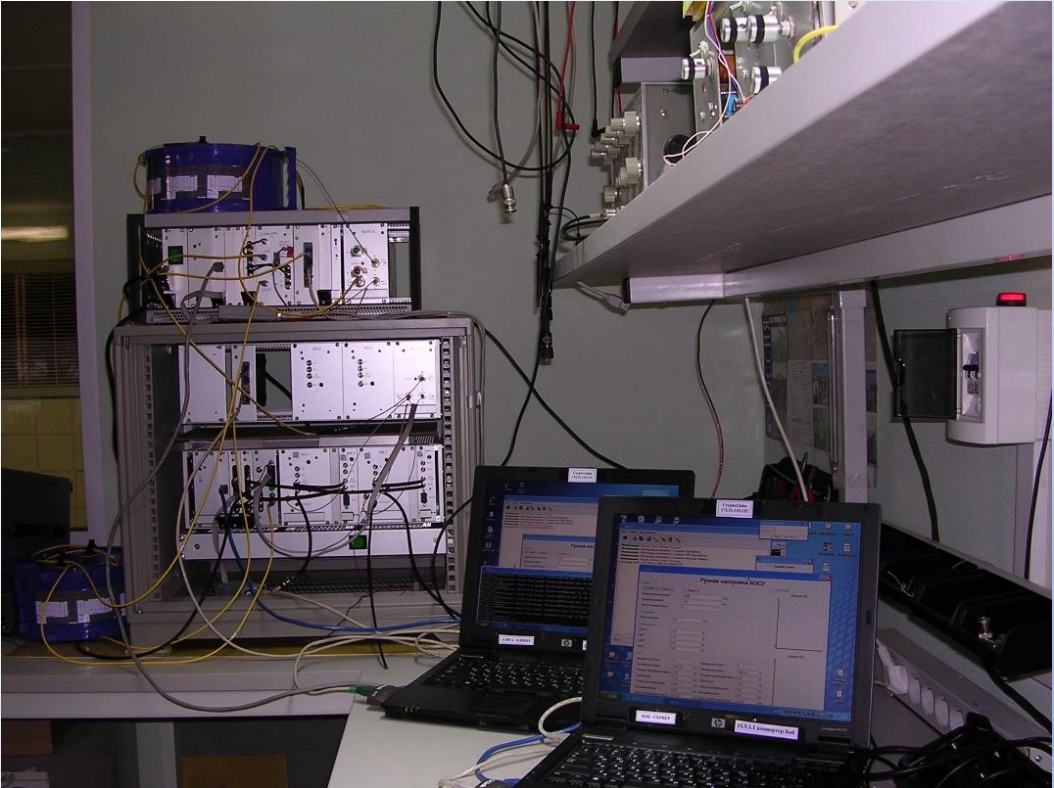
**Цель квантового распределения ключей –
создание сетевой полностью
автоматизированной системы смены
ключей без участия оператора
(после запуска системы человек никогда не
имеет доступа к ключам, используемым
для шифрования)**

Как это выглядит сегодня и как может выглядеть в будущем.

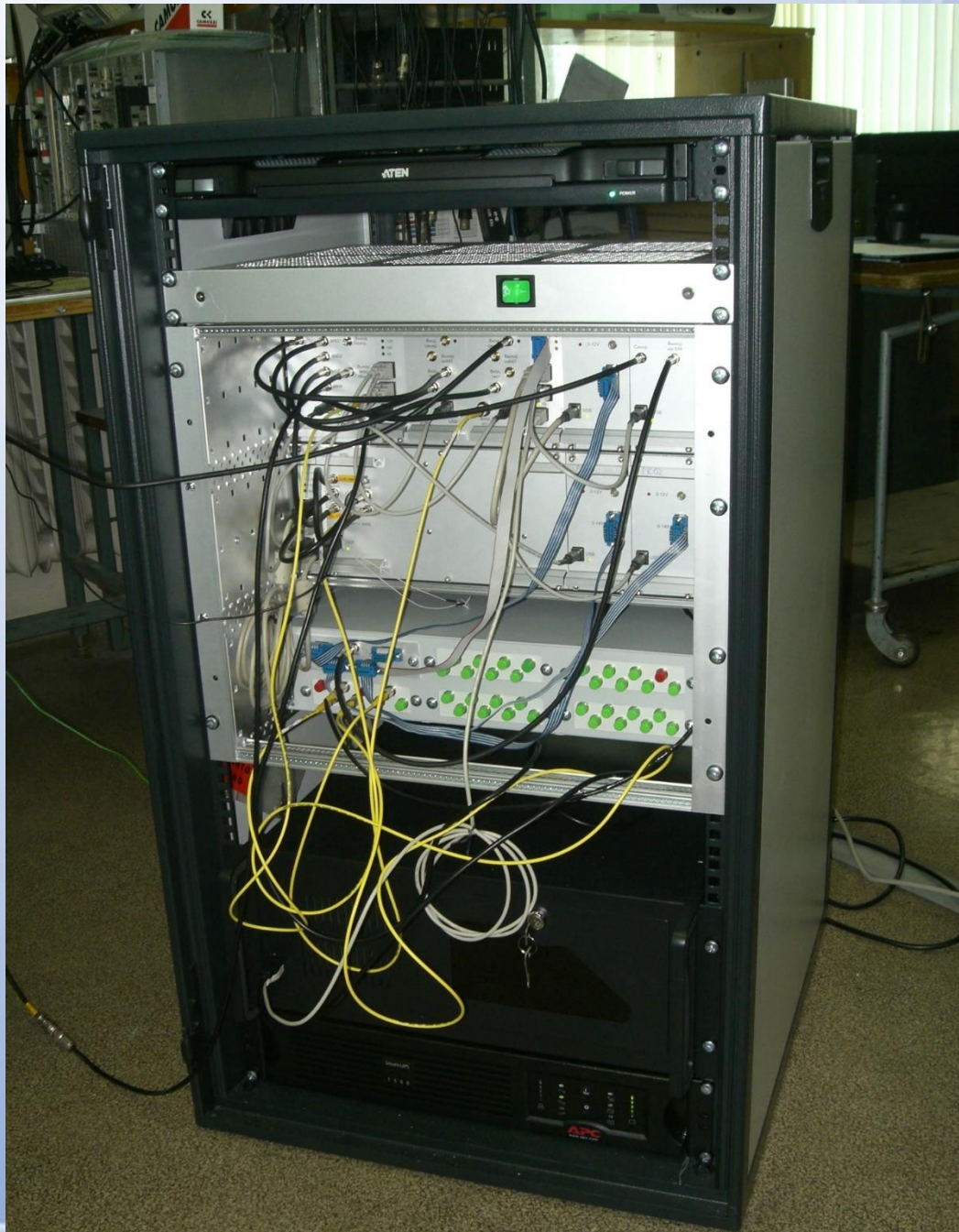
2006 г.



101010101
101010101

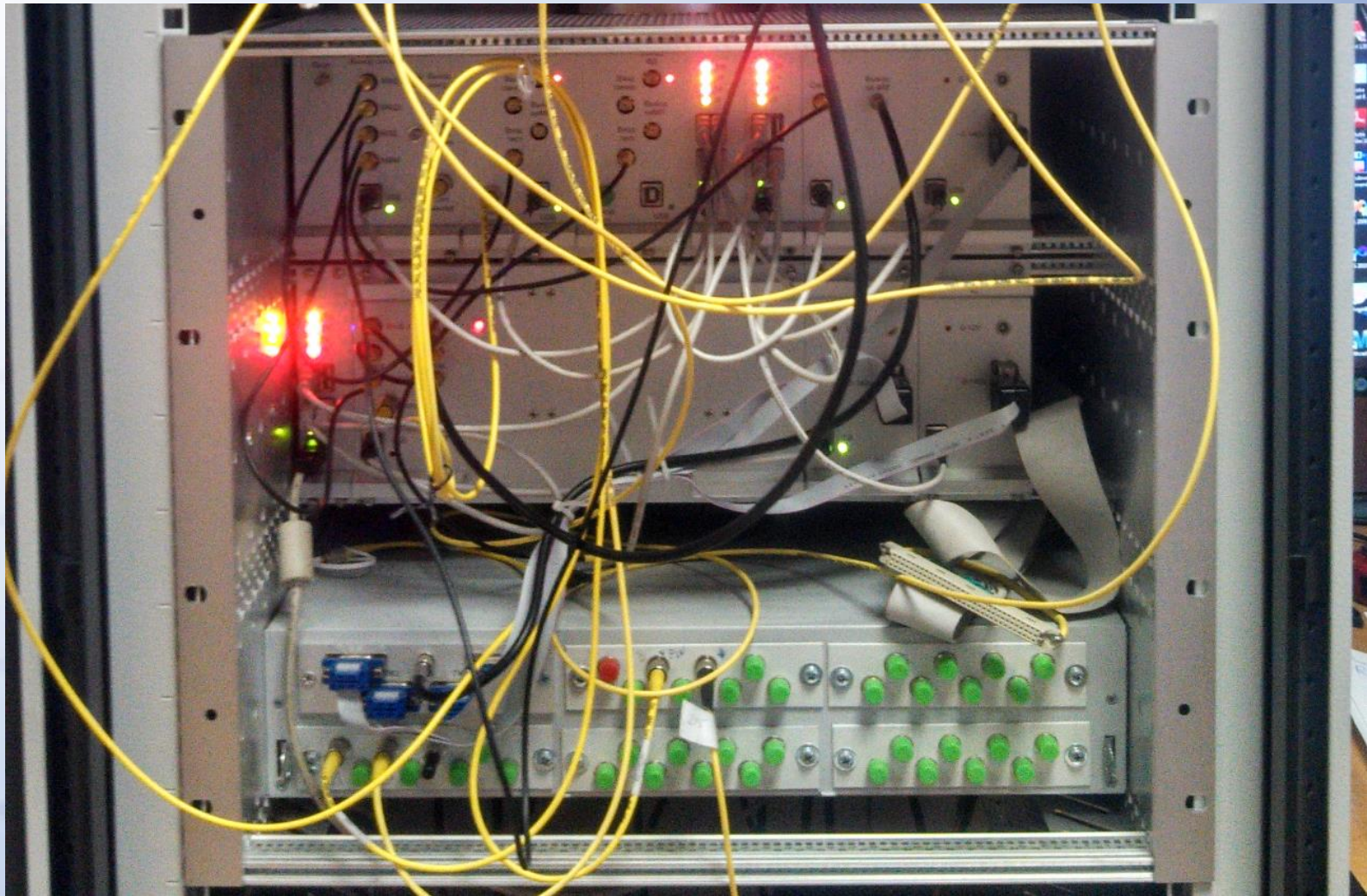


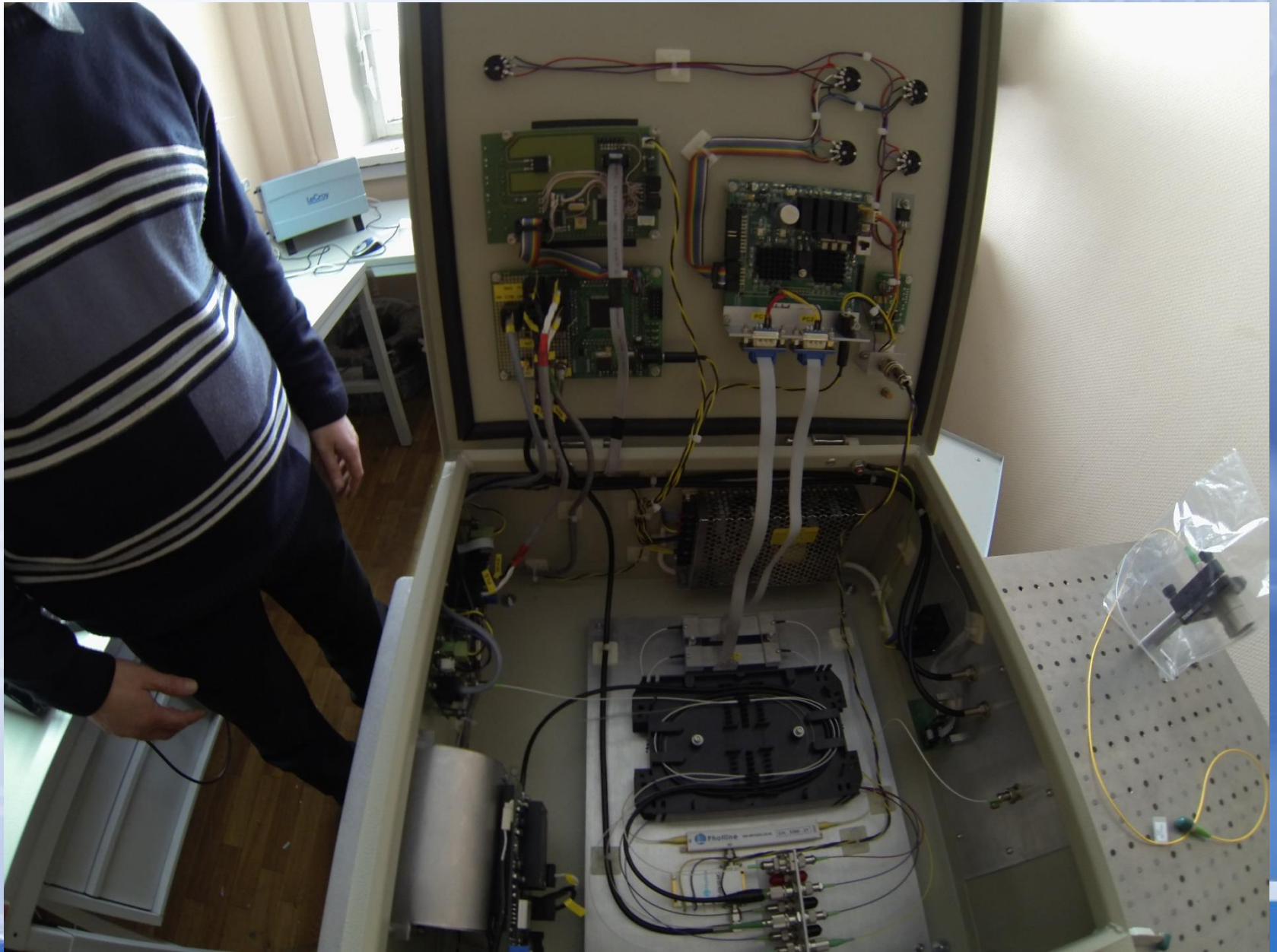




101010101
101010101

101010101
101010101



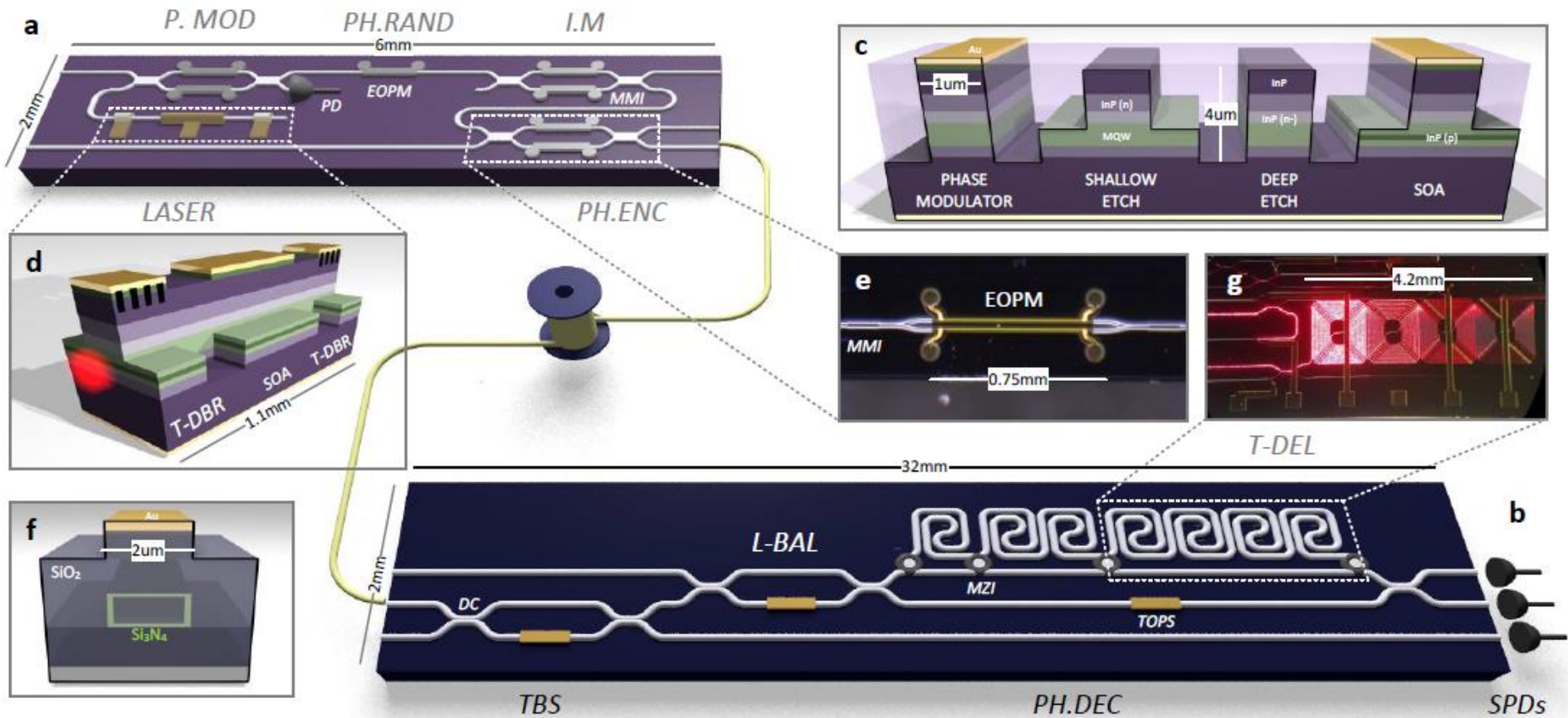


Как это будет выглядеть в будущем – контуры будущего уже явно просматриваются сегодня.

Качественный скачок в технологическом уровне -- переход на интегрально-оптическую платформу.

Chip-based Quantum Key Distribution

P. Sibson,^{1,*} C. Erven,¹ M. Godfrey,¹ S. Miki,² T. Yamashita,² M. Fujiwara,³ M. Sasaki,³ H. Terai,² M. G. Tanner,⁴ C. M. Natarajan,⁴ R. H. Hadfield,⁴ J. L. O'Brien,¹ and M. G. Thompson^{1,†}



3. Как это работает – общие принципы

Фундаментальные запреты квантовой механики.

- 1) Неизвестное квантовое состояние нельзя скопировать (с вероятностью единица).**
- 2) Любое измерение с целью отличить одно квантовое состояние от другого искажает состояние. Важно -- возмущение гарантируется для неортогональных квантовых состояний.**

$$|\varphi_0\rangle \otimes |A\rangle \rightarrow |\varphi_0\rangle \otimes |\varphi_0\rangle \otimes |A_0\rangle$$

$$|\varphi_1\rangle \otimes |A\rangle \rightarrow |\varphi_1\rangle \otimes |\varphi_1\rangle \otimes |A_1\rangle$$

$$\langle \varphi_0 | \varphi_1 \rangle \neq 0$$

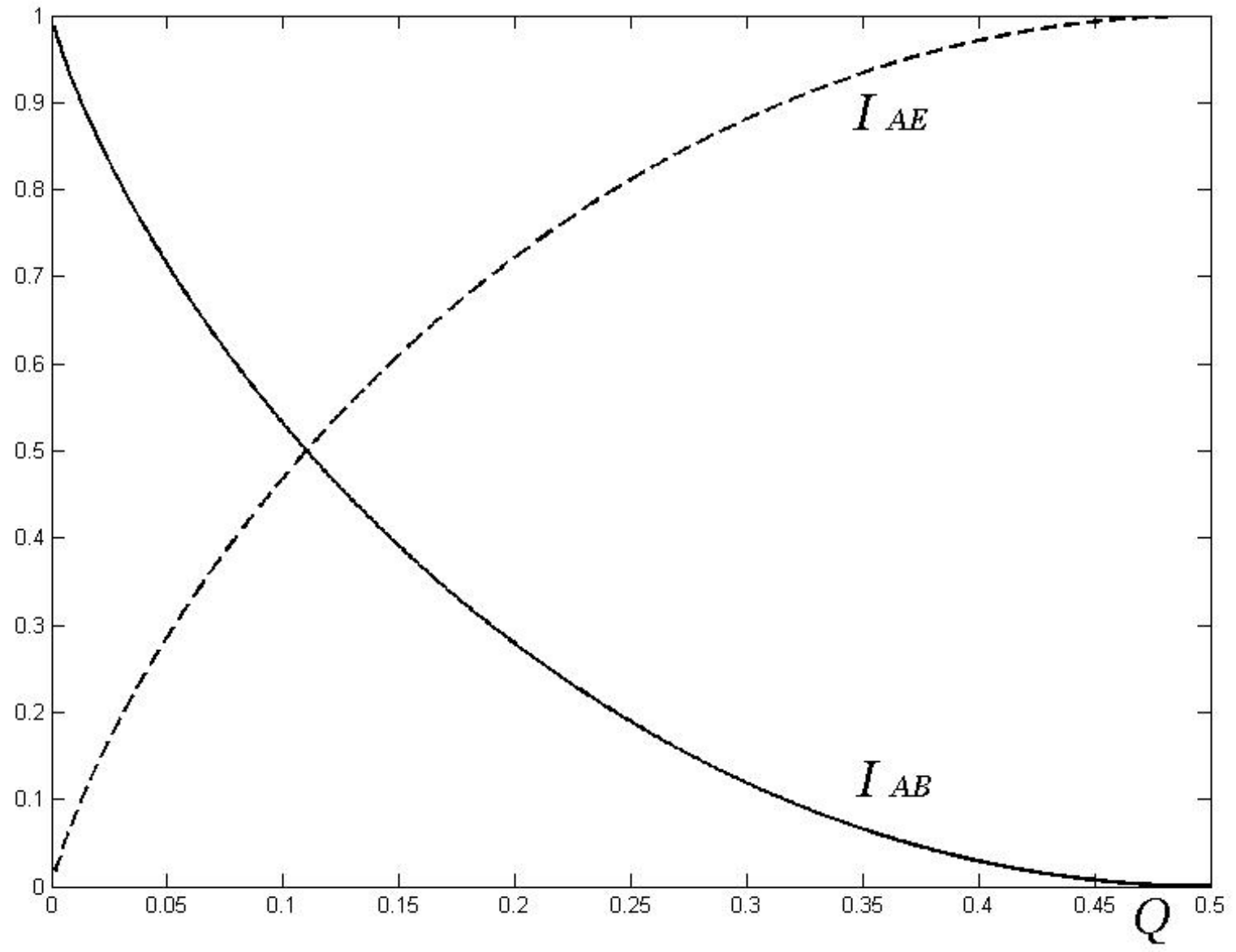
$$|\varphi_1\rangle \otimes |A\rangle \rightarrow U(|\varphi_1\rangle \otimes |A\rangle) = |\varphi_1\rangle \otimes |A_1\rangle$$

$$|\varphi_0\rangle \otimes |A\rangle \rightarrow U(|\varphi_0\rangle \otimes |A\rangle) = |\varphi_0\rangle \otimes |A_0\rangle$$

$$|A_0\rangle \neq |A_1\rangle$$

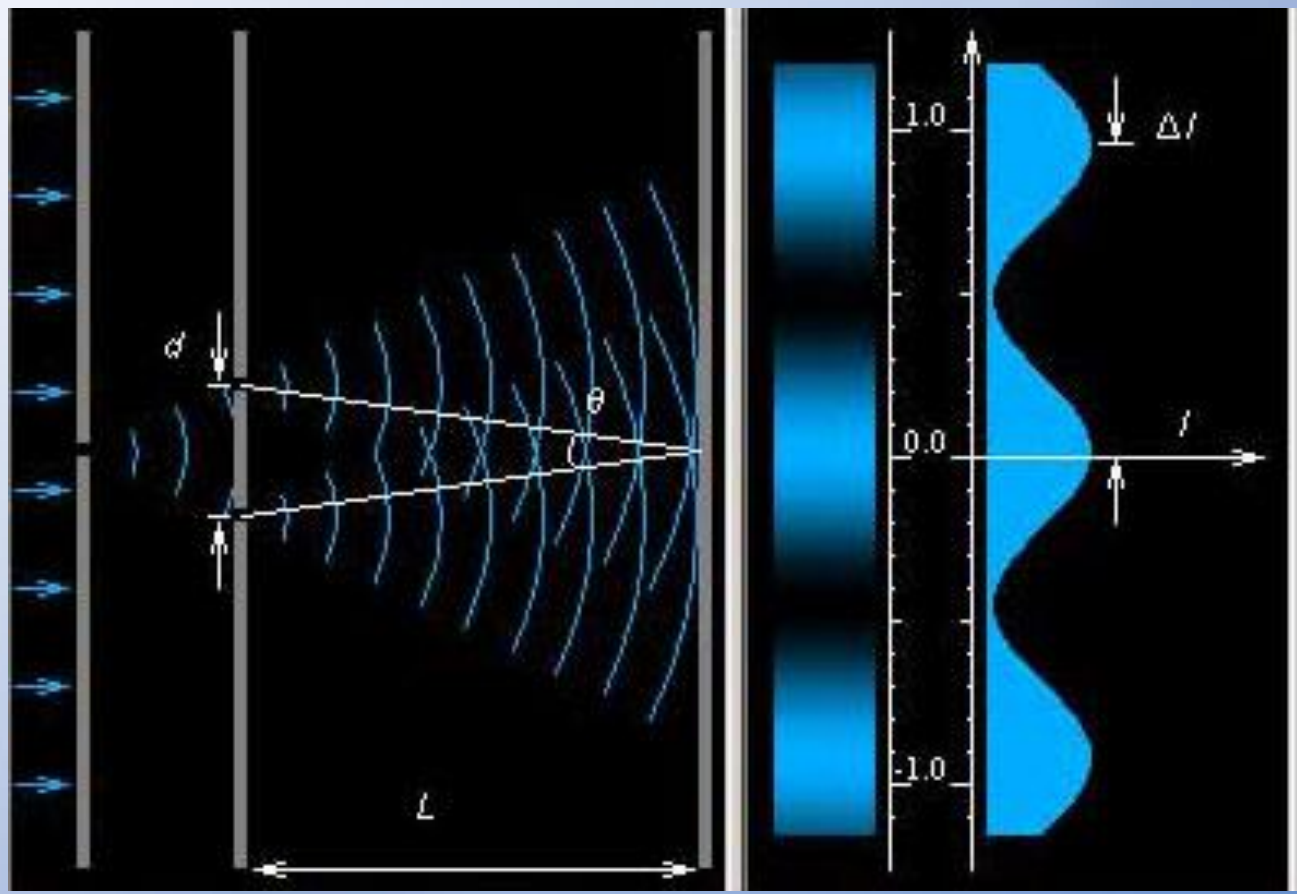
Следствия для распределения секретных ключей.

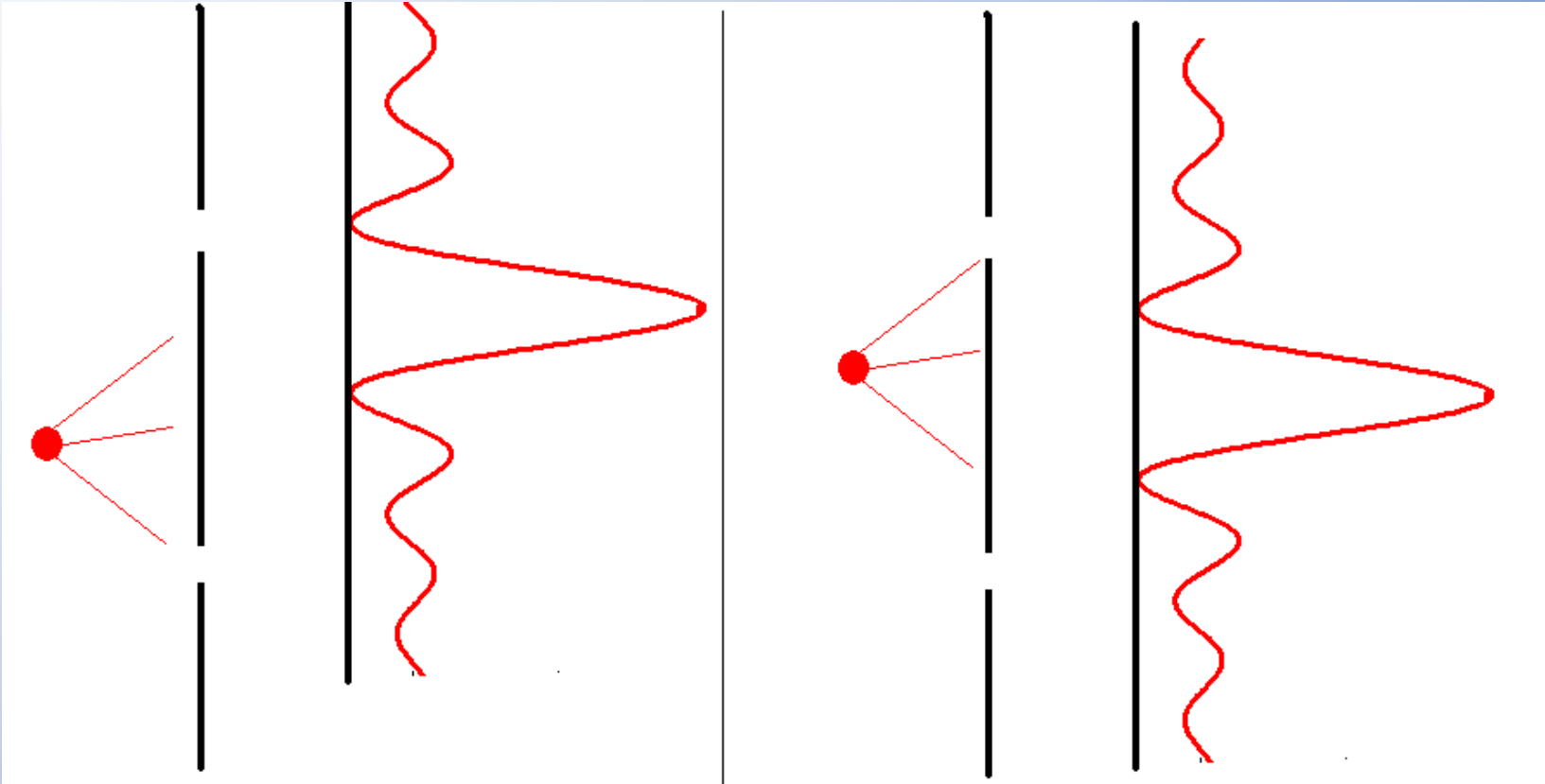
- 1) Любое вторжение в канал связи приводит к возмущению квантовых состояний, которое детектируется – приводит к ошибке в первичных ключах.
- 2) Ошибка связана с верхней фундаментальной границей информации, которая уходит к подслушивателю при данной наблюдаемой вероятности ошибок на приемной стороне.
- 3) Если вероятность ошибки меньше критической величины, то информация между передатчиком и приемником больше, чем между передатчиком и подслушивателем. Разность – секретный ключ.



Квантовая криптография = Квантовое распределение ключей = Согласование случайных последовательностей

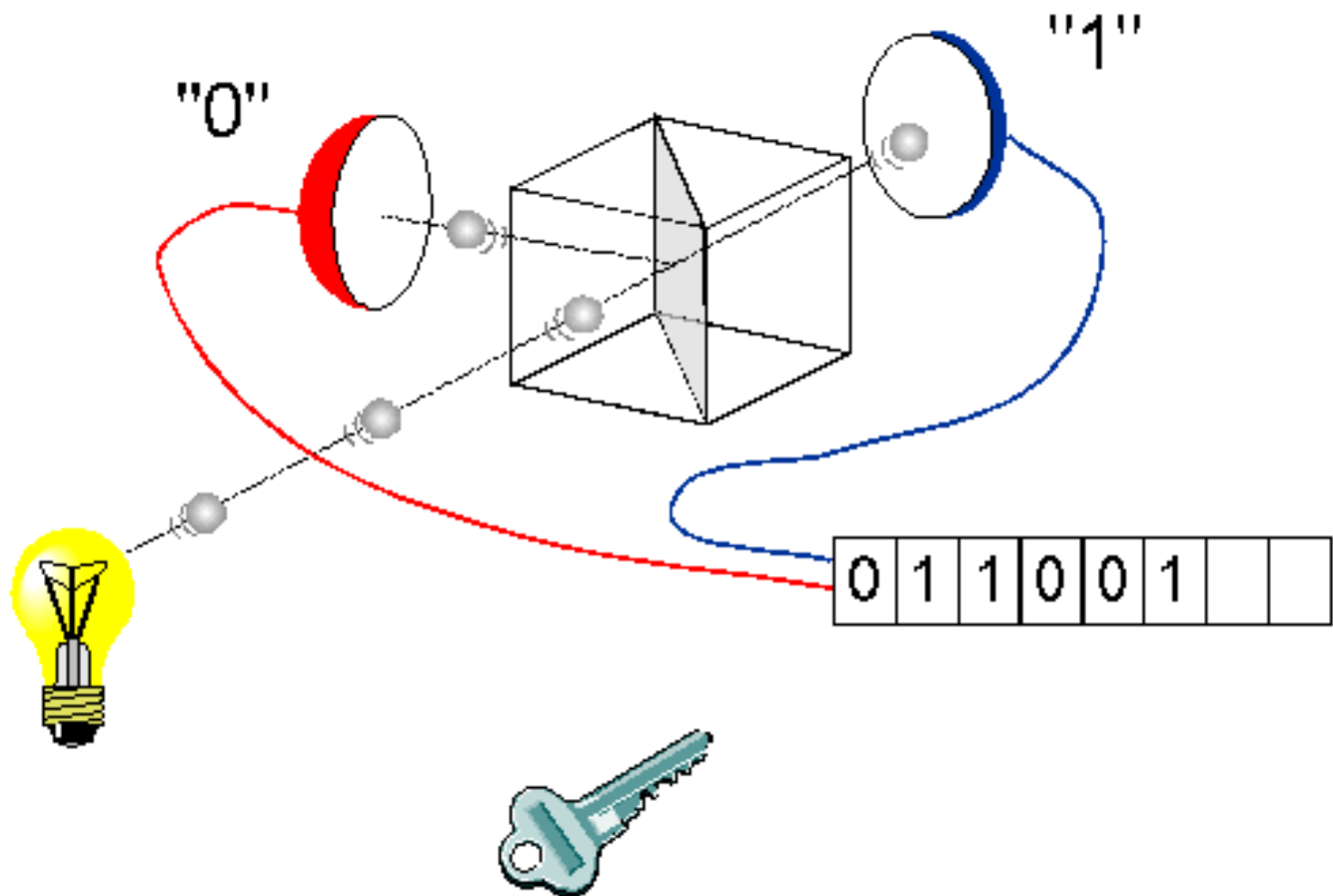






Необходимость квантового генератора случайных чисел.

Квантовый генератор случайных чисел



Minimalist design of a robust real-time quantum random number generator

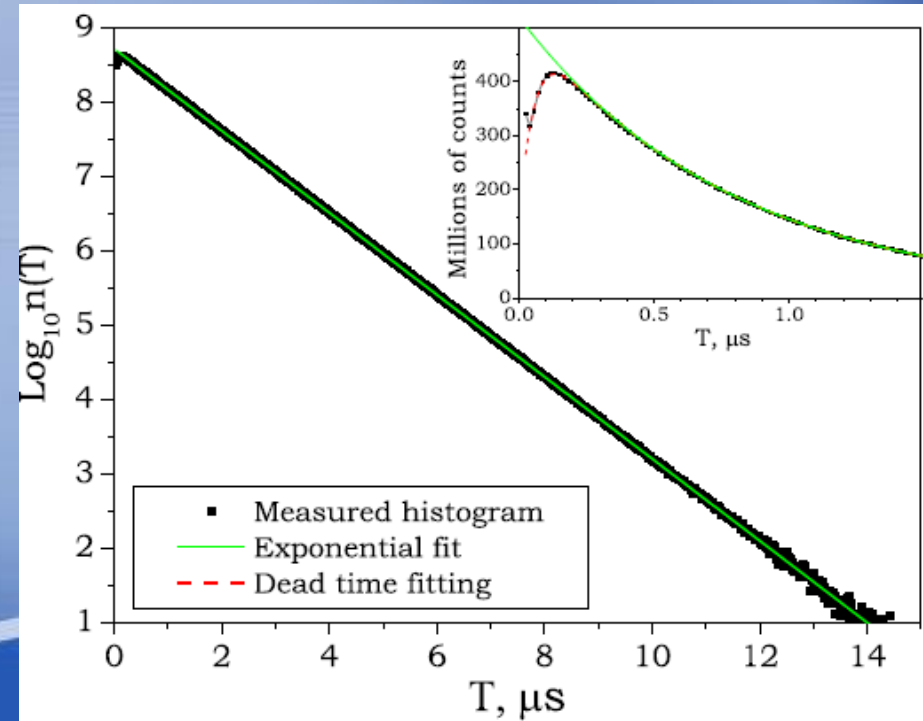
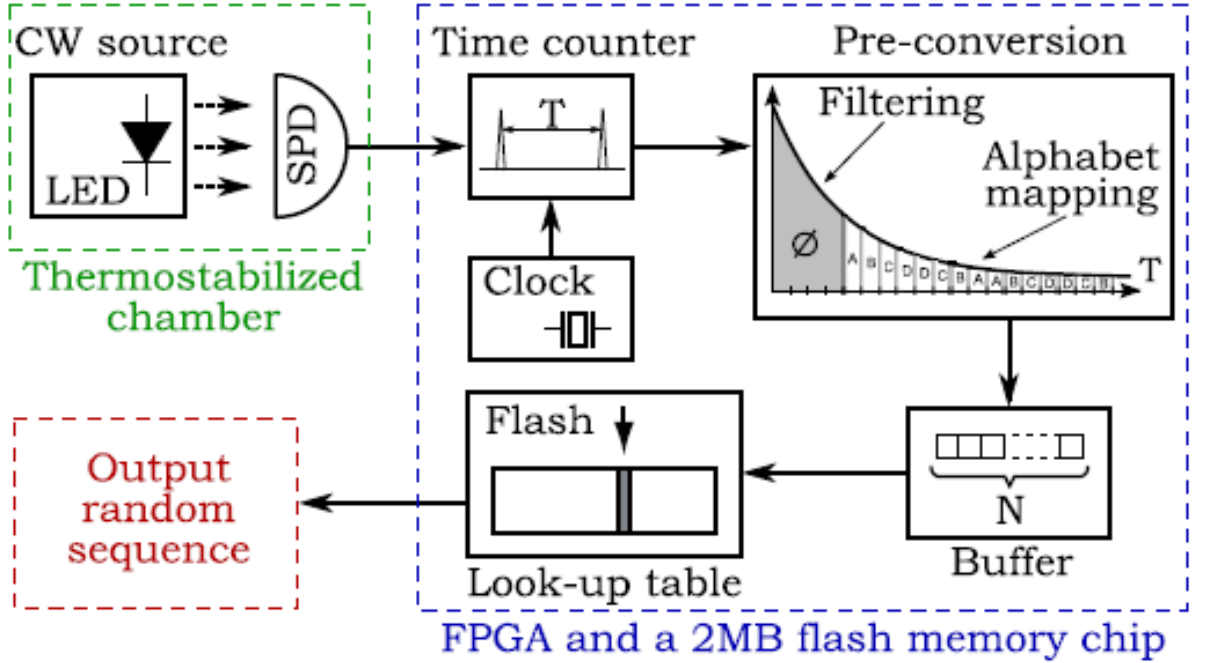
K. S. KRAVTSOV,^{1,2,*} I. V. RADCHENKO,^{1,2} S. P. KULIK,¹ AND S. N. MOLOTKOV^{3,4,5}

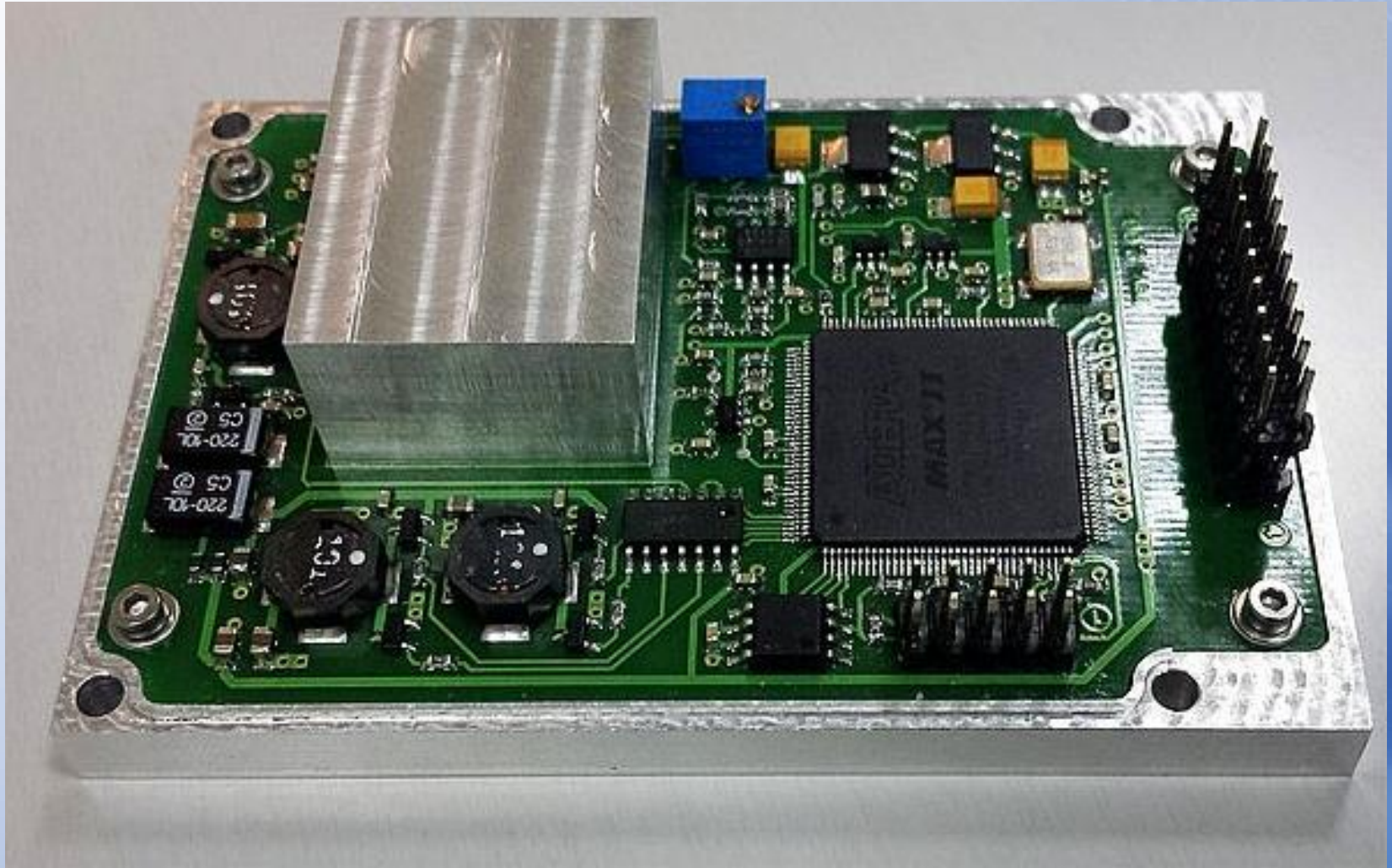
(4,0,0,0)	(3,1,0,0)	(2,2,0,0)	(2,1,1,0)	(1,1,1,1)
AAAA → ∅	BBBC → 00	AACC → 00	ABBD → 000	ABCD → 0000
	BBCB → 01	ACAC → 01	ABDB → 001	ABDC → 0001
	BCBB → 10	ACCA → 10
	CBBB → 11	CAAC → 11	BDAB → 111	CBDA → 1111
		CACA → 0	BDBA → 00	CDAB → 000
		CCAA → 1	DABB → 01	CDBA → 001
			DBAB → 10
			DBBA → 11	DCBA → 111

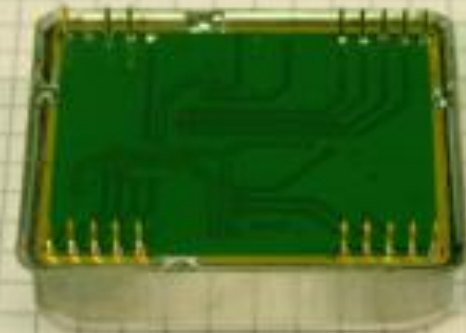
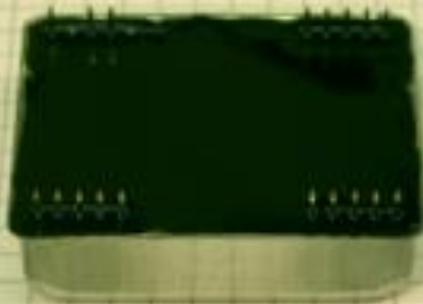
} 8

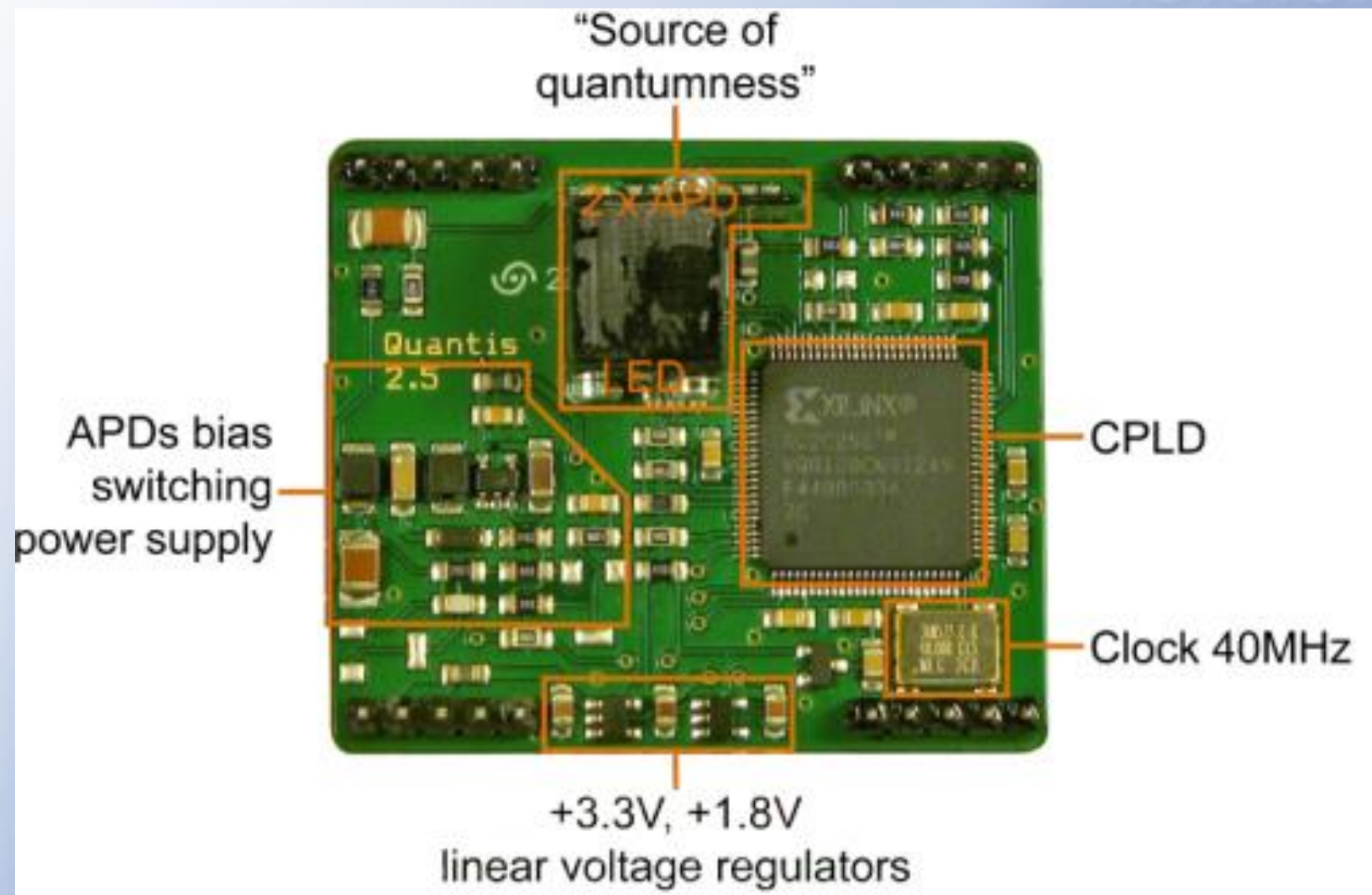
} 16

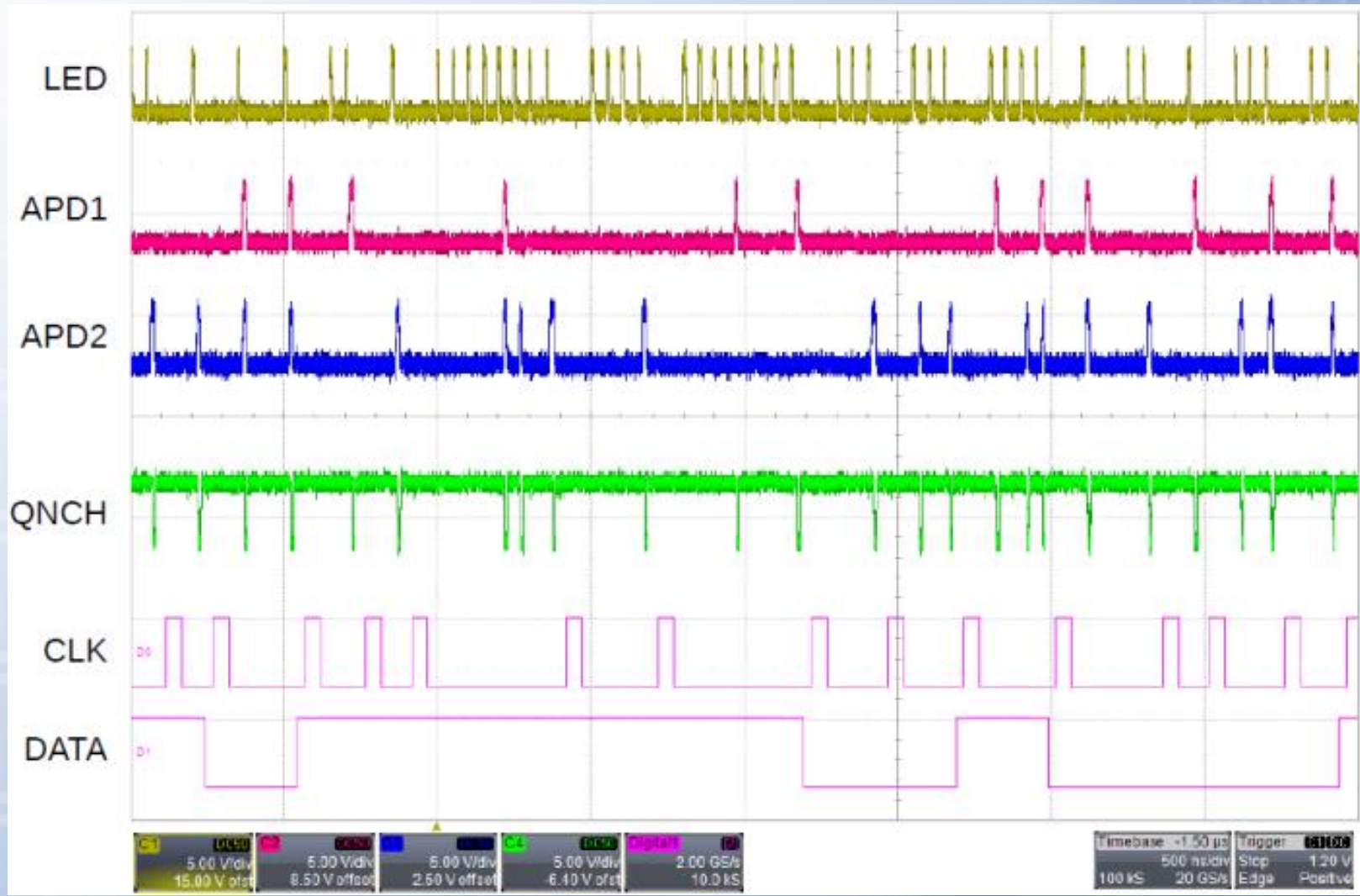
} 8





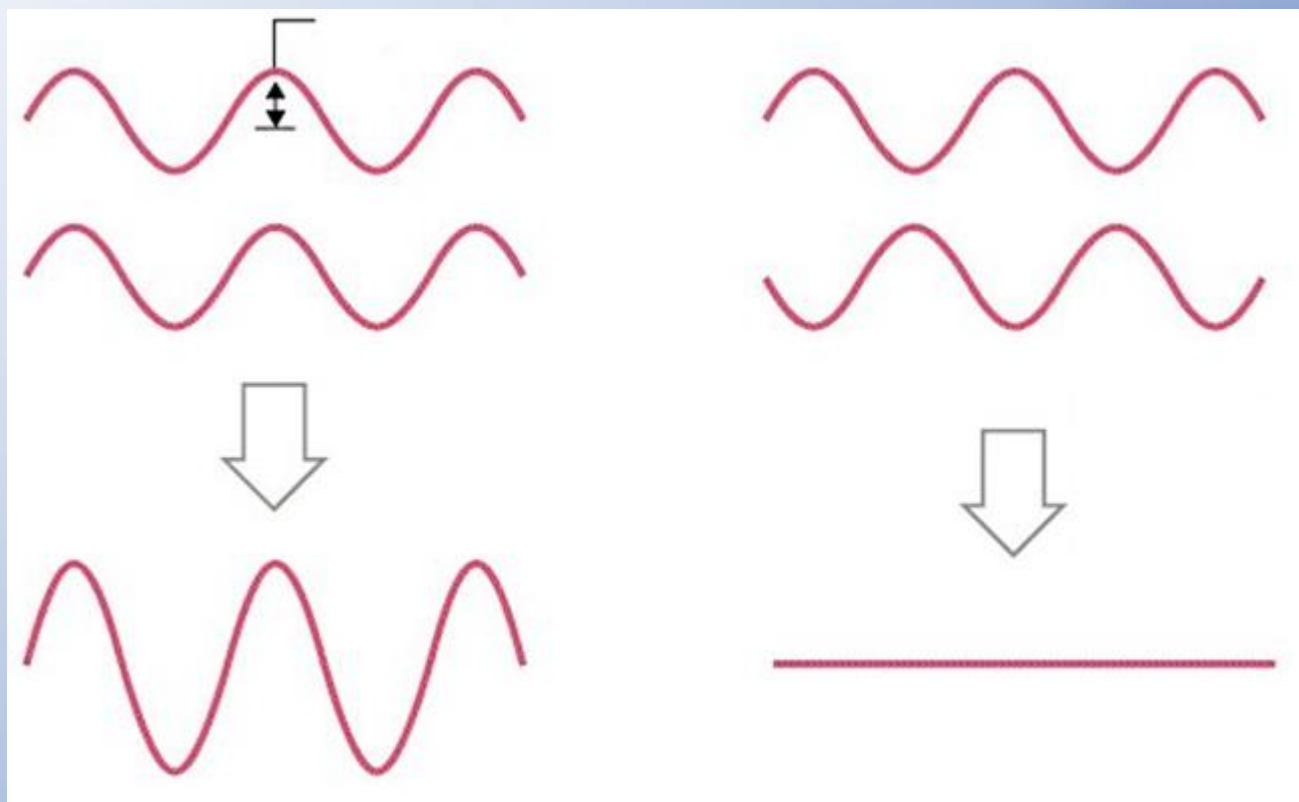






№	$N(x_n = 0)$	$N(x_n = 1)$	$\frac{N(0) - N(1)}{N(0) + N(1)}$	$N(x_n \wedge x_{n-1} = 0)$	$N(x_n \wedge x_{n-1} = 1)$	$\frac{N(\wedge 0) - N(\wedge 1)}{N(\wedge 0) + N(\wedge 1)}$
1	536'873'035	536'868'789	4.0e-6	536'698'339	537'043'484	-3.2e-4
2	536'882'563	536'859'261	2.2e-5	536'787'990	536'953'833	-1.5e-4
3	536'867'999	536'873'825	-5.4e-6	536'828'388	536'913'435	-7.9e-5
4	536'892'157	536'849'667	4.0e-5	536'666'863	537'074'960	-3.8e-4
5	536'869'215	536'872'609	-3.2e-6	536'839'365	536'902'458	-5.9e-5

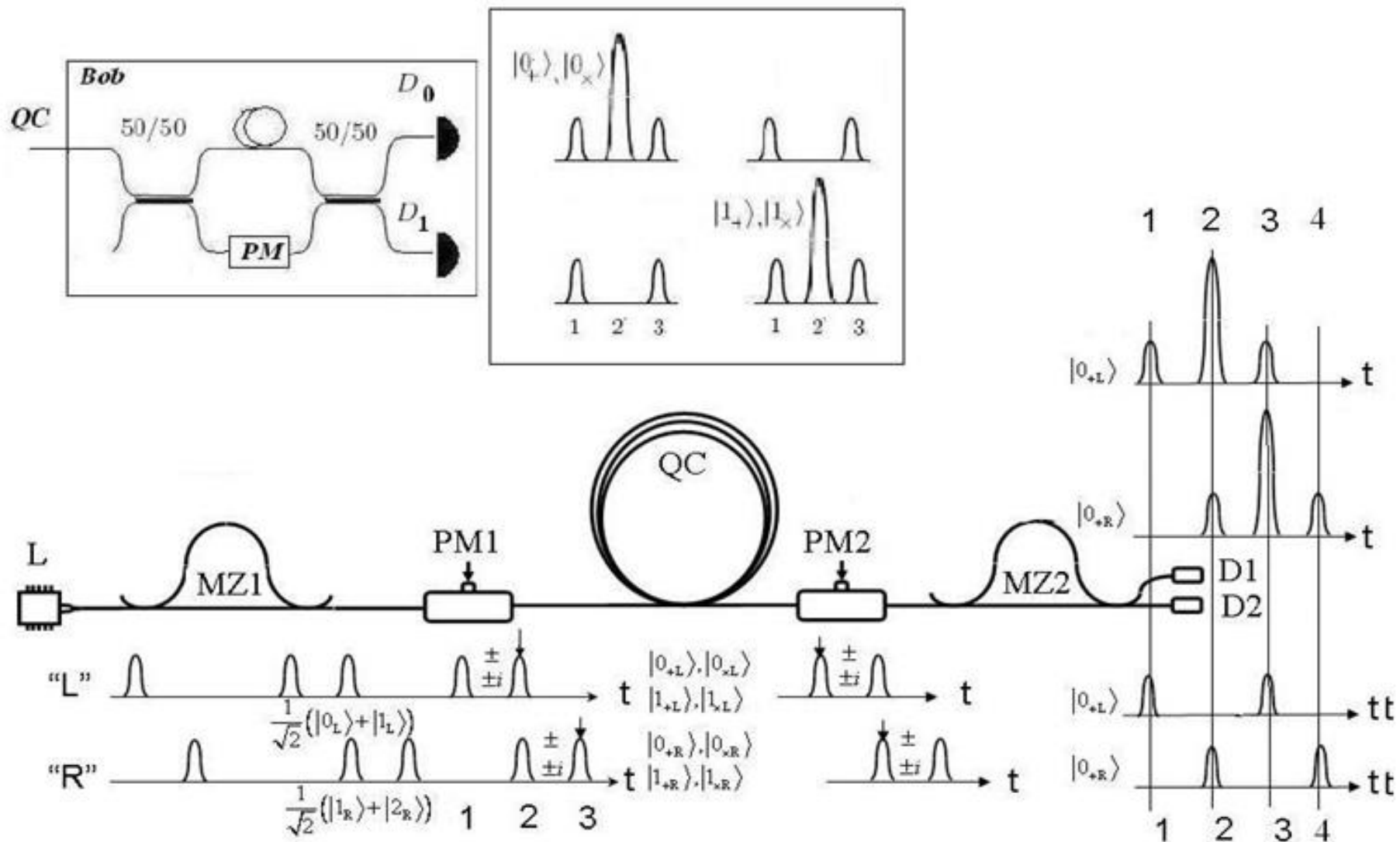
Фазовое кодирование

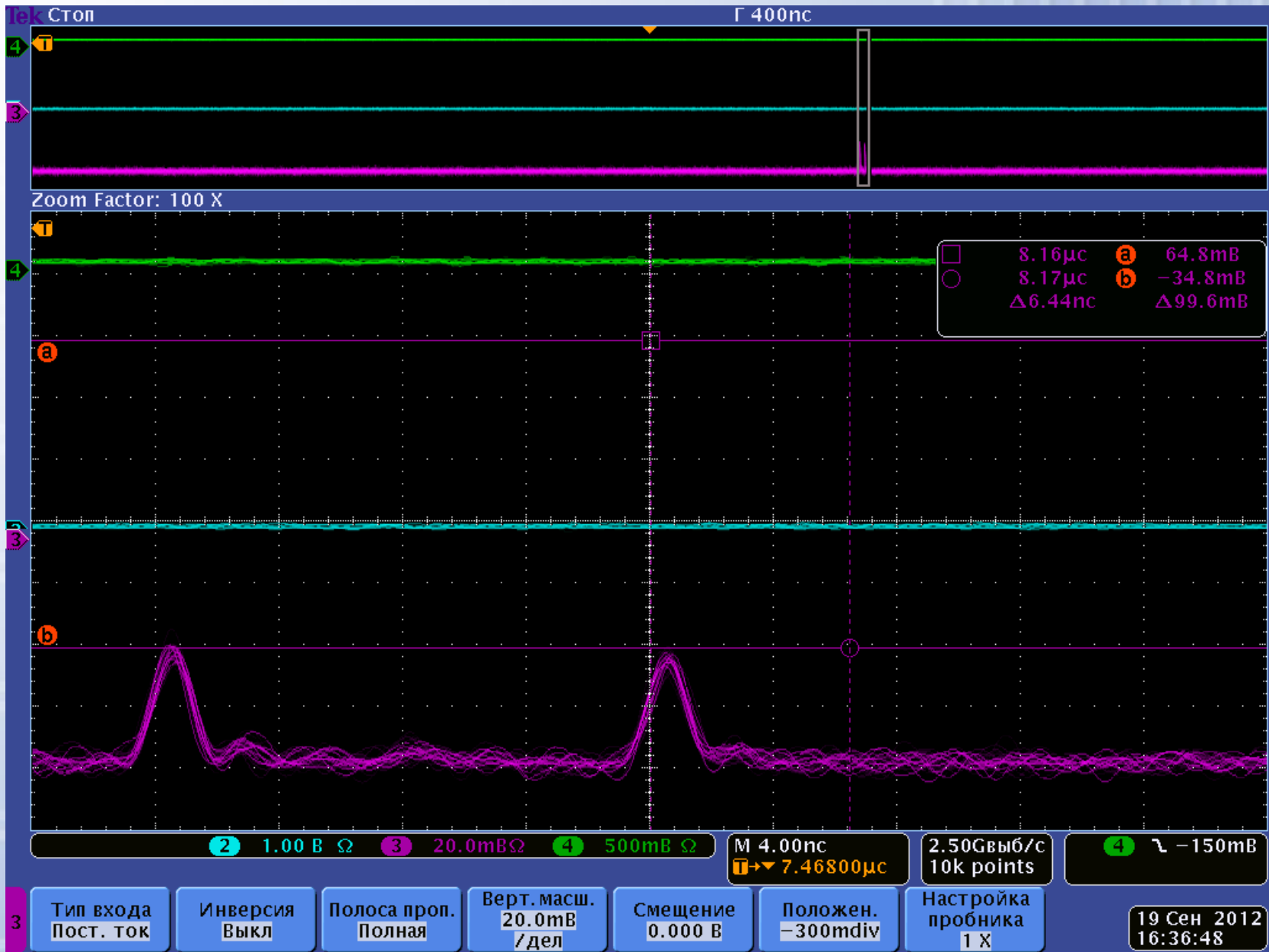


$$Q = \frac{1-V}{2}$$

Фазово-временное кодирование

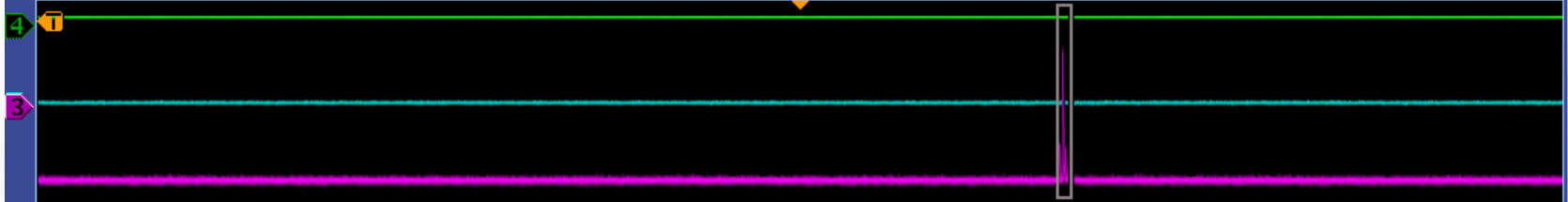
$$V = \frac{I_{D1} - I_{D2}}{I_{D1} + I_{D2}}$$



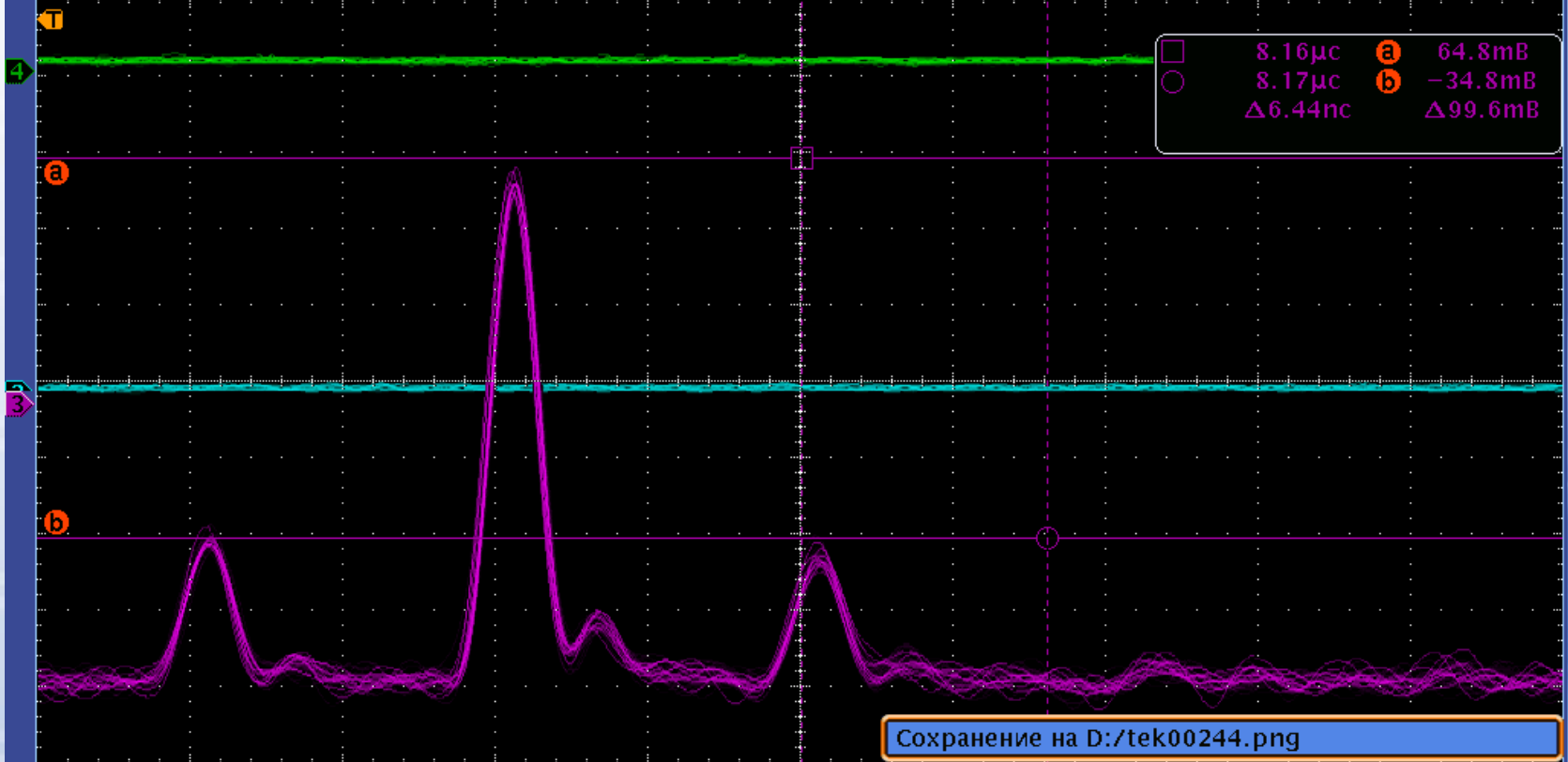


tek Стоп

Г 400нс



Zoom Factor: 100 X



Сохранение на D:/tek00244.png

2 1.00 В Ω
 3 20.0mВ Ω
 4 500mВ Ω

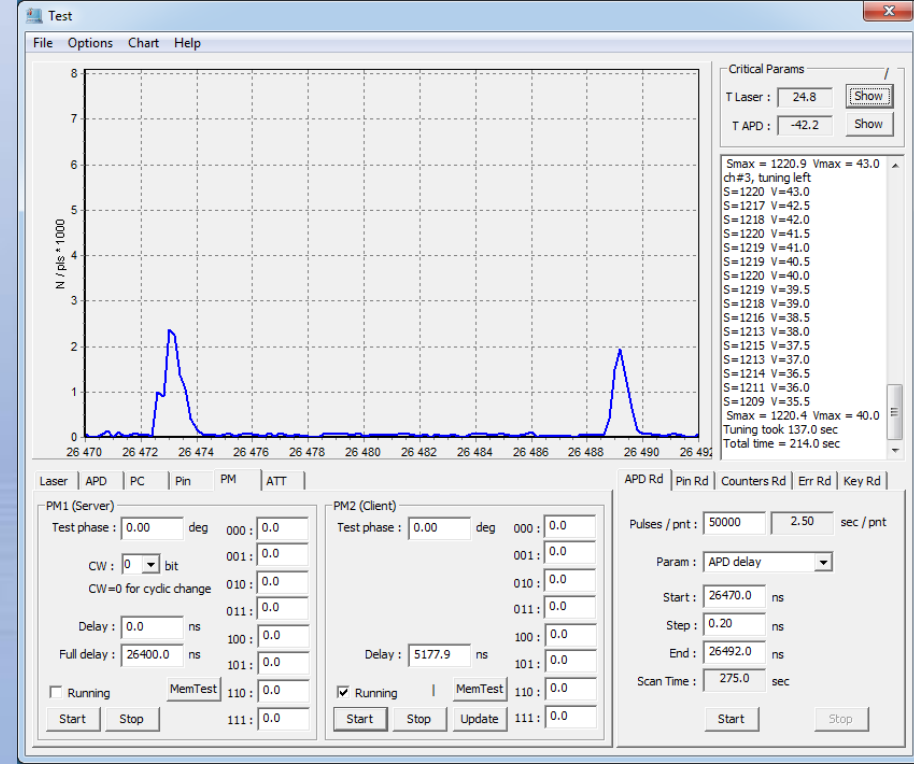
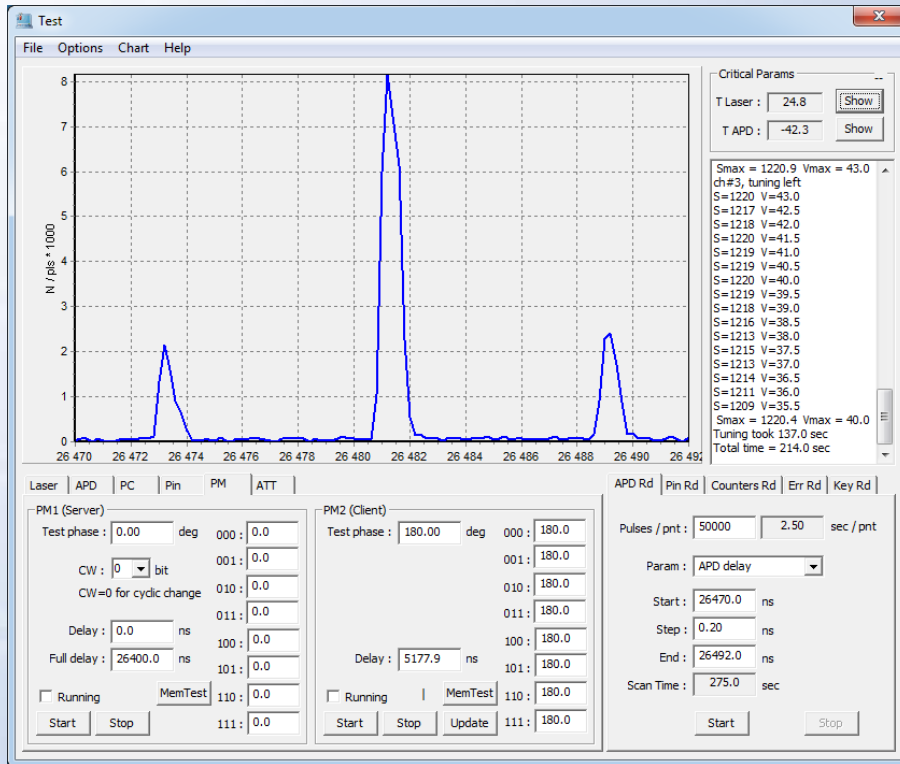
M 4.00нс
 → 7.46800µс

2.50Гвыб/с
 10k points

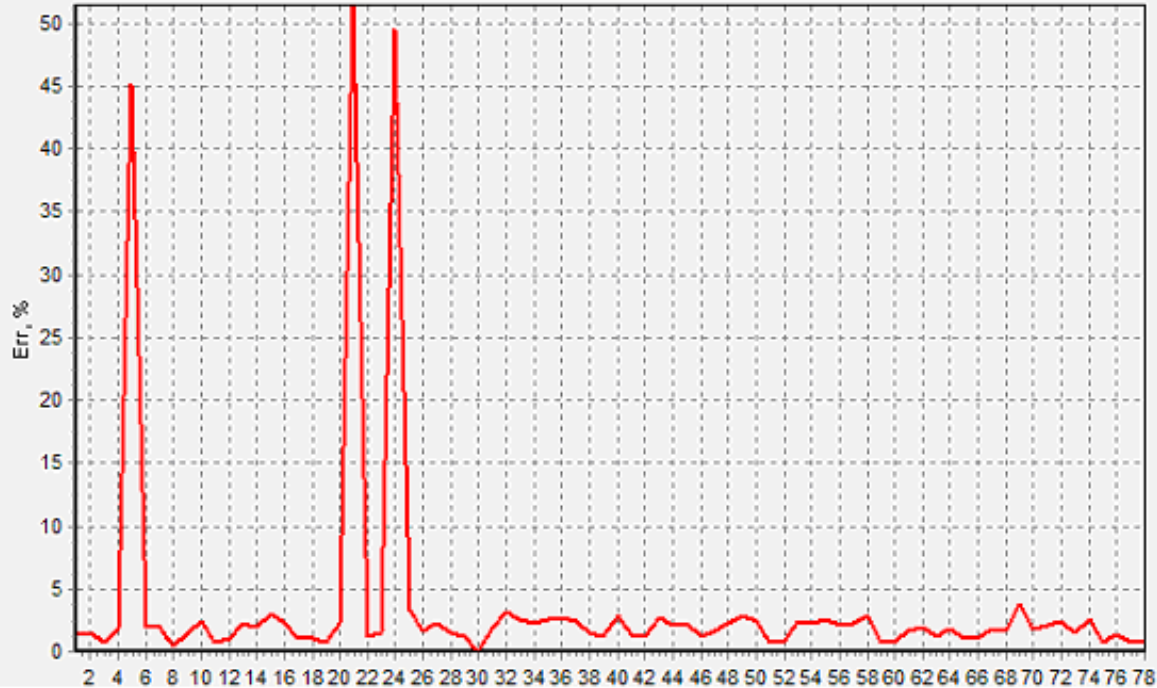
4 √ -150mВ

3	Тип входа Пост. ток	Инверсия Выкл	Полоса проп. Полная	Верт. маш. 20.0mВ /дел	Смещение 0.000 В	Положен. -300mdiv	Настройка пробника 1 X	19 Сен 2012 16:35:51
---	------------------------	------------------	------------------------	------------------------------	---------------------	----------------------	------------------------------	-------------------------

Пример однофотонной интерференции



File Options Chart Help



Critical Params

T Laser : 25.0 Show
T APD : -43.3 Show

Efficiency = 3.2e-03
Nerr = 2 Err = 0.8%

Series #76
Pulses sent = 80000
APD counts in mem = 233
Efficiency = 2.9e-03
Nerr = 3 Err = 1.3%

Series #77
Pulses sent = 80000
APD counts in mem = 249
Efficiency = 3.1e-03
Nerr = 2 Err = 0.8%

Series #78
Pulses sent = 80000
APD counts in mem = 269
Efficiency = 3.4e-03
Nerr = 2 Err = 0.7%

Series #79

Laser | APD | PC | Pin | PM | ATT

APD Rd | Pin Rd | Counters Rd | Err Rd | Key Rd

Clock
N sent : 6563

Delays
APD : 66260.0 ns

Laser
 Output blocked

Monitor PD : 0.3

Bias
Width : 31.3 ns

T : 25.0

Ampl : 7.7 mA

Tset : 25.0

Pulse
Width : 0.9 ns

Ampl : 16.0 mW

Update

Freq : 10.000 kHz

N puls : 80000

N=0 - infinite

Running

Start

Stop

Pulses / pnt : 80000 8.0 sec / pnt

Series num : 1000

PM1

PM2

Scan Time : 8000.0 sec

Start

Stop

**Доказательства секретности ключей.
Криптостойкость относительно любых атак,
включая квантовую память и квантовый
компьютер.**

Любой протокол КРК содержит три стадии.

- 1) Согласование базисов.**
- 2) Коррекцию ошибок.**
- 3) Сжатие очищенных ключей – усилением секретности.**

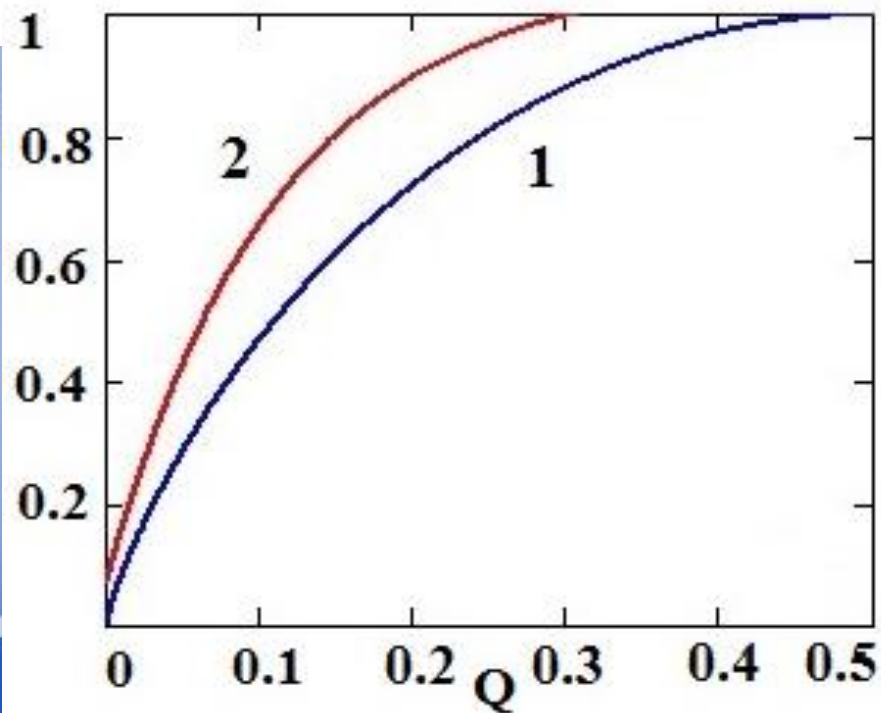
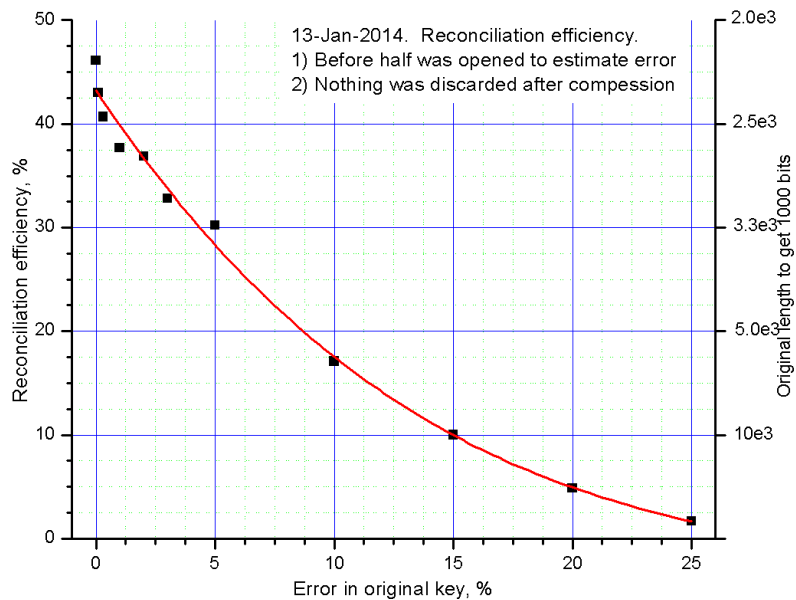
Коды Хэмминга с доп. проверкой на четность с сохранением конфиденциальности

$$S_d = S_a \oplus S_b \neq \{0\}^m.$$

$$h^{(3)} = \begin{bmatrix} 1 & 0 & 1 & 0 & 1 & 0 & 1 \\ 0 & 1 & 1 & 0 & 0 & 1 & 1 \\ 0 & 0 & 0 & 1 & 1 & 1 & 1 \end{bmatrix}$$

$$h_{i,j}^{(m)} = \left\lfloor \frac{j}{2^{i-1}} \right\rfloor \pmod{2}$$

$$S_i = \left(\sum_{j=1}^{N_h} X_j h_{i,j}^{(m)} \right) \pmod{2} \in \{0, 1\}^m$$



Секретность и корректность ключей.

$$\mathcal{X}_A = \{0, 1\}^n \quad \mathcal{X}_B = \{0, 1\}^n.$$

Строка Боба содержит ошибки.

очищенный ключ $\mathcal{X} = \mathcal{X}_A$

$$\Pr(X_A \neq X_B) \leq 1/2^M = \varepsilon_{corr}$$

**Сжатие очищенных ключей
универсальными хэш-функциями
второго порядка**

$$\Pr_f[f(\hat{x}) = f(x)] \leq \frac{1}{|Z|} = 2^{-k}, \quad \hat{x} \neq x$$

Сжатие очищенных ключей

Функция сжатия $g(X)$ - универсальная хэш-функция

$g(X)$ - случайная функция (известна всем, в том числе и подслушивателю) .

1) $x, a = \{0, 1, \dots, 0, 0\}$

2) Реализация: x, a - элементы $GF(2^n)$, a - случайная строка бит длины n .

3) Умножение в $GF(2)$ – $r(x) = a * x \pmod{P(x)}$.

4) Взять остаток r старших бит.

5) Ключ длины r .

Полиномы степени $n < 10\ 000$.

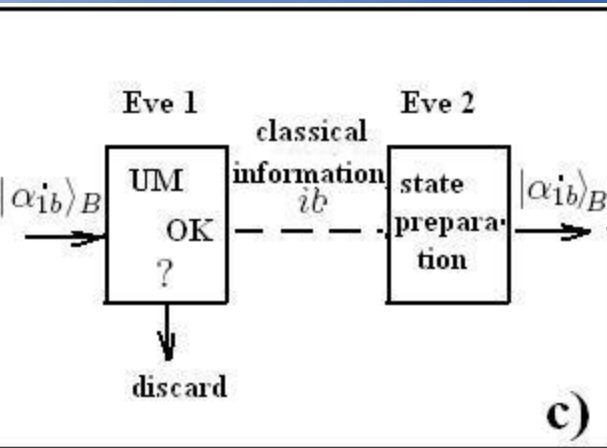
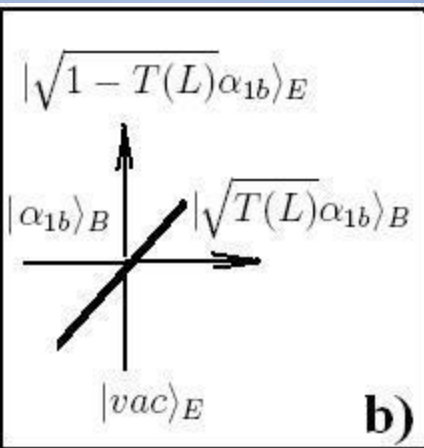
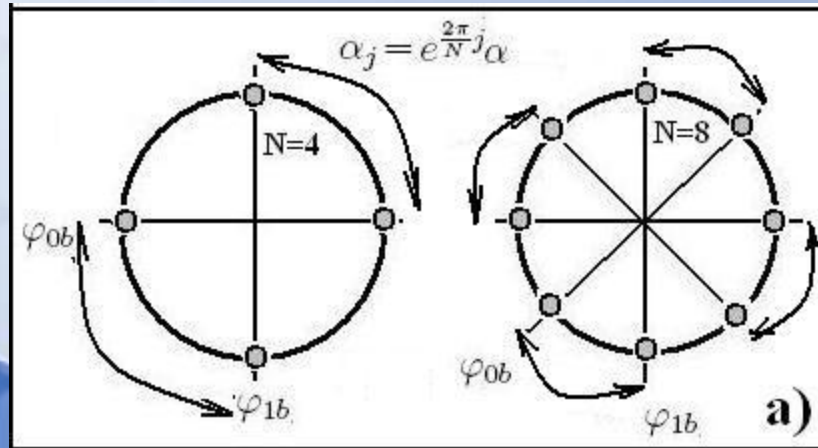
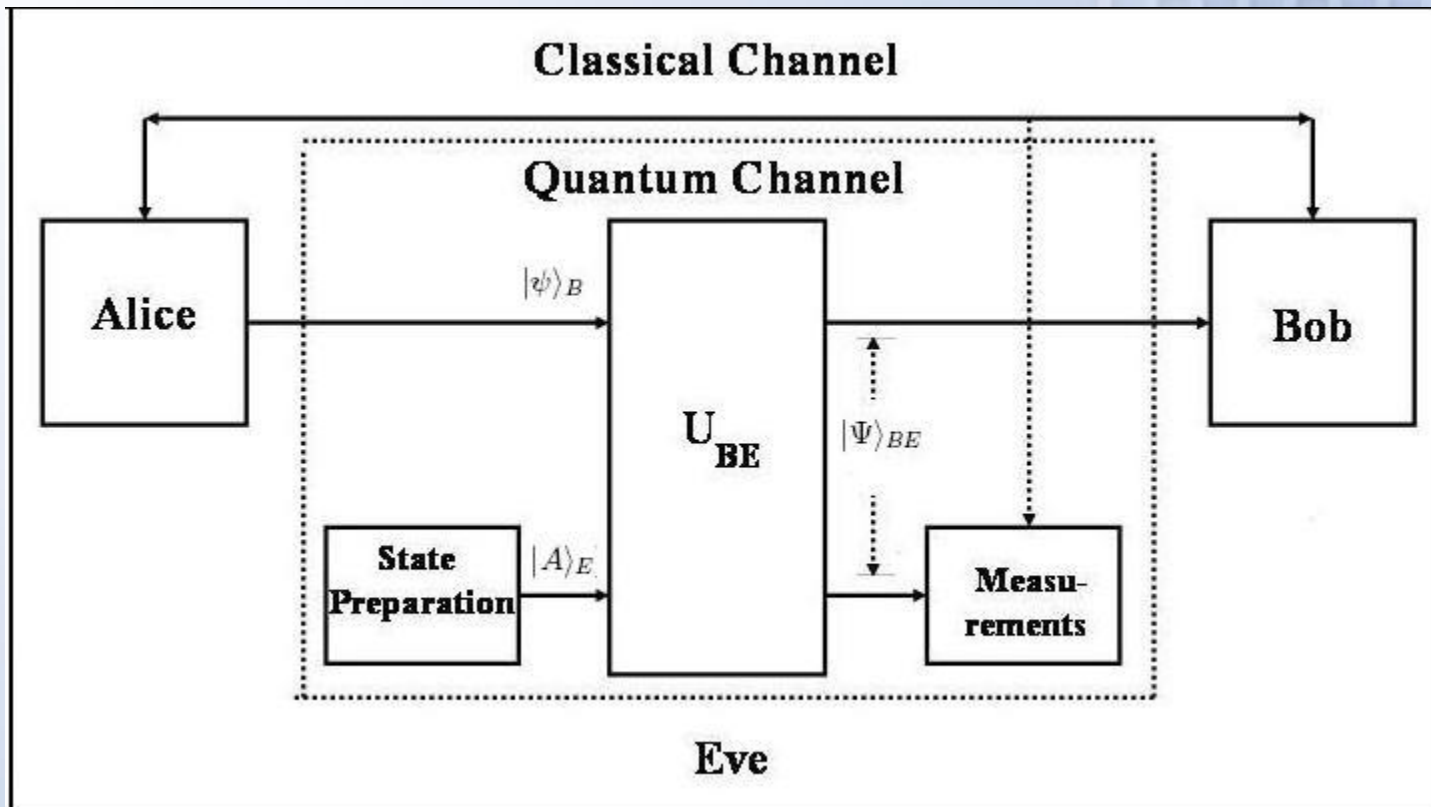
$$x^{9998} + x^{4013} + 1$$

$$x^{9999} + x^{2951} + 1$$

$$x^{10000} + x^{19} + x^{13} + x^9 + 1$$

Протоколы и секретность.

- 1) **BB84.**
- 2) **B92.**
- 3) **SARG.**
- 4) **Decoy State.**
- 5) **Фазово-временной.**
- 6) **DPS – Differential Phase Shift.**
- 7) **COW – Coherent One Way.**
- 8) **CW – с непрерывными переменными**
- 9) **С реперным состоянием.**
- 10) **Релятивистская квантовая криптография.**



Качественное пояснение природы секретности.

$$|\psi\rangle_{ABE} \in H_A \otimes H_B \otimes H_E$$

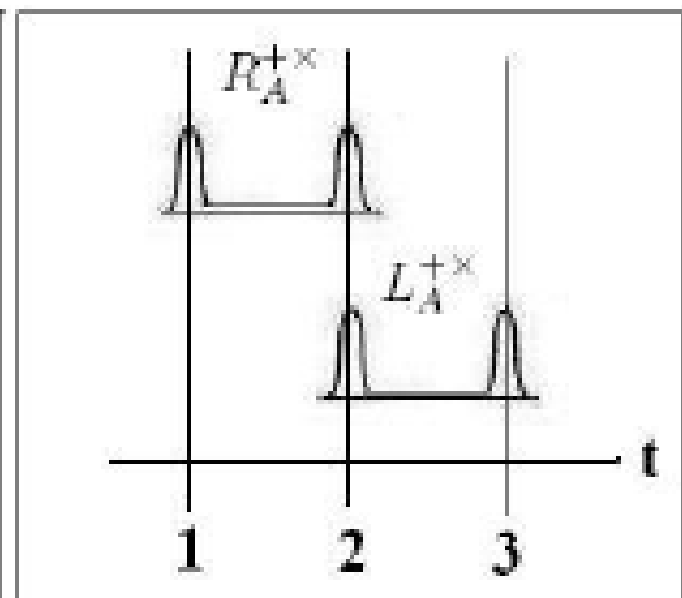
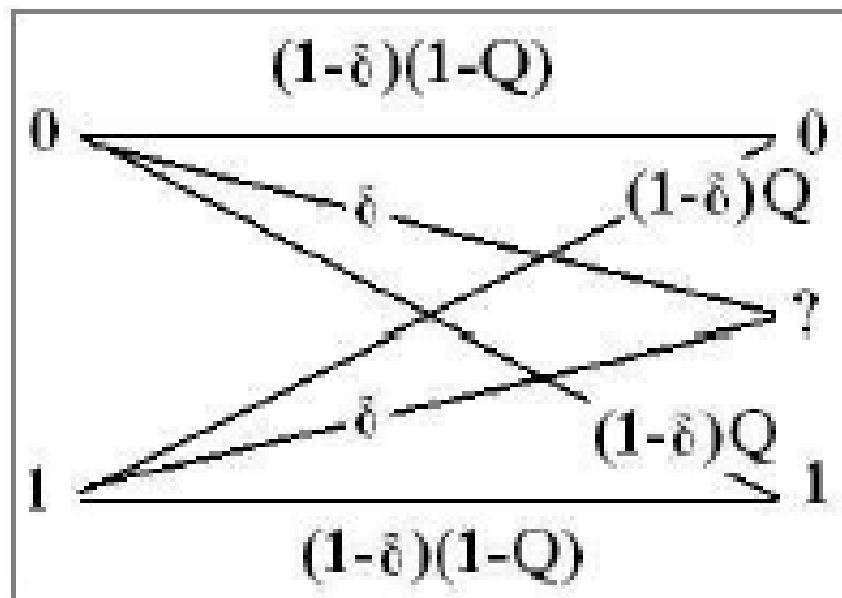
$$H(R_A | E) + H(L_A | B) \geq 2 \log \frac{1}{c}$$

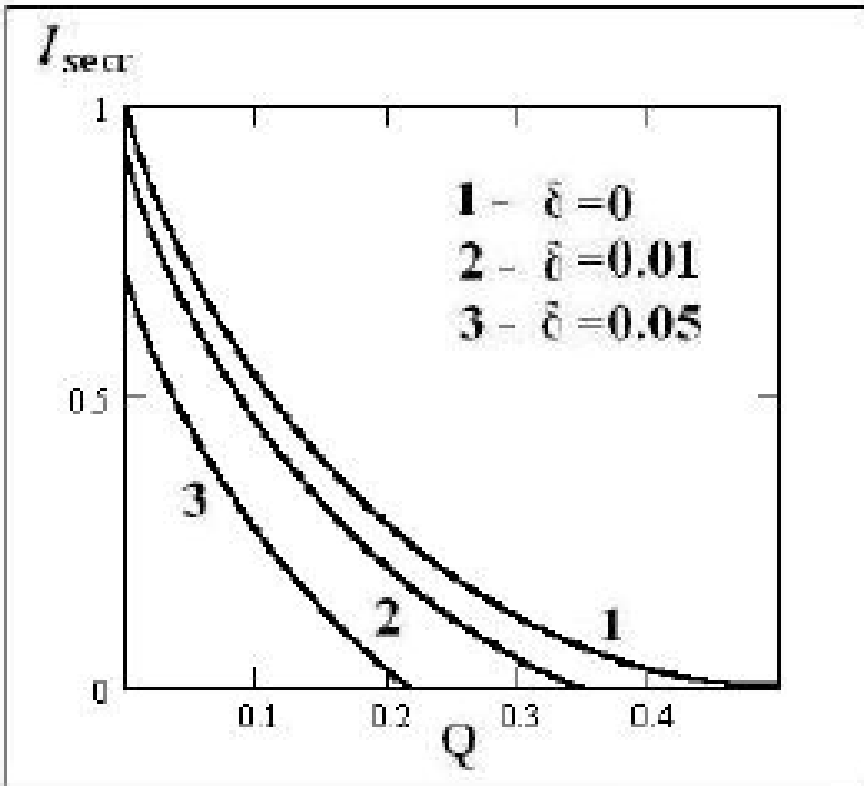
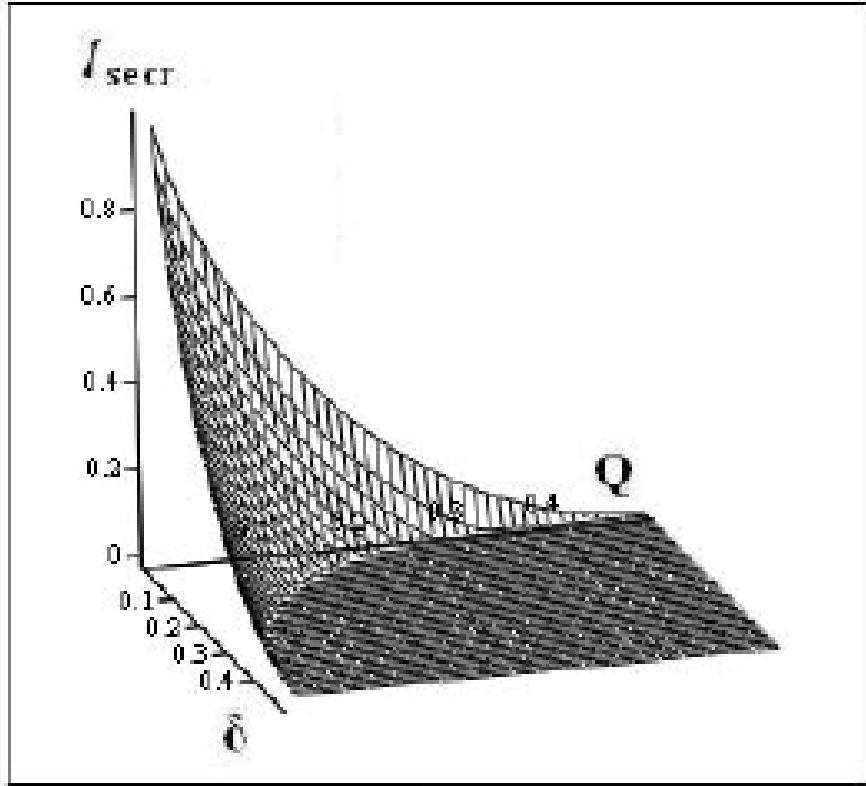
$$c = \max_{i,j} | \langle r_i | l_j \rangle_A |$$

$$l_{\text{sec } r} \leq H(R_A | E) - H(R_A | R_B)$$

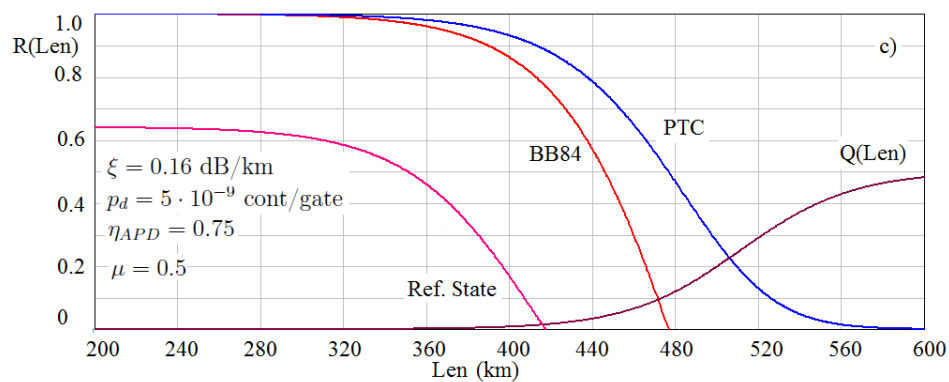
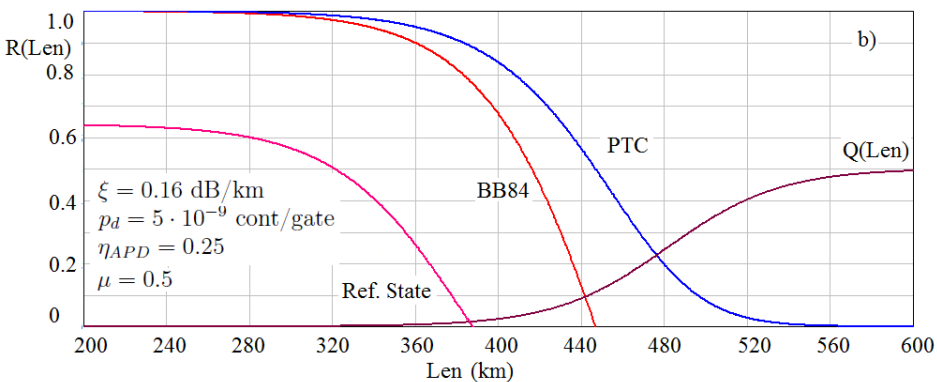
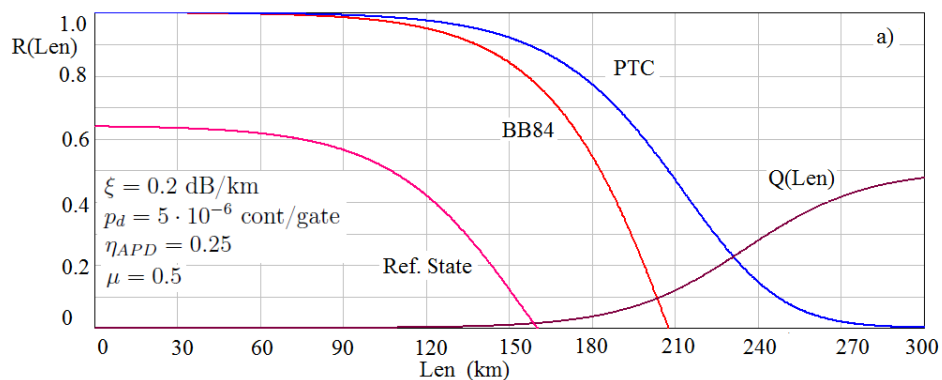
$$H(X_A|E) \geq 2 \log \frac{1}{c} - H(X_A|Y_B)$$

$$l_{\text{secre}} \approx 2 \log \frac{1}{c} - 2H(X_A|Y_B)$$

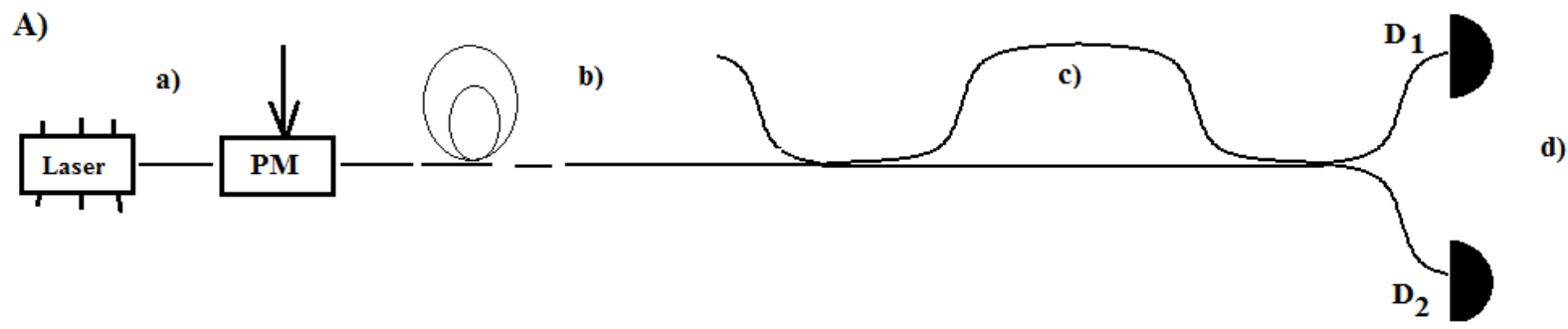




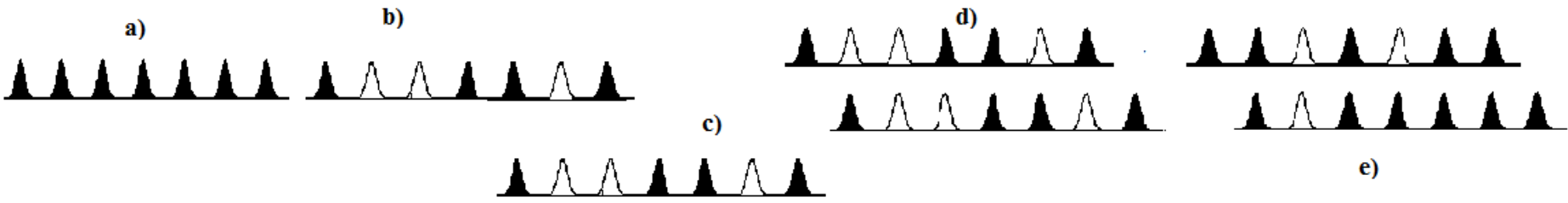
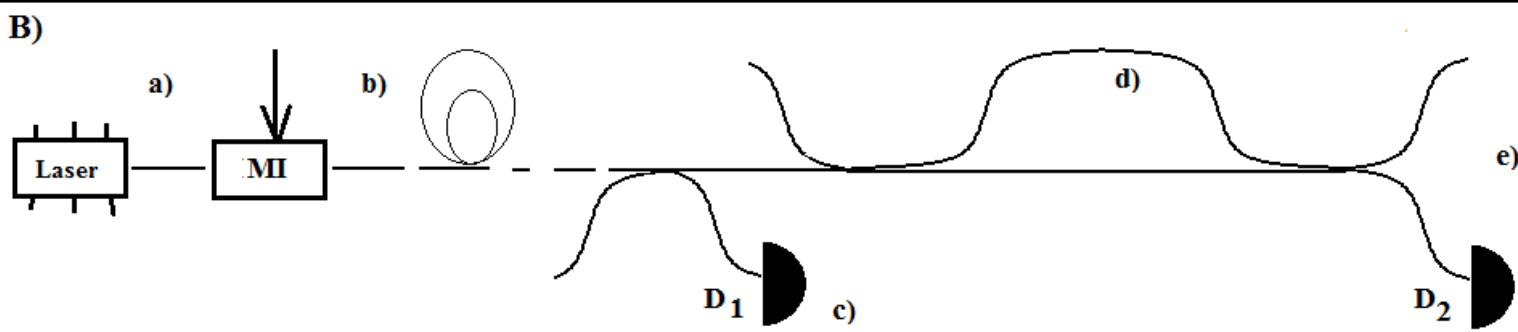
Какой протокол квантовой криптографии обеспечивает максимальную дальность в случае создания строго однофотонного источника?



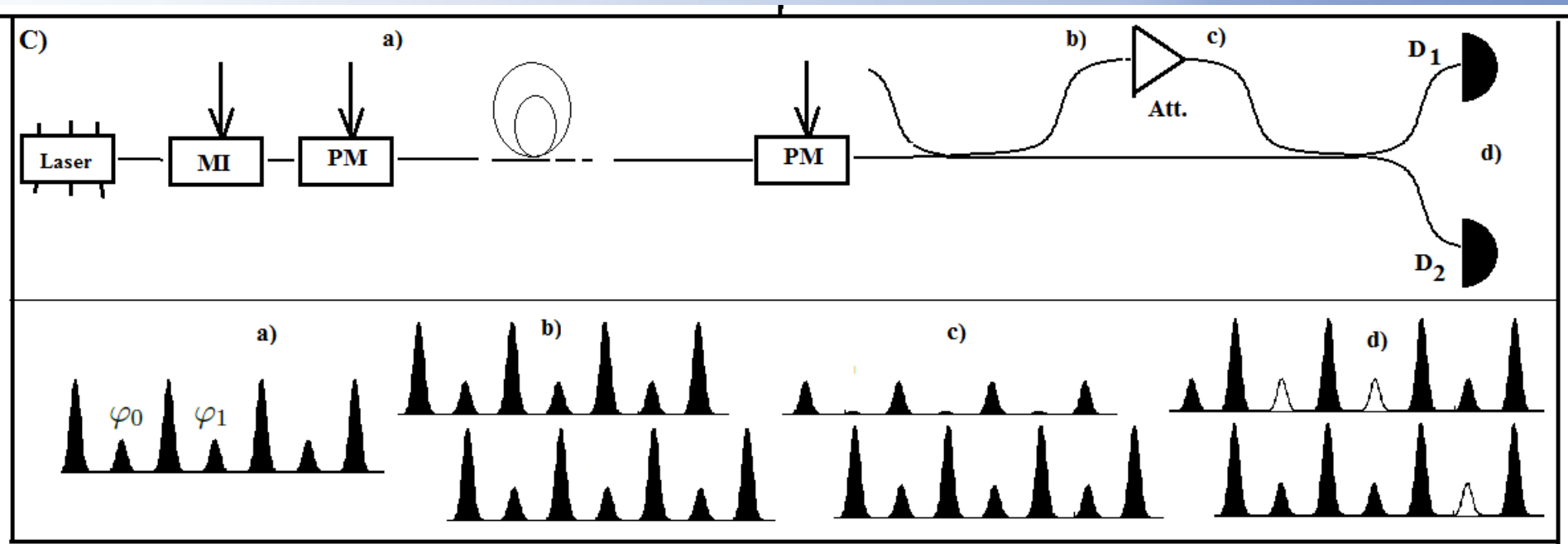
DPS



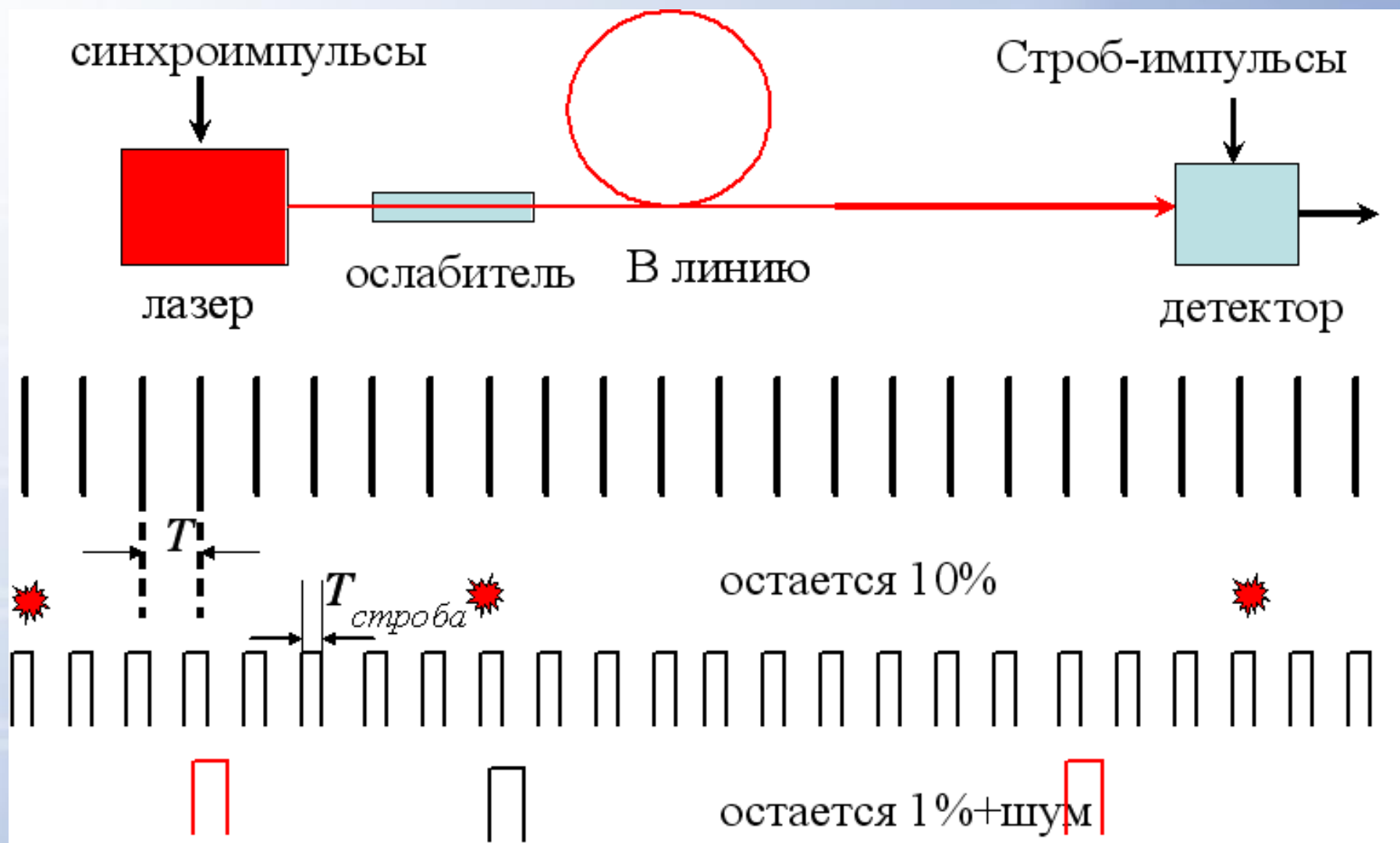
COW



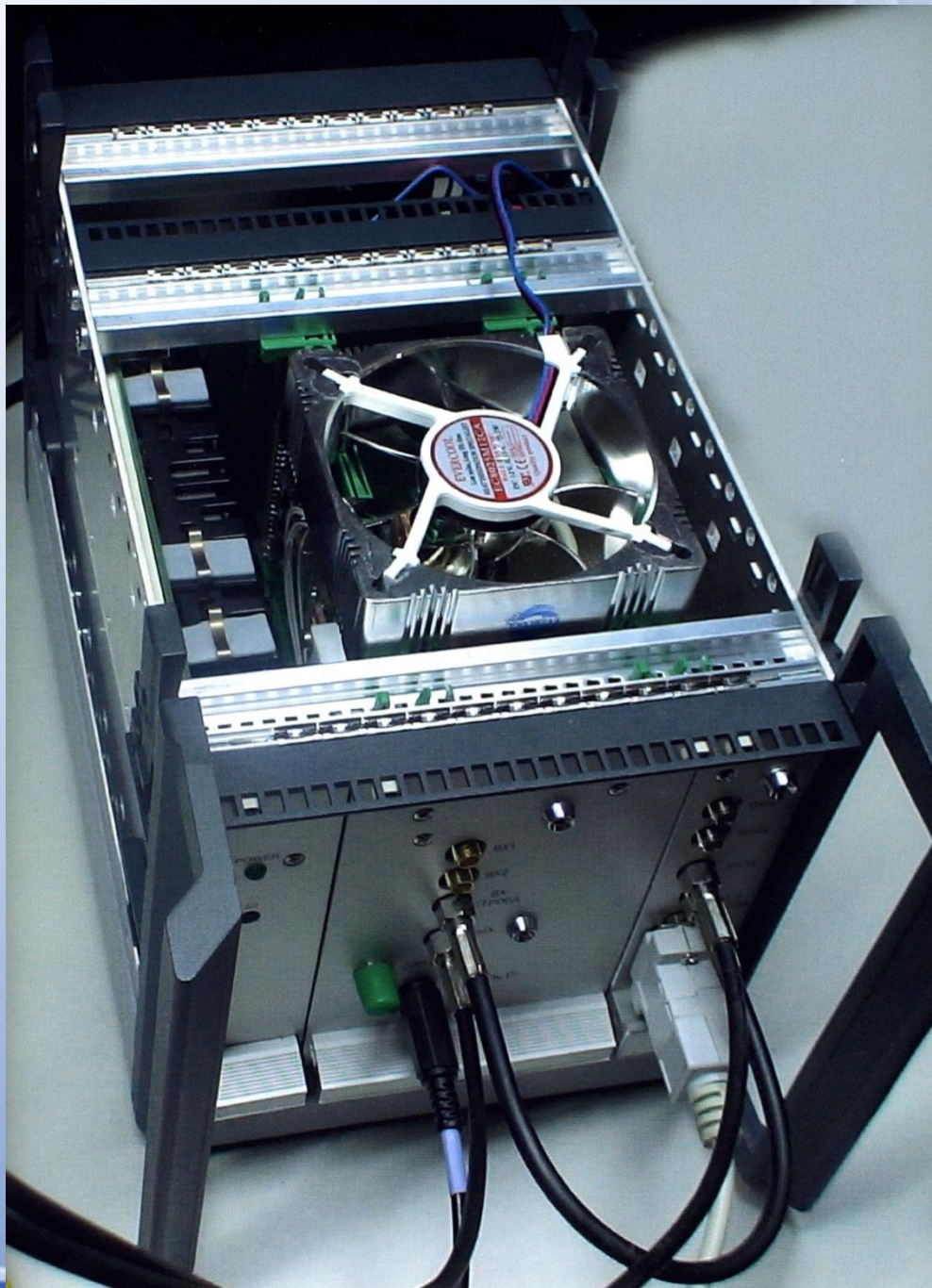
С реперным состоянием – строго доказуемая криптостойкость



Детектирование одиночных фотонов

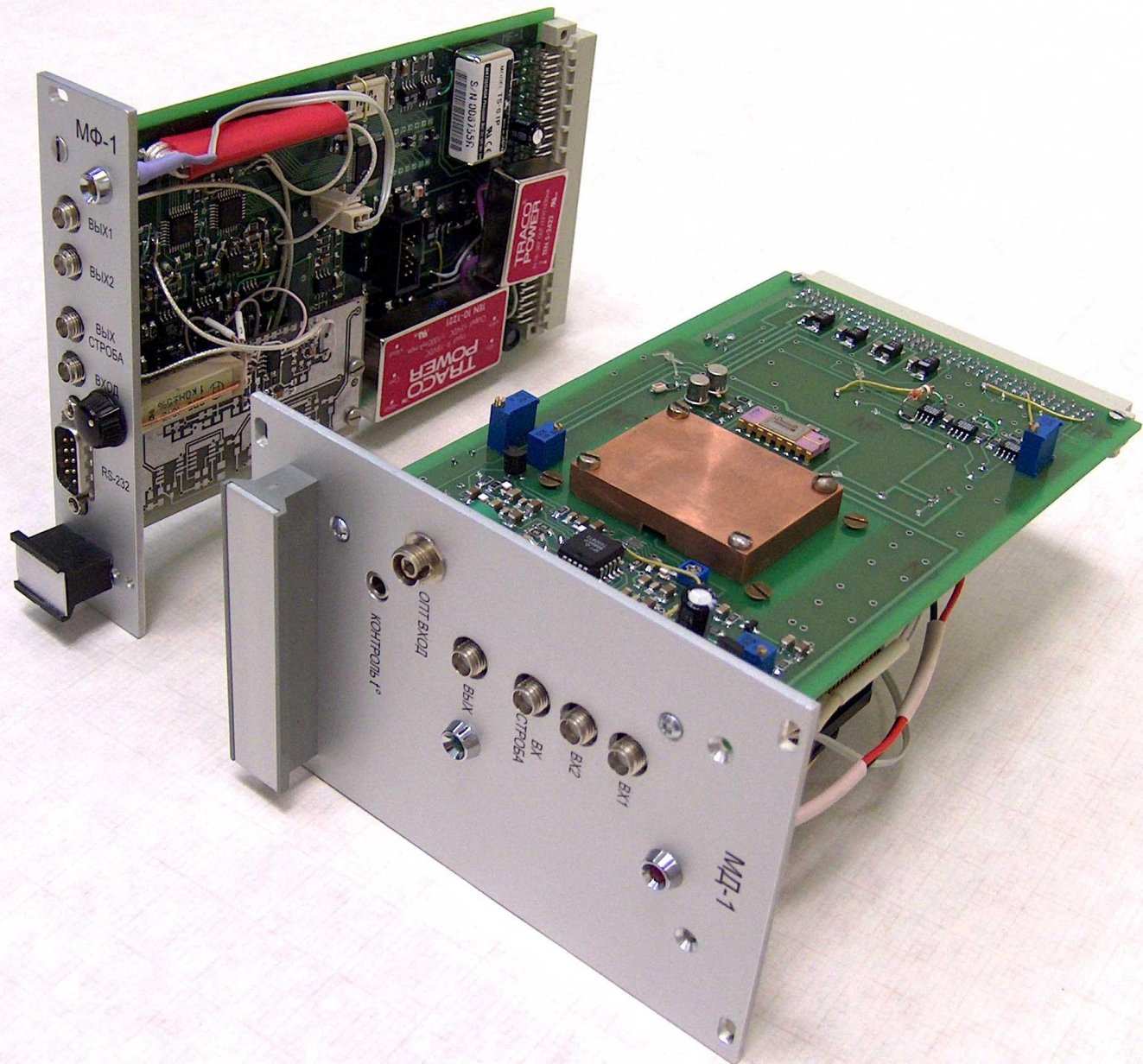


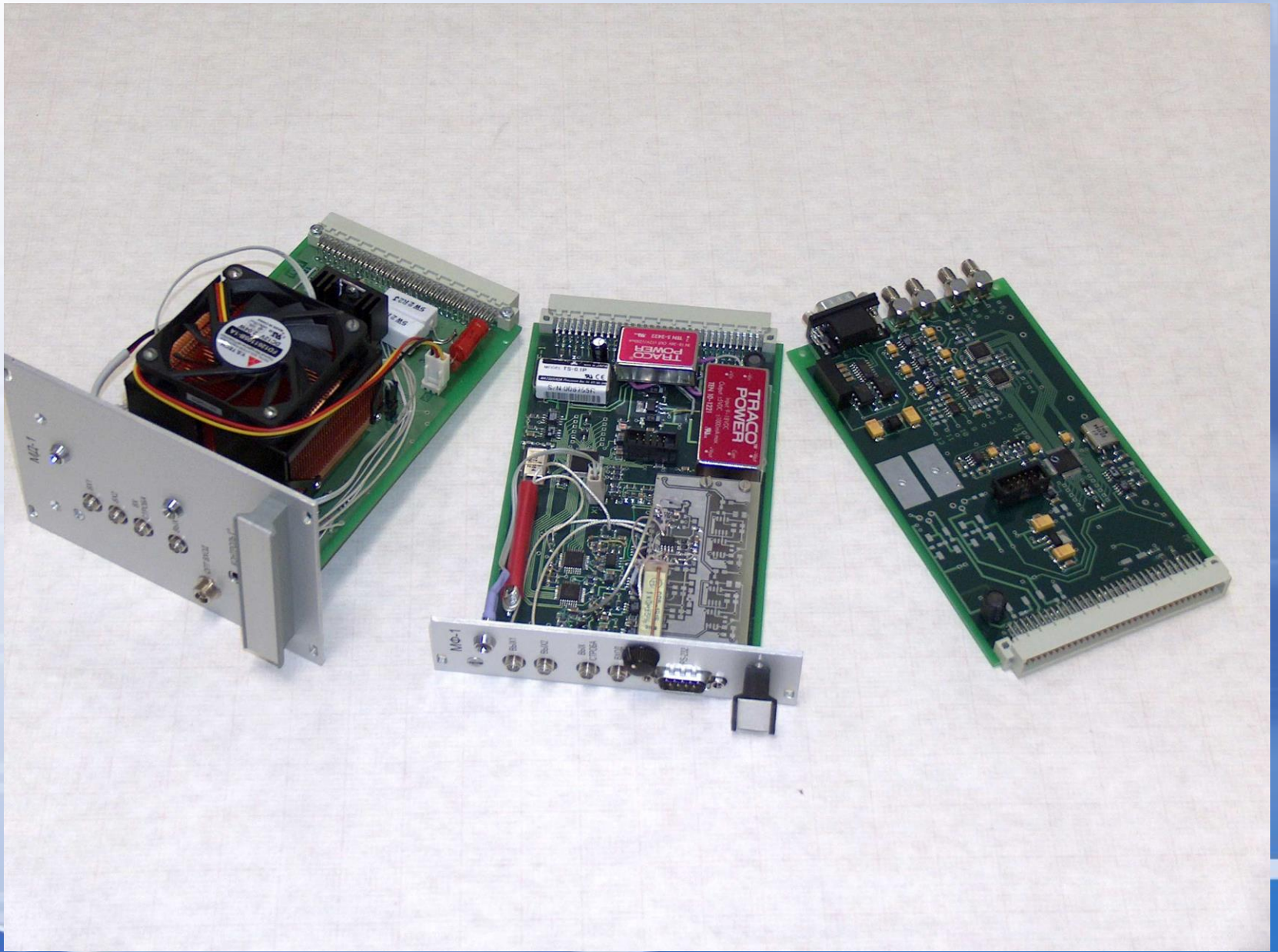
Проблема – темновые отсчеты однофотонного приемника



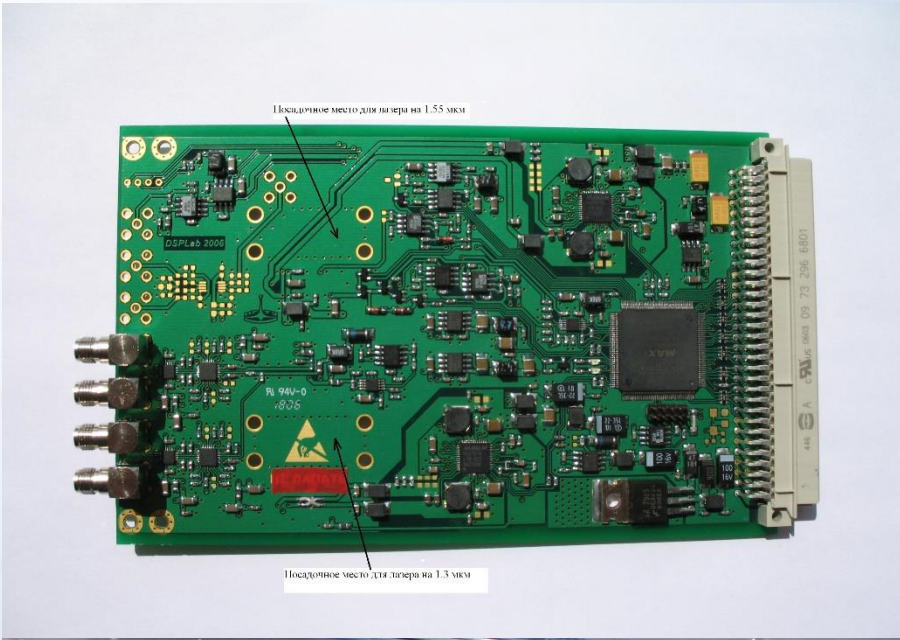
01010101
101010101





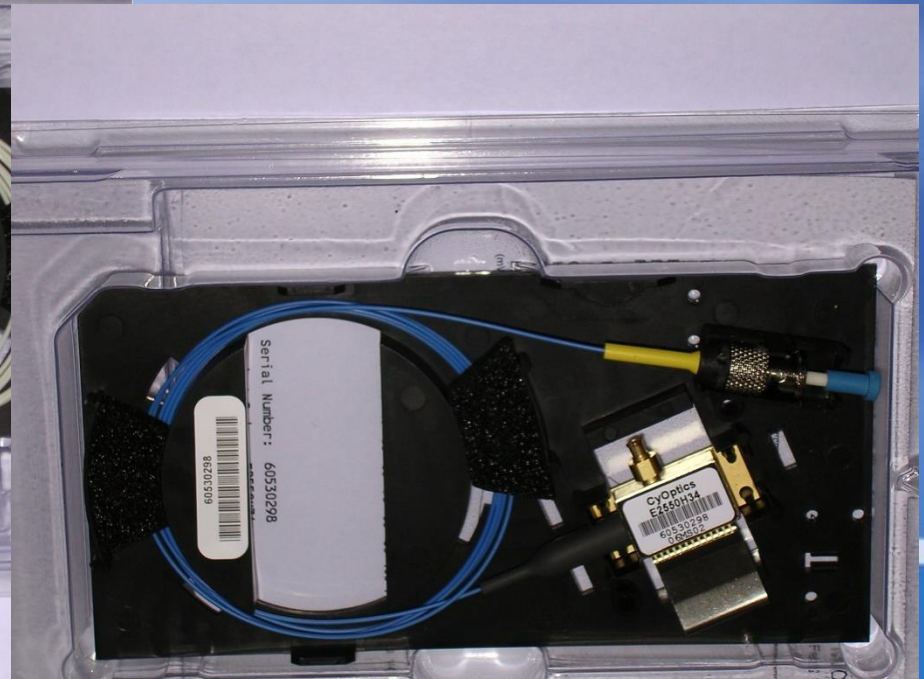


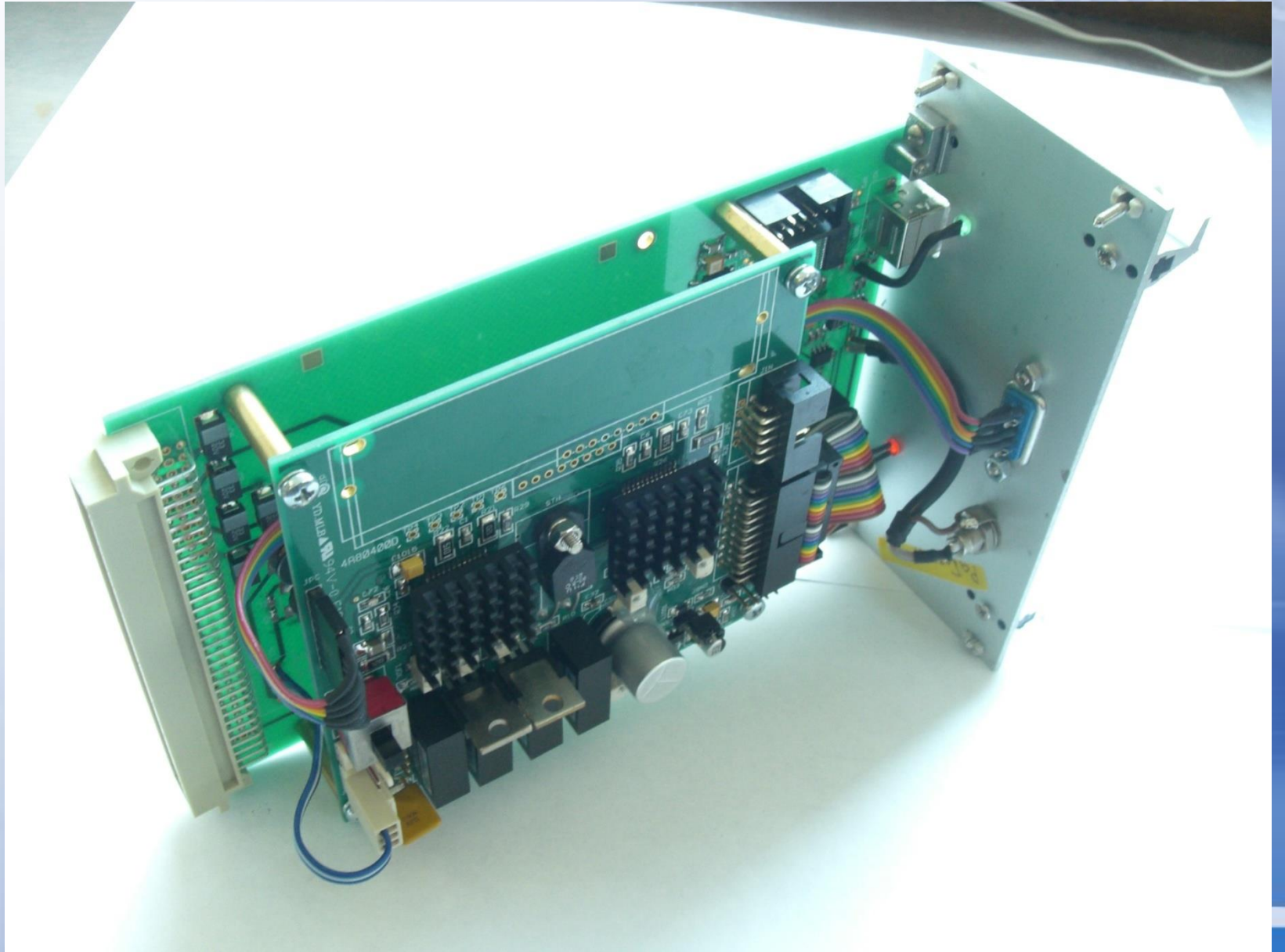
101010101
101010101

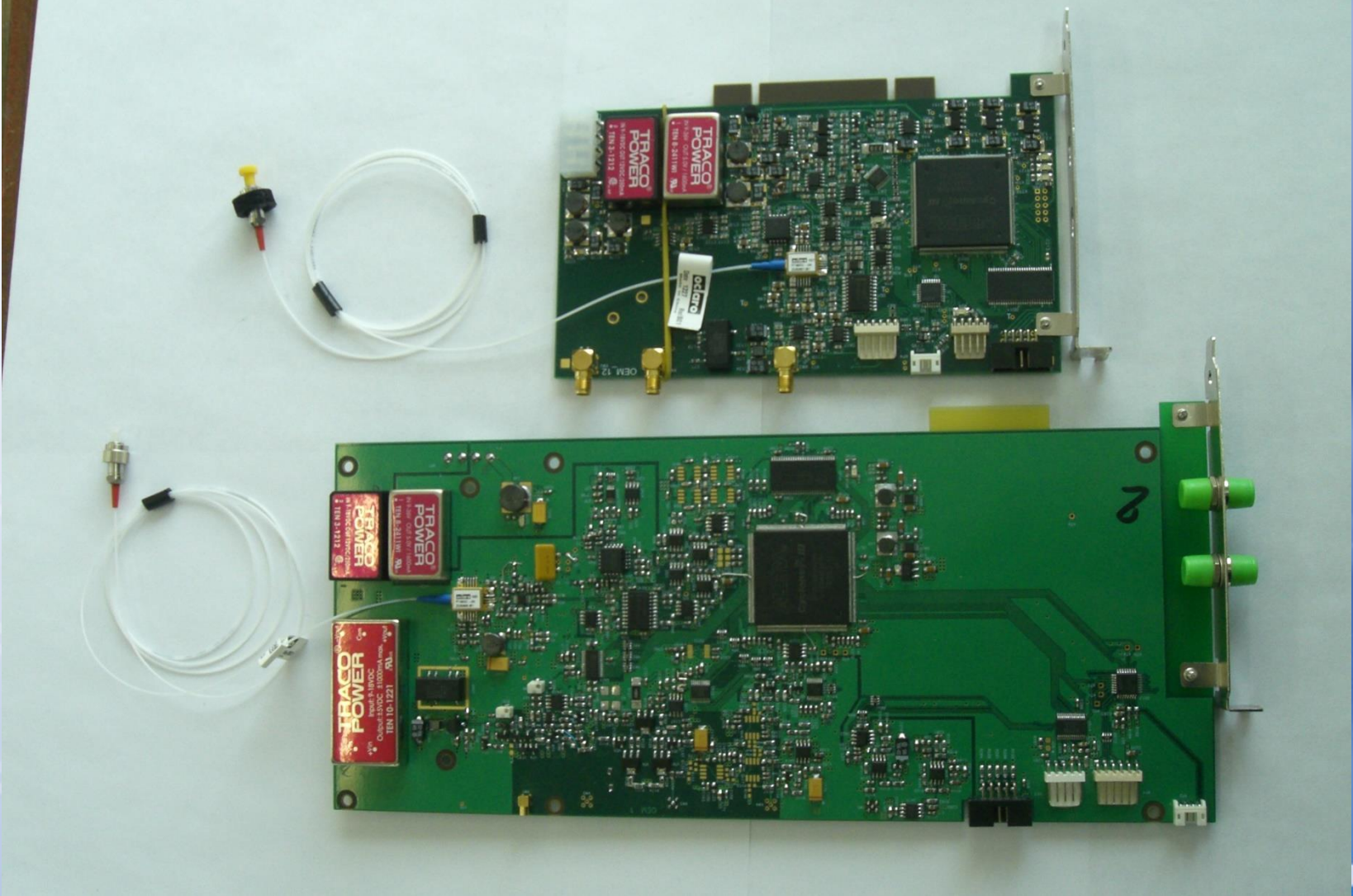


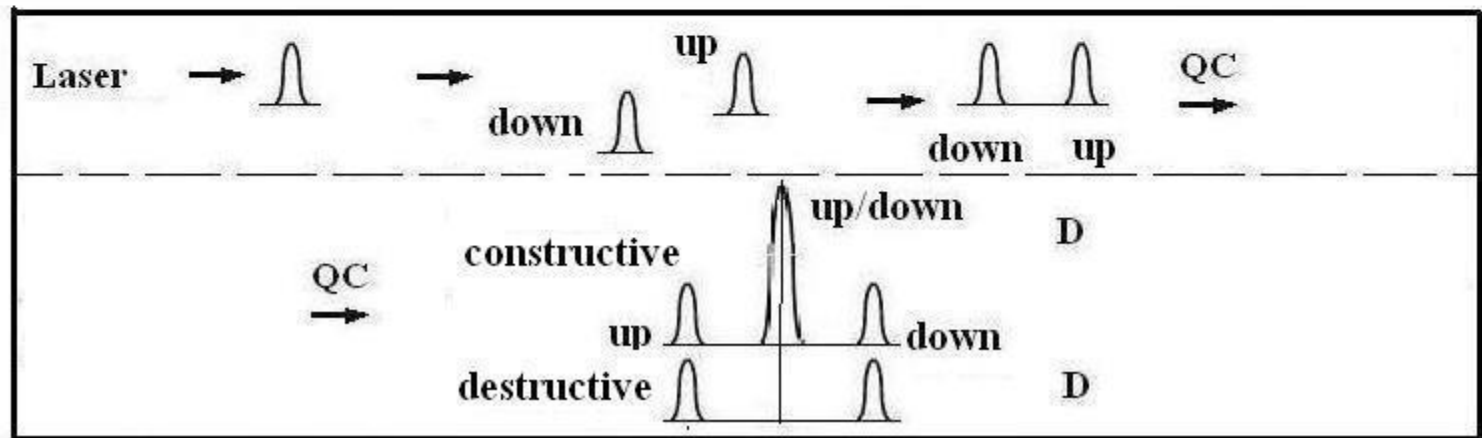
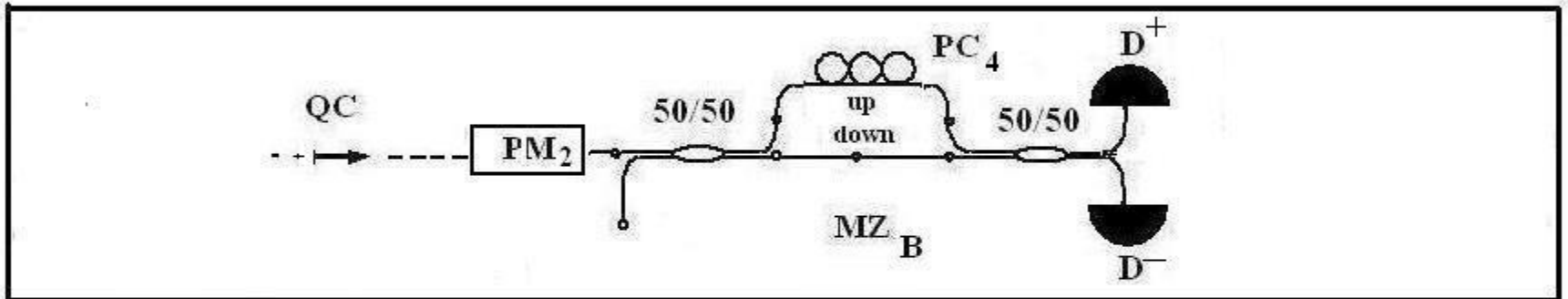
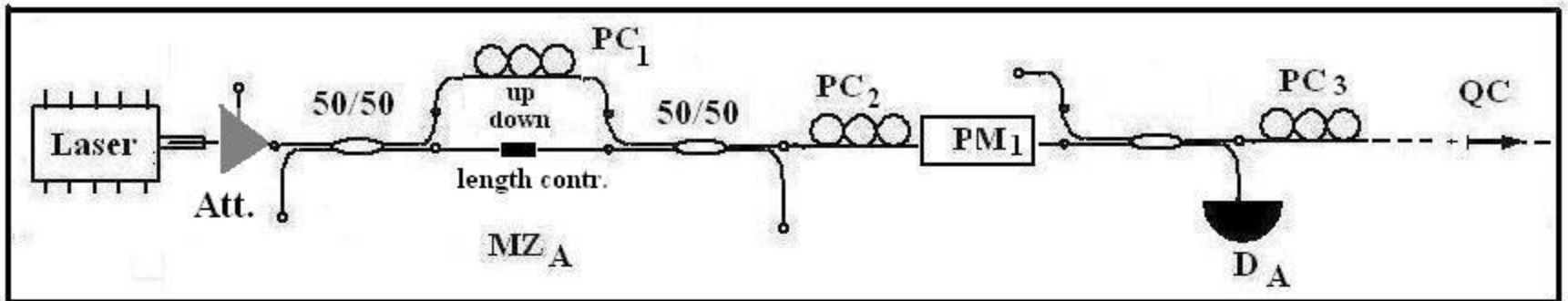
Подходящее место для лазера на 1.55 мкм

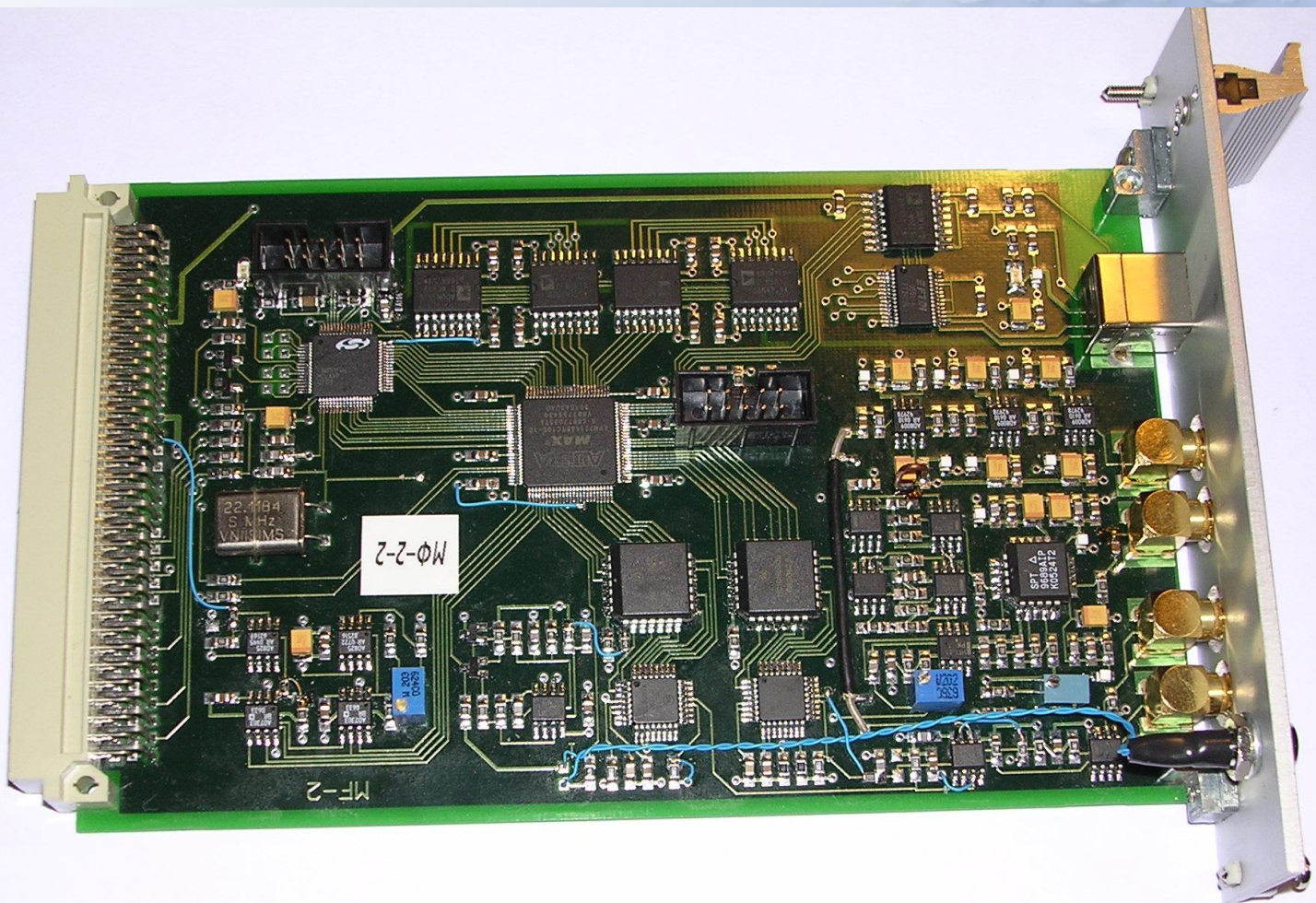
Подходящее место для лазера на 1.3 мкм



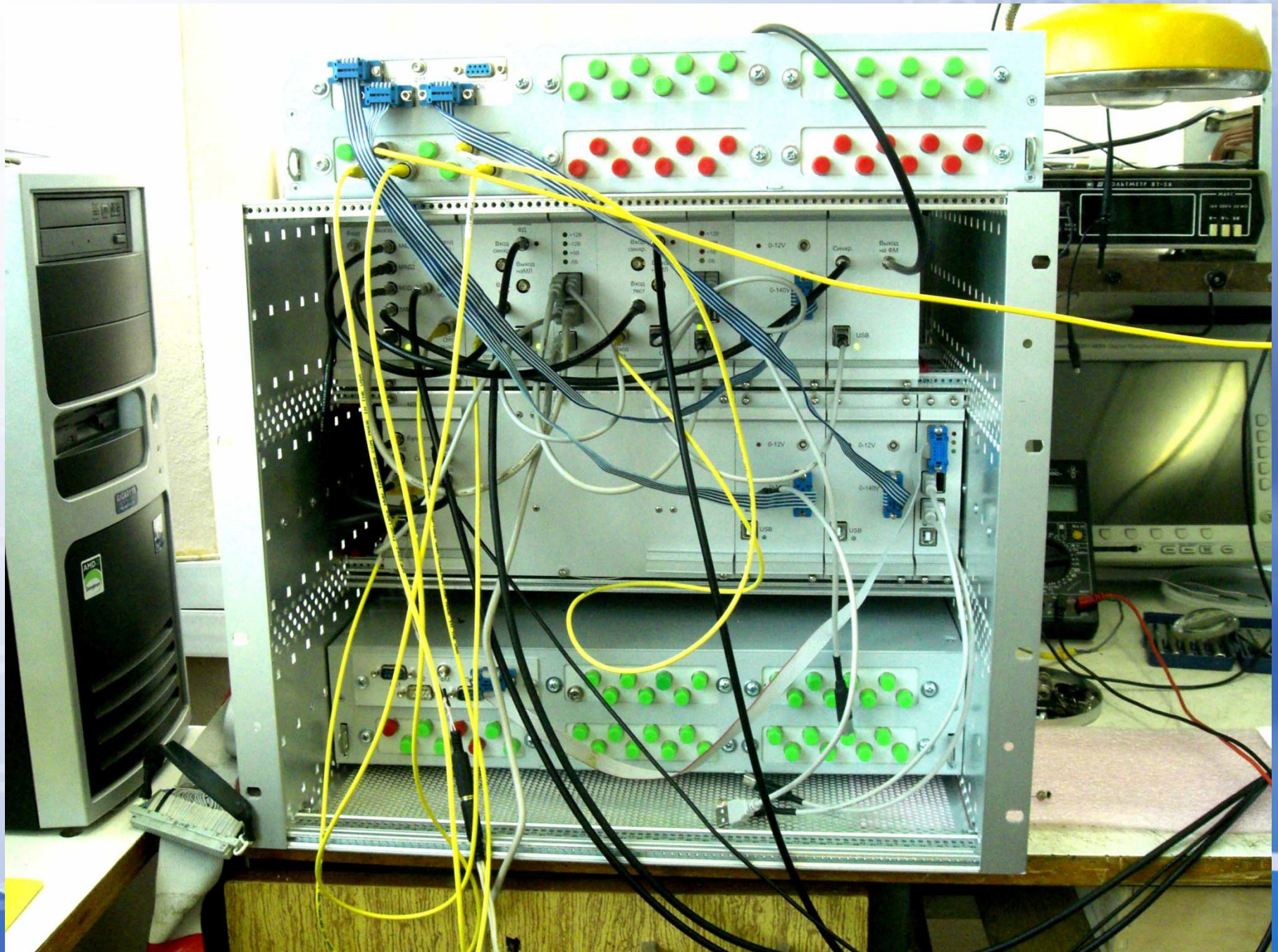


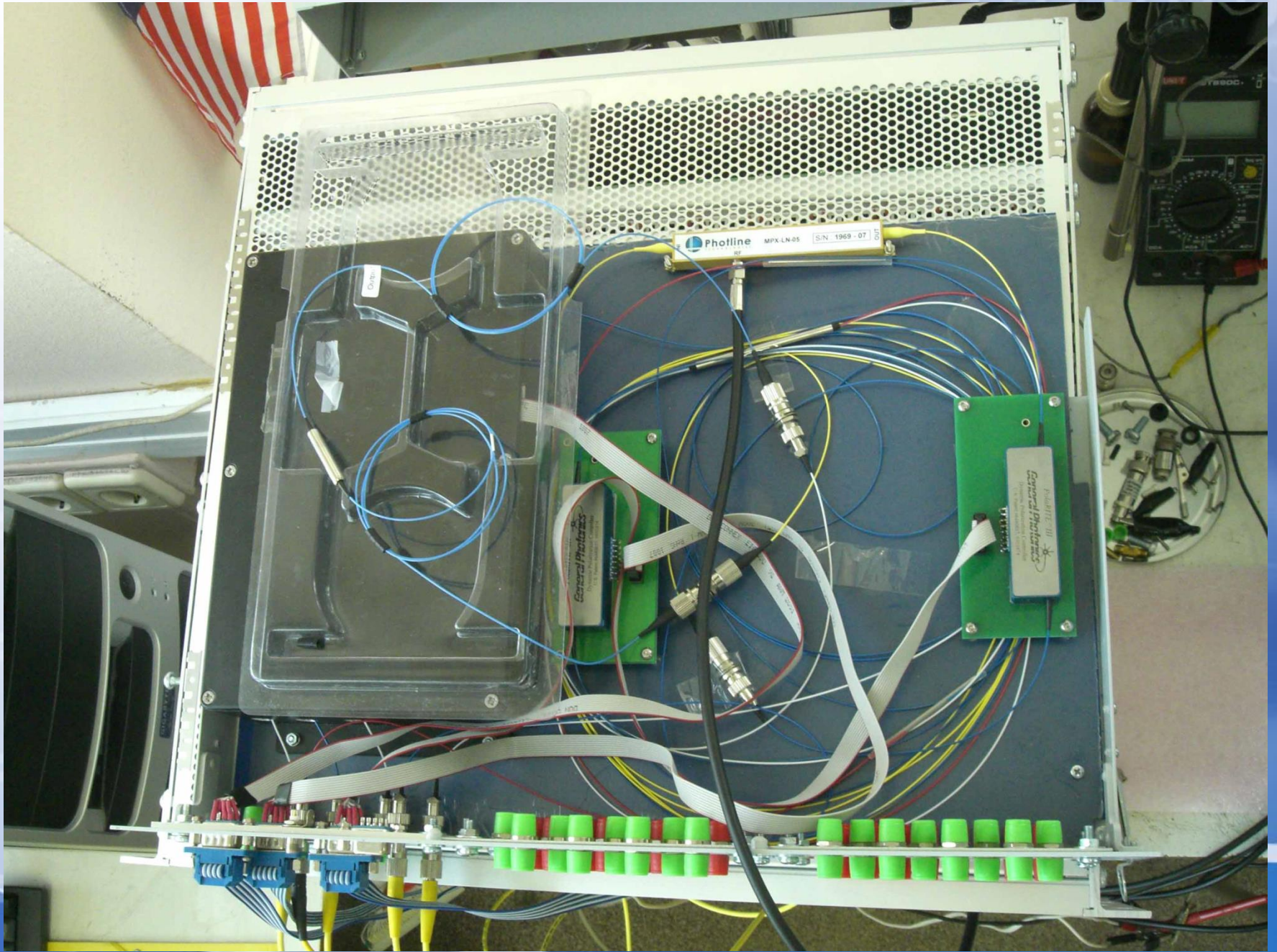












Работа ККС в автоматическом режиме.

```

## 14:27:52 #####
*series #1 (1000000 @ 3.20 khz)*
## 14:28:27 #####
APDcounts = 43334 (52453) APDcounts efficiency = 4.33e-03 (5.25e-03)
Counts@bases = 1741 (1095) Counts@bases efficiency = 1.74e-04 (1.93e-04) rawkey = 1741
secret bits efficiency = 6.22e-05
Key Estimation:
errQ = 2.2% Raw(1741)-Qerr(24.1)-ErrCorr(1094.9)=Secret(622.0)
Averaged Key Estimation:
errQ = 2.19% (real=4.48%) Secret part = 6.22e-05

Raw key = 1741, Secret key = 622.04, Rate = 268.51 bit/min
Accepted series #1. Accumulated key: raw(1741) qerr(24) ErrCorr(1095) Secret(622)
## 14:28:27 #####
1741 raw bits for 622 key have been successfully generated in 2.3 min!
Reconciliation start.
## 14:28:44 #####
ErrQ = 4.1% (2.2%) bits removed = 941 (1095)
## 14:28:44 #####
Keys (800 bits) have been successfully reconciled in 17.1 sec!
Quantum part to remove = 24 bits. 776 secret bits remain. Keys have truncated to 768 bits.
Key stat tests start.
Key stat tests failed: keys discarded.
***** Connection to Bob #1 : OK. *****

*Pre-series checks*
Temperature measurement
Laser T = 25.0C, APD T = -50.0C, OK!
APD dark counts measurement
Dark counts rate = 3.70e-06, OK.
APD flare measurement
Flare = 4.80e-06 Interference min = 9.40e-06 Aggregated min = 4.09e-03
APD&PM1 delay adjust
APD delay has changed from 269350.74 to 269350.89 ns. Smax = 28.1
PM1 delay has changed from 269278.96 to 269279.08 ns.
Interferometer balance check
Smax = 28.1 Smin = 8.00e-02 Interference visibility = 0.9943
PC3 balance for max with APD
At beginning V1 = 17.0 V2 = 46.5 V3 = 8.0, Smax = 27.8
Balance took 9.0 sec
Result: V1 = 19.5 V2 = 44.5 V3 = 7.5 Smax = 28.3
Key Estimation:
errQ = 1.8% Raw(1925)-Qerr(23.6)-ErrCorr(1180.4)=Secret(721.3)
Power at Bob check
Power at Bob = 4.9e3 photons Threshold set to 12.0e3 photons
pm 1e2 Random sequence load
## 14:30:35 #####
*series #1 (1000000 @ 3.20 khz)*
## 14:31:09 #####
APDcounts = 39673 (52453) APDcounts efficiency = 3.97e-03 (5.25e-03)
Counts@bases = 1546 (1095) Counts@bases efficiency = 1.55e-04 (1.93e-04) rawkey = 1546
secret bits efficiency = 5.46e-05
Key Estimation:
errQ = 2.3% Raw(1546)-Qerr(23.5)-ErrCorr(976.8)=Secret(545.7)
Averaged Key Estimation:
errQ = 2.27% (real=5.50%) Secret part = 5.46e-05

Raw key = 1546, Secret key = 545.66, Rate = 235.54 bit/min
Accepted series #1. Accumulated key: raw(1546) qerr(24) ErrCorr(977) Secret(546)
## 14:31:09 #####
1546 raw bits for 546 key have been successfully generated in 2.3 min!
Reconciliation start.
## 14:31:27 #####
ErrQ = 5.2% (2.2%) bits removed = 914 (977)
## 14:31:27 #####
Keys (632 bits) have been successfully reconciled in 18.0 sec!
Quantum part to remove = 24 bits. 609 secret bits remain. Keys have truncated to 512 bits.
Key stat tests start.
Stat tests succeeded: keys were cooked in 2.6 min. Keys are ready to use.
***** Connection to Bob #2 : OK. *****

```

time(h)	ser	T(C)	DCR(cpp)	FCR(cpp)	dt(ns)	Vis-ty	Bal	V1	V2	V3	Smax	kHz	P@Bob	Ngiant	Eff@counts	Eff@bases	Err(%)Real	Raw(b)	Estm(b)	Rate	Fails	Ns t(min)	Raw	Estm	Err(%)	Pure(b)	Quant(b)	Secret t(min)	key#		
0.000	1	-50.0	1.70e-06	1.70e-05	+0.59	0.9930	0	57.5	18.5	44.0	37.4	10.0	15.80	0	1.12e-02	4.14e-04	1.54	1.93	2071	823.4	595.2	0	1.14	2071	823	3.39	1024	14	1010	1.7	1
0.119	1	-50.0	2.80e-06	1.92e-05	+0.69	0.9945	0	56.0	21.0	47.0	36.9	10.0	16.20	0	1.10e-02	4.18e-04	1.72	2.34	2091	806.4	590.0	0	1.14	2091	806	1.91	1216	15	1201	1.7	2
0.194	1	-50.0	2.90e-06	2.34e-05	+0.73	0.9941	0	58.5	17.5	50.0	37.5	10.0	15.80	0	1.10e-02	4.27e-04	2.05	2.57	2136	788.2	569.8	0	1.14	2136	788	2.84	1120	16	1104	1.7	3
0.268	1	-50.0	2.90e-06	2.36e-05	+0.72	0.9952	0	59.0	21.5	51.0	37.1	10.0	16.20	0	1.00e-02	3.92e-04	2.24	3.06	1962	707.6	517.8	0	1.14	1962	708	3.25	984	16	968	1.6	4
0.342	1	-50.0	3.80e-06	2.32e-05	+0.75	0.9798	1	55.0	23.0	53.0	37.3	10.0	16.20	0	1.05e-02	4.03e-04	2.15	2.58	2013	733.4	165.4	0	1.44	2013	733	2.56	1088	16	1072	4.8	5
0.467	1	-50.0	4.00e-06	3.04e-05	+0.78	0.9934	1	51.0	21.5	52.5	37.1	10.0	16.20	0	1.05e-02	4.25e-04	2.66	2.59	2125	738.0	167.7	0	1.44	2125	738	3.06	1088	19	1070	4.7	6
0.591	1	-50.0	4.10e-06	1.70e-05	+0.77	0.9941	0	50.5	18.0	54.0	37.0	10.0	15.80	0	1.11e-02	4.28e-04	1.49	2.43	2138	858.1	627.9	0	1.14	2138	858	4.31	960	14	946	1.7	7
0.665	1	-50.0	3.00e-06	1.94e-05	+0.71	0.9913	0	52.0	17.0	52.0	37.4	10.0	16.20	0	1.16e-02	4.48e-04	1.62	1.56	2240	878.2	642.6	0	1.14	2240	878	2.29	1248	15	1233	1.7	8
0.739	1	-50.0	2.10e-06	2.10e-05	+0.86	0.9940	0	49.0	16.0	56.0	37.3	10.0	15.80	0	1.06e-02	4.05e-04	1.94	2.96	2026	757.2	554.1	0	1.14	2026	757	5.18	832	16	817	1.7	9
0.813	1	-50.0	2.50e-06	1.92e-05	+0.90	0.9962	0	49.0	17.0	56.0	37.4	10.0	16.20	0	1.07e-02	4.07e-04	1.77	2.45	2037	780.0	570.7	0	1.14	2037	780	3.84	960	15	945	Key stat tests failed!	10
0.883	1	-50.0	2.90e-06	1.84e-05	+0.85	0.9919	0	48.0	14.5	54.0	37.2	10.0	15.80	0	1.15e-02	4.32e-04	1.60	2.13	2162	851.4	615.4	0	1.14	2162	851	1.75	1280	15	1266	1.7	11
0.917	1	-50.0	3.20e-06	2.06e-05	+0.89	0.9957	0	49.5	11.0	56.0	37.3	10.0	15.80	0	1.06e-02	4.08e-04	1.89	2.20	2041	768.0	561.9	0	1.14	2041	768	1.47	1248	14	1011	1.7	12
0.946	1	-50.0	2.20e-06	1.72e-05	+0.89	0.9930	0	46.5	11.0	55.5	37.2	10.0	15.80	0	1.09e-02	4.14e-04	1.56	1.88	2072	821.2	600.9	0	1.14	2072	821	3.69	992	14	978	1.6	11
1.020	1	-50.0	1.80e-06	1.58e-05	+0.93	0.9946	0	49.0	13.0	56.5	37.4	10.0	15.40	0	1.15e-02	4.34e-04	1.37	1.89	2168	892.7	661.3	0	1.14	2168	893	3.82	1024	14	1011	1.7	12
1.094	1	-50.0	2.90e-06	1.66e-05	+1.03	0.9945	0	53.0	17.0	53.5	37.6	10.0	15.80	0	1.12e-02	4.42e-04	1.41	2.13	2210	902.1	660.0	0	1.14	2210	902	3.16	1120	14	1106	1.7	13
1.168	1	-50.0	2.60e-06	2.56e-05	+1.02	0.9941	0	55.0	13.5	52.5	37.2	10.0	15.80	0	1.16e-02	4.44e-04	2.15	1.44	2220	809.6	592.4	0	1.14	2220	810	4.67	960	17	943	1.7	14
1.242	1	-50.0	2.00e-06	2.90e-05	+1.11	0.9919	0	51.5	13.5	56.0	37.5	10.0	15.40	0	1.10e-02	4.09e-04	2.63	2.10	2046	711.7	527.2	0	1.14	2046	712	2.71	1088	18	1070	1.7	15
1.316	1	-50.0	2.90e-06	2.64e-05	+1.20	0.9978	1	48.5	17.5	55.0	37.6	10.0	16.20	0	1.15e-02	4.25e-04	2.31	1.98	2125	761.5	169.2	0	1.14	2125	761	3.93	992	17	975	4.8	16
1.442	1	-50.0	2.90e-06	1.36e-05	+1.24	0.9978	0	48.1	16.4	56.5	37.1	10.0	15.80	0	1.13e-02	4.27e-04	1.20	1.22	2136	916.7	670.8	0	1.14	2136	917	2.84	1120	13	1107	1.6	17
1.516	1	-50.0	2.20e-06	1.52e-05	+1.28	0.9935	0	49.1	11.9	59.0	37.3	10.0	16.20	0	1.08e-02	4.08e-04	1.40	2.15	2042	835.1	611.0	0	1.14	2042	835	1.26	1280	14	1267	1.7	18
1.635	1	-50.0	3.80e-06	1.40e-05	+1.27	0.9913	0	45.6	15.4	63.0	37.4	10.0	15.80	0	1.18e-02	4.41e-04	1.20	1.27	2205	947.4	693.2	0	1.14	2205	947	3.98	1024	13	1011	1.7	19
1.793	1	-50.0	3.60e-06	2.46e-05	+1.36	0.9925	1	44.1	11.9	62.0	37.3	10.0	16.20	0	1.12e-02	4.21e-04	2.18	1.57	2106	765.3	170.1	0	1.14	2106	765	0.92	1376	17	1360	4.8	20
1.918	1	-50.0	3.40e-06	2.00e-05	+1.45	0.9939	0	39.6	14.4	64.5	37.1	10.0	16.20	0	1.14e-02	4.44e-04	1.69	1.98	2219	860.5	629.6	0	1.14	2219	861	4.04	1024	15	1009	1.7	21
1.997	1	-50.0	3.70e-06	2.20e-05	+1.65	0.9930	0	36.6	12.4	63.0	36.9	10.0	16.20	0	9.48e-03	3.81e-04	2.16	3.21	1903	692.4	500.5	0	1.14	1903	692	2.97	984	16	969	1.7	22
2.066	1	-50.0	4.00e-06	1.34e-05	+1.71	0.9951	0	39.6	16.4	62.5	37.3	10.0	15.80	0	1.13e-02	4.34e-04	1.16	1.43	2171	941.1	688.6	0	1.14	2171	941	3.26	1088	13	1075	1.7	23
2.145	1	-50.0	3.00e-06	1.82e-05	+1.77	0.9941	0	41.1	17.4	61.5	37.5	10.0	16.20	0	1.13e-02	4.33e-04	1.20	1.55	2317	994.1	718.6	0	1.14	2317	994	2.83	1216	14	1203	1.7	24
2.224	1	-50.0	3.80e-06	1.82e-05	+1.81	0.9941	0	41.1	15.9	60.5	37.2	10.0	15.80	0	1.13e-02	4.33e-04	1.37	2.30	2170	893.8	662.6	0	1.14	2170	894	1.17	1376	14	1368	1.6	25
2.303	1	-50.0	3.80e-06	1.82e-05	+1.81	0.9941	0	41.1	15.9	60.5	37.2	10.0	15.80	0	1.13e-02	4.33e-04	1.37	2.30	2170	893.8	662.6	0	1.14	2170	894	1.17	1376	14	1368	1.6	26
2.382	1	-50.0	3.80e-06	1.82e-05	+1.81	0.9941	0	41.1	15.9	60.5	37.2	10.0	15.80	0	1.13e-02	4.33e-04	1.37	2.30	2170	893.8	662.6	0	1.14	2170	894	1.17	1376	14	1368	1.6	27
2.461	1	-50.0	3.80e-06	1.82e-05	+1.81	0.9941	0	41.1	15.9	60.5	37.2	10.0	15.80	0	1.13e-02	4.33e-04	1.37	2.30	2170	893.8	662.6	0	1.14	2170	894	1.17	1376	14	1368	1.6	28
2.540	1	-50.0	3.80e-06	1.82e-05	+1.81	0.9941	0	41.1	15.9	60.5	37.2	10.0	15.80	0	1.13e-02	4.33e-04	1.37	2.30	2170	893.8	662.6	0	1.14	2170	894	1.17	1376	14	1368	1.6	29
2.619	1	-50.0	3.80e-06	1.82e-05	+1.81	0.9941	0	41.1	15.9	60.5	37.2	10.0	15.80	0	1.13e-02	4.33e-04	1.37	2.30	2170	893.8	662.6	0	1.14	2170	894	1.17	1376	14	1368	1.6	30
2.698	1	-50.0	3.80e-06	1.82e-05	+1.81	0.9941	0	41.1	15.9	60.5	37.2	10.0	15.80	0	1.13e-02	4.33e-04	1.37	2.30	2170	893.8	662.6	0	1.14	2170	894	1.17	1376	14	1368	1.6	31
2.777	1	-50.0	3.80e-06	1.82e-05	+1.81	0.9941	0	41.1	15.9	60.5	37.2	10.0	15.80	0	1.13e-02	4.33e-04	1.37	2.30	2170	893.8	662.6	0	1.14	2170	894	1.17	1376	14	1368	1.6	32
2.856	1	-50.0	3.80e-06	1.82e-05	+1.81	0.9941	0	41.1	15.9	60.5	37.2	10.0	15.80	0	1.13e-02	4.33e-04	1.37	2.30	2170	893.8	662.6	0	1.14	2170	894	1.17	1376	14	1368	1.6	33
2.935	1	-50.0	3.80e-06	1.82e-05	+1.81	0.9941	0	41.1	15.9	60.5	37.2	10.0	15.80	0	1.13e-02	4.33e-04	1.37	2.30	2170	893.8	662.6	0	1.14	2170	894	1.17	1376	14	1368	1.	

101010101
0101010101

Релятивистская квантовая криптография для открытого пространства

Проблемы с дальностью передачи ключей

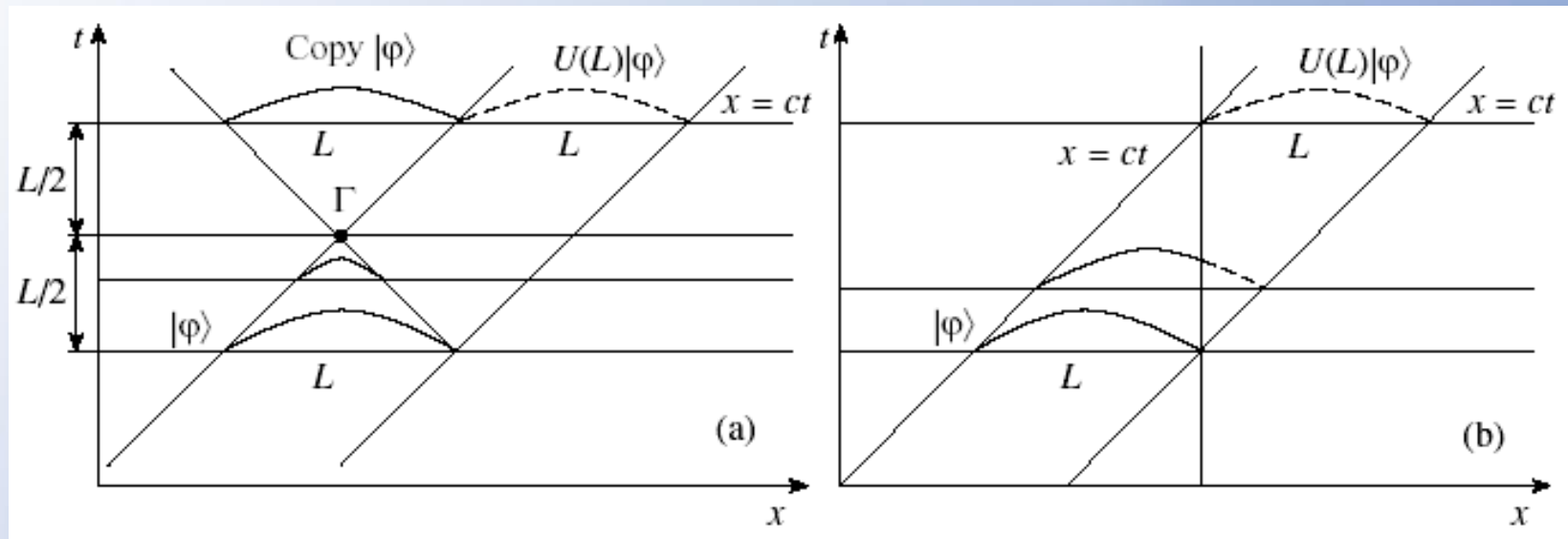
Для всех известных протоколов требуется знать потери в канале *a priori*.

Принципиальный вопрос.

Существуют ли протоколы гарантирующие секретность ключей при любых потерях (заранее неизвестных и меняющихся в течение работы протокола) и неоднофотонном источнике?

Фундаментальных ограничений только квантовой механики на измеримость квантовых состояний недостаточно.

Релятивистская квантовая криптография



$$|\varphi_0\rangle \mapsto (U_L|\varphi_0\rangle) \otimes (U_L|\varphi_0\rangle),$$

$$|\varphi_1\rangle \mapsto (U_L|\varphi_1\rangle) \otimes (U_L|\varphi_1\rangle),$$

$$|\varphi_0\rangle|A\rangle \mapsto (U_L|\varphi_0\rangle) \otimes |A_0\rangle,$$

$$|\varphi_1\rangle \otimes |A\rangle \mapsto (U_L|\varphi_1\rangle) \otimes |A_1\rangle, \quad |A_0\rangle \neq |A_1\rangle.$$

Letters

Relativistic quantum cryptography

I V Radchenko¹, K S Kravtsov¹, S P Kulik² and S N Molotkov^{3,4,5}

¹ A.M. Prokhorov General Physics Institute RAS, Moscow, Russia

² Faculty of Physics, Moscow State University, Moscow, Russia

³ Academy of Cryptography of Russian Federation, Moscow, Russia

⁴ Institute of Solid State Physics, Chernogolovka, Moscow Rgn., Russia

⁵ Faculty of Computational Mathematics and Cybernetics, Moscow State University, Moscow, Russia

A New Relativistic Orthogonal States Quantum Key Distribution Protocol

Jordan S. Cotler

Massachusetts Institute of Technology, Cambridge, Massachusetts 02139, USA

Peter W. Shor

*Department of Mathematics, Center for Theoretical Physics and CSAIL,
Massachusetts Institute of Technology, Cambridge, Massachusetts 02139, USA*

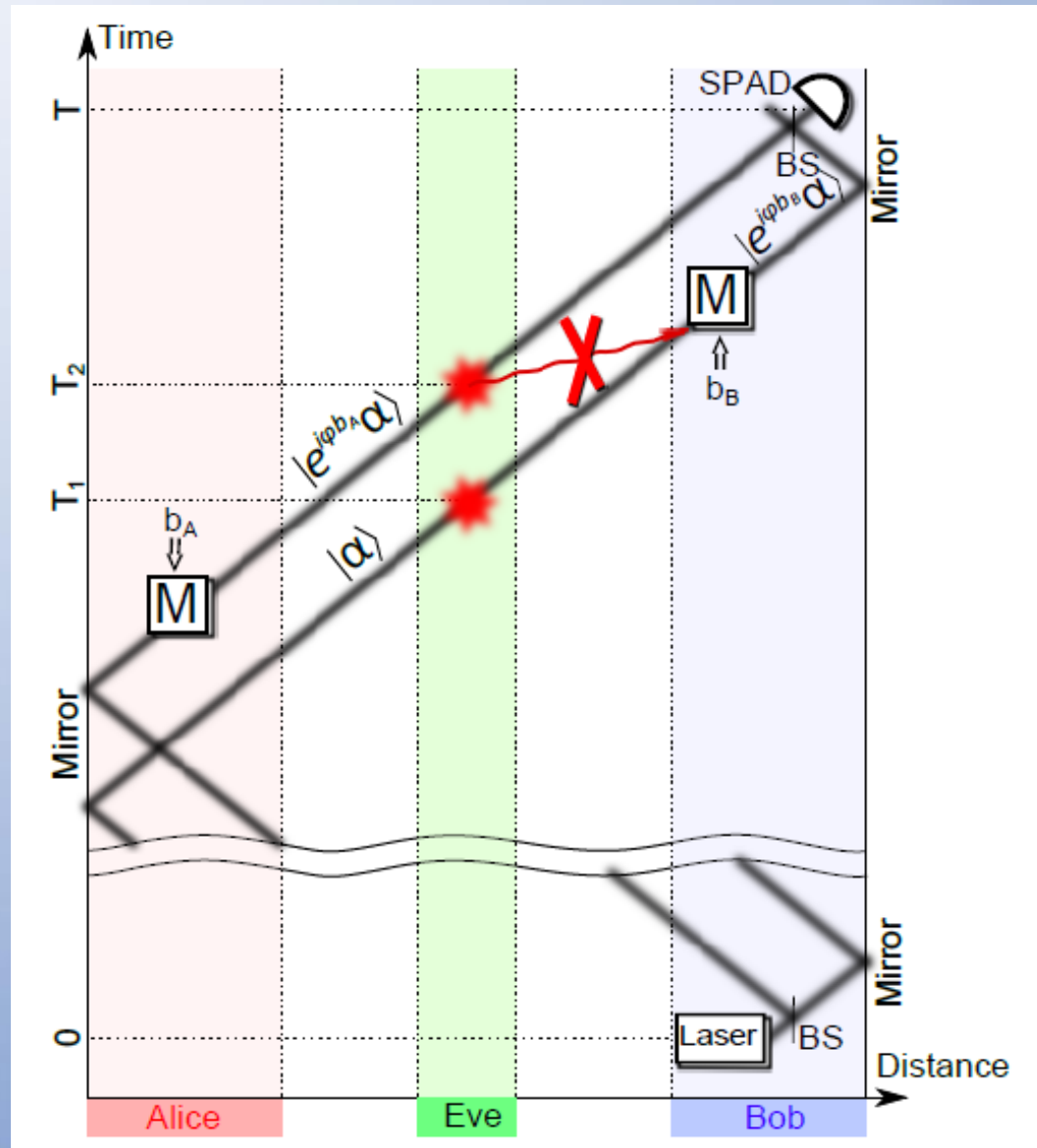
We introduce a new relativistic orthogonal states quantum key distribution protocol which leverages the properties of both quantum mechanics and special relativity to securely encode multiple bits onto the spatio-temporal modes of a single photon. If the protocol is implemented using a single photon source, it can have a key generation rate faster than the repetition rate of the source, enabling faster secure communication than is possible with existing protocols. Further, we provide a proof that the protocol is secure and give a method of implementing the protocol using line-of-sight and fiber optic channels.

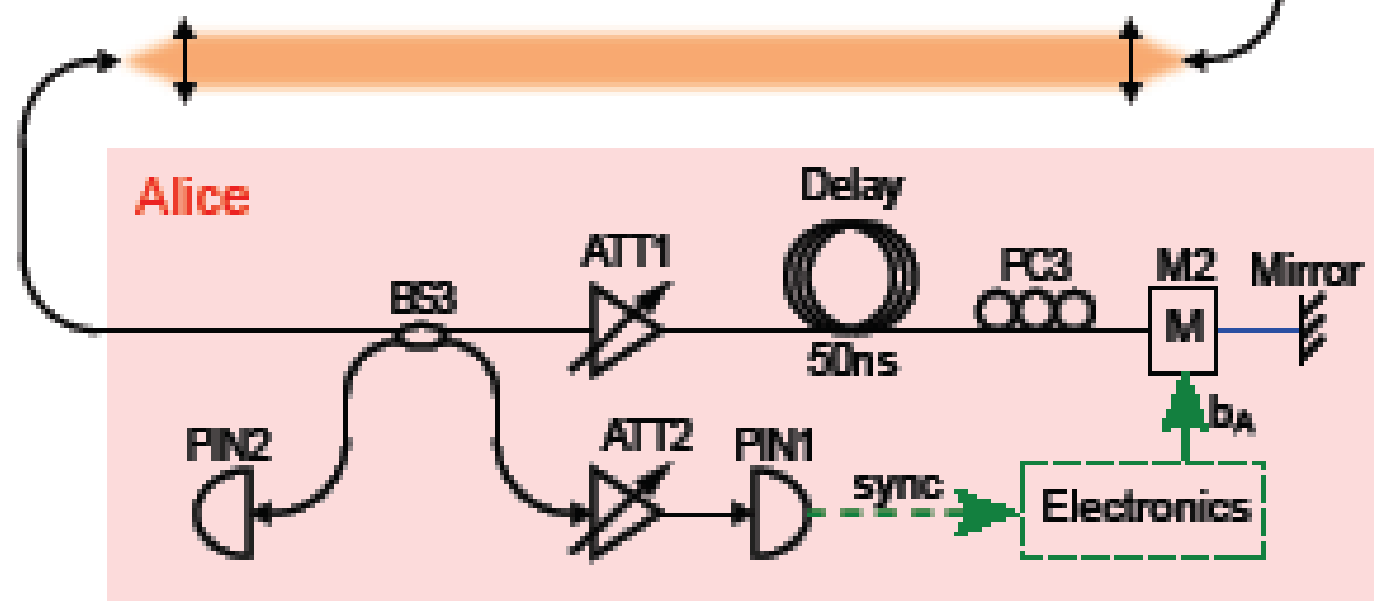
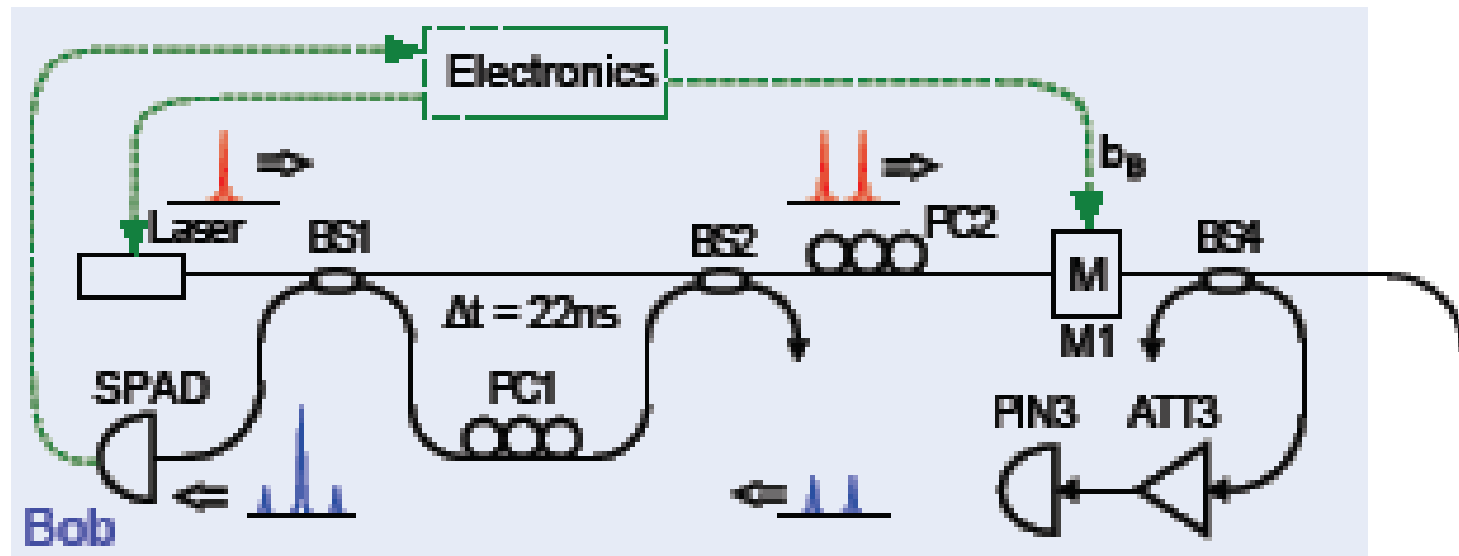
Keywords: Quantum Cryptography, Quantum Key Distribution, Secure Communications

I. INTRODUCTION

Cryptography underpins all secure communications, whether it is used for transferring credit card information

Релятивистский протокол





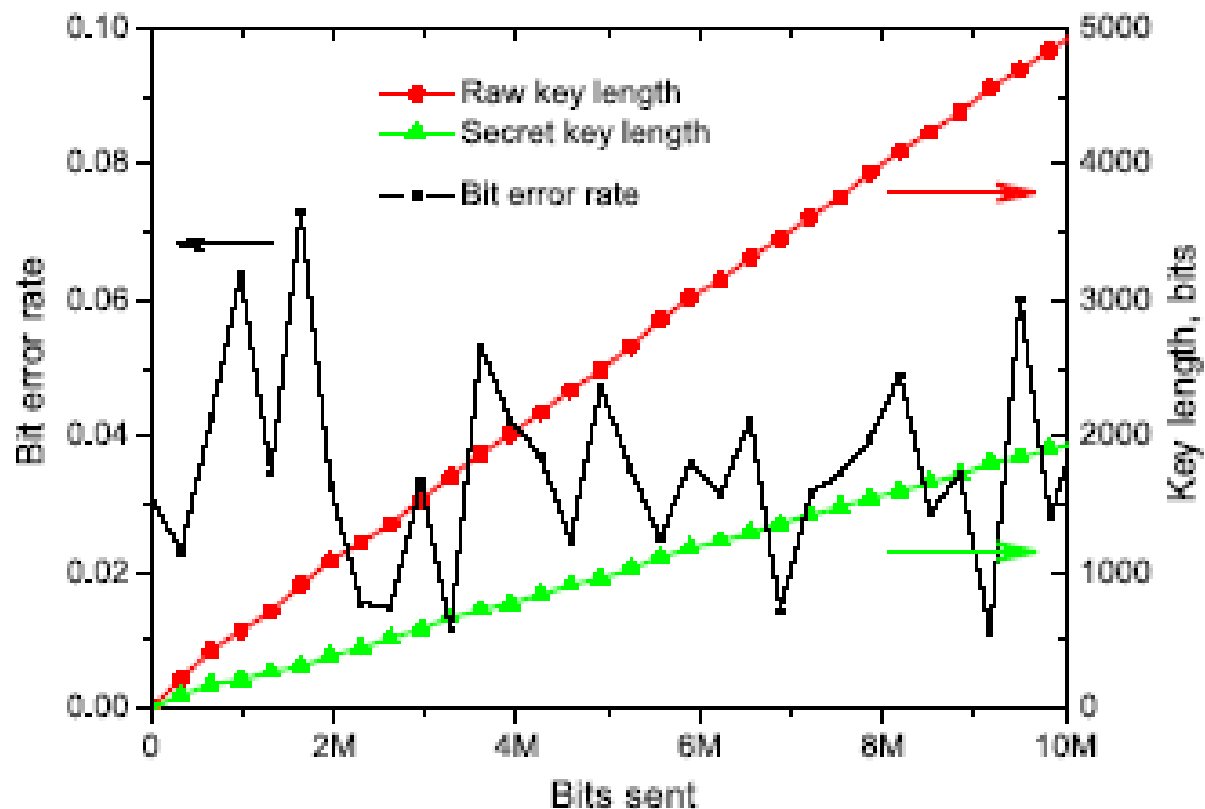


FIG. 4: Experimentally measured bit error rate and the obtained key lengths. During the run over 55 m long free space channel Alice was checking her observed timing sequence and compared it with that used by Bob. No timing errors were observed. Average number of photons per modulated pulse was kept at $\mu = 0.1$ and a depth of phase modulation was equal 130° . Detection of arriving photons was performed by Bob in a 4-ns time window, which is 5.5 times less than $\Delta t = 22$ ns, satisfying the requirements of the relativistic protocol.

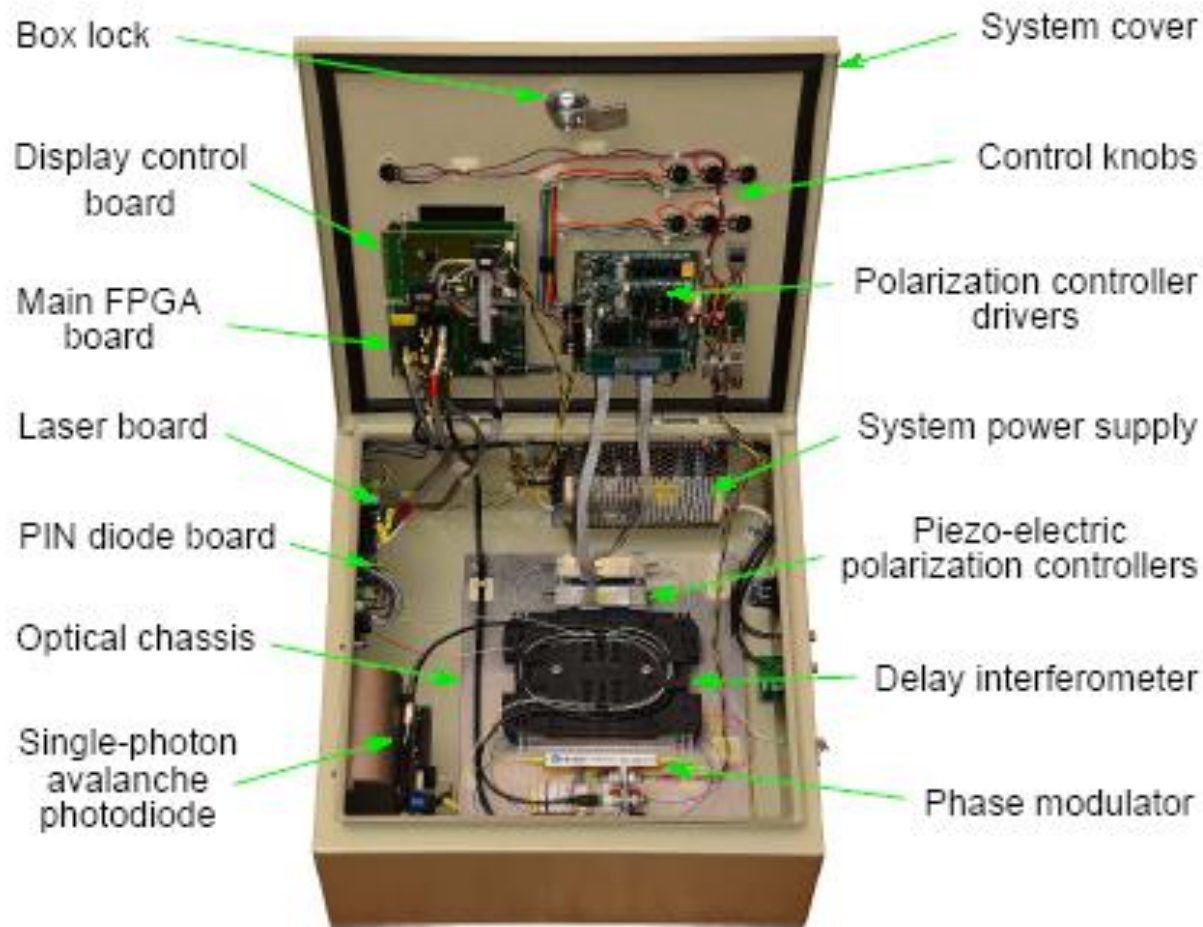
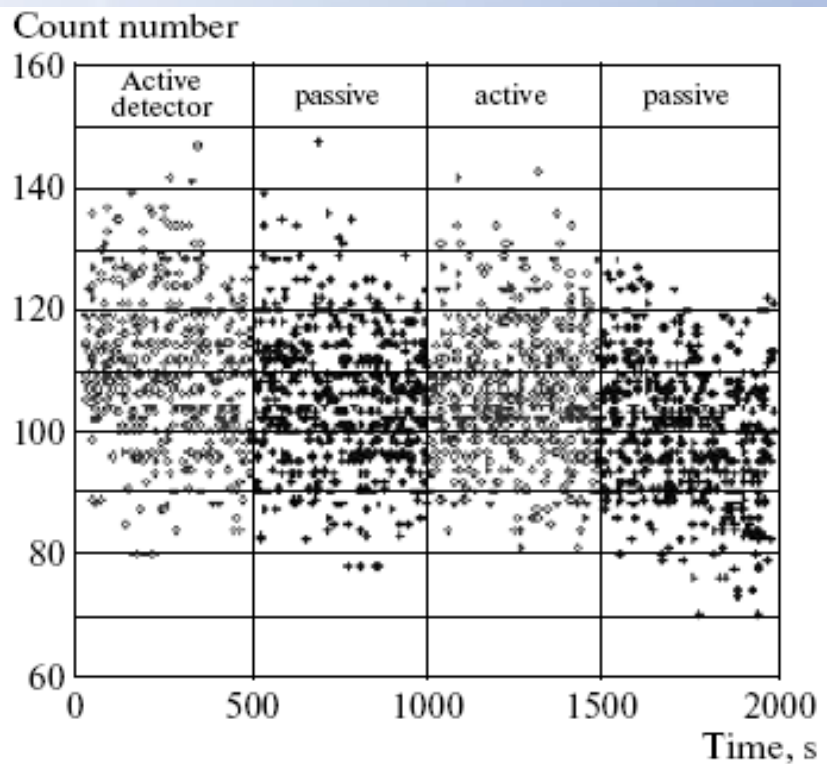
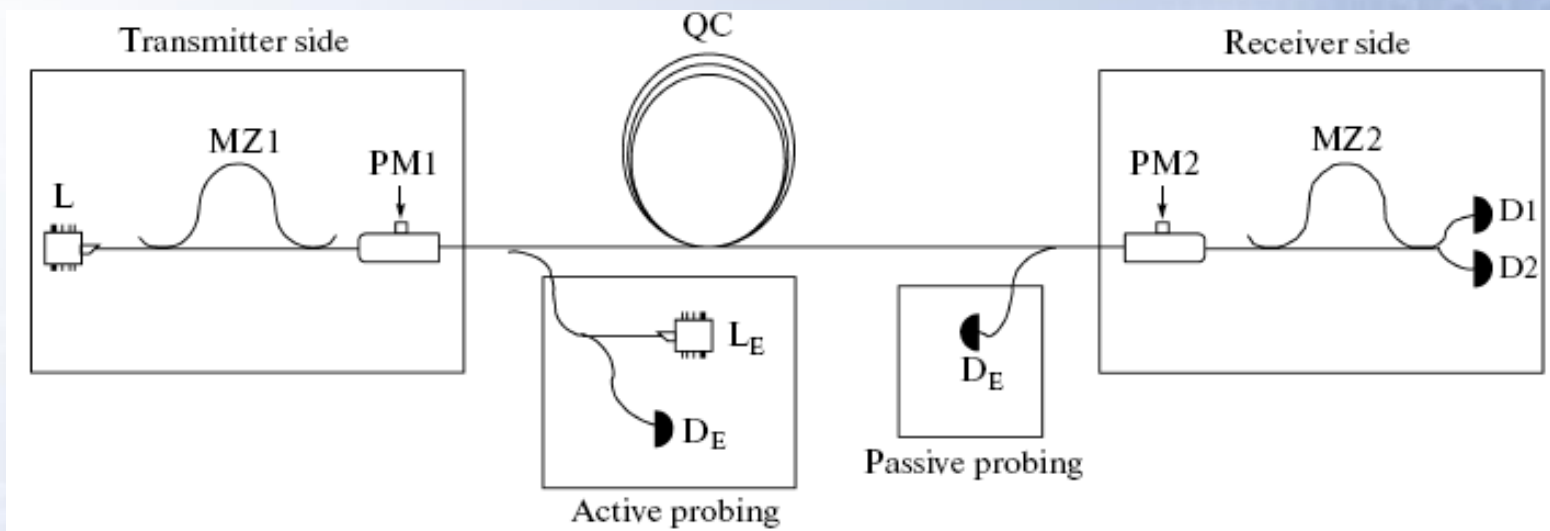


FIG. 6: Hardware implementation of the Bob's station. The station is packaged in a metal box with a cover, which has control knobs, buttons, and a small LCD display for visualization of the main operation parameters. It connects to a computer via a USB cable for transmission of the obtained raw keys as well as for exchange of control information.

Активное зондирование и побочные каналы

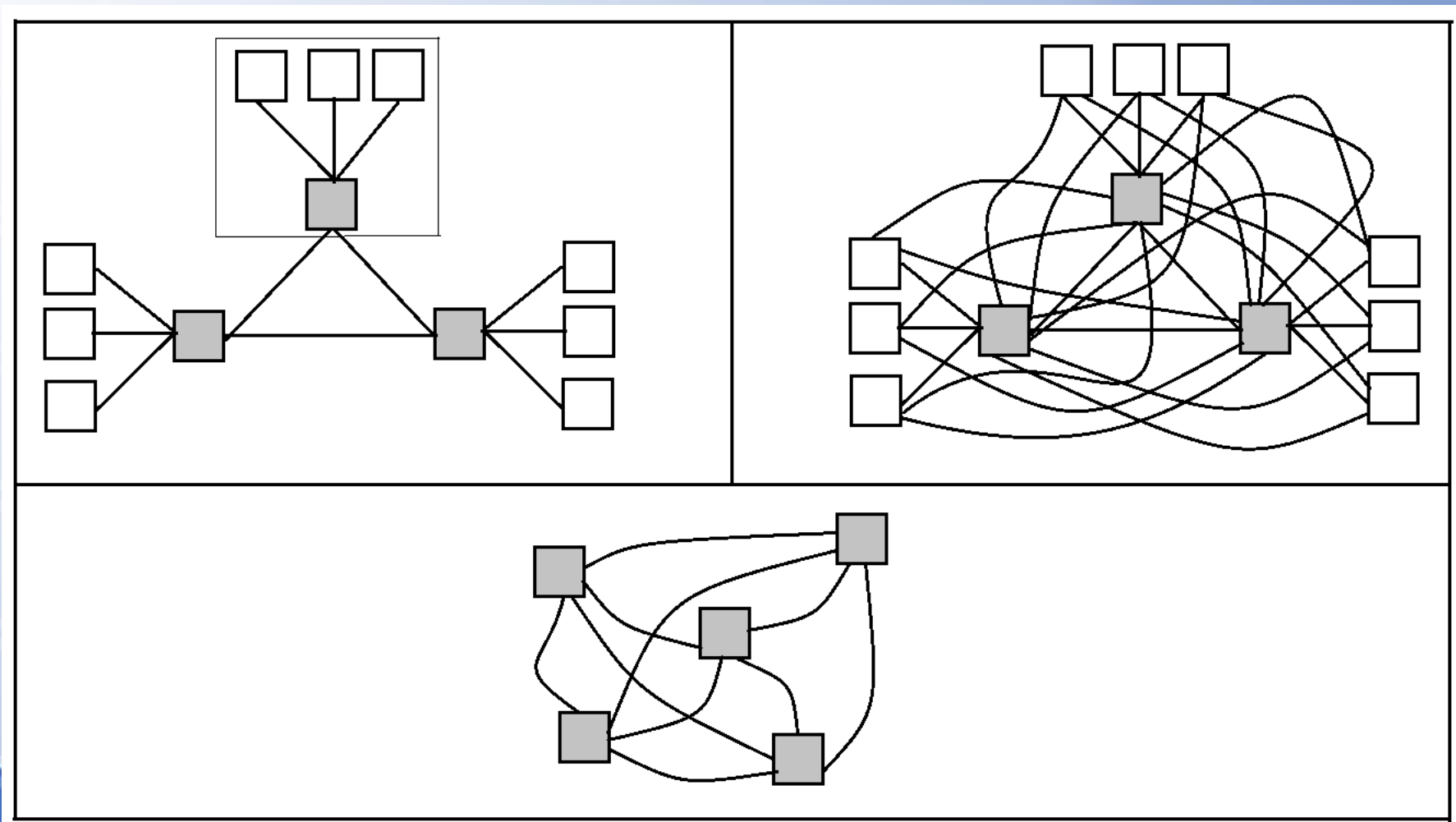


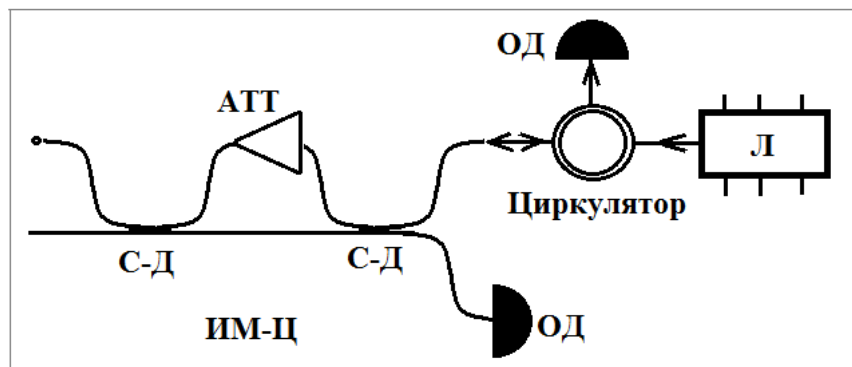
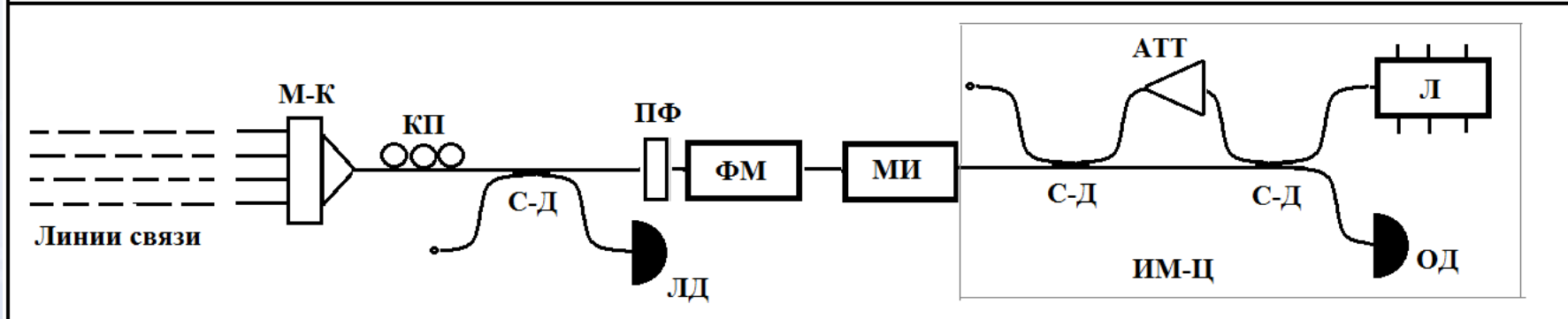
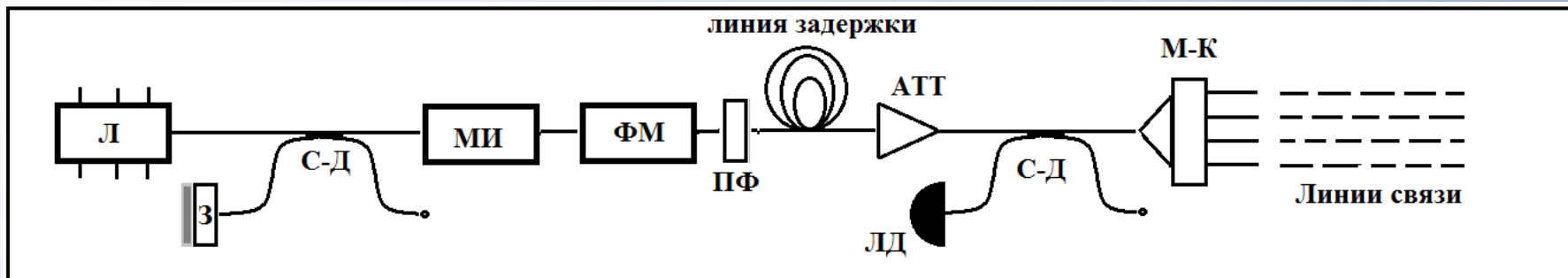
М.Т.Калашников

Все нужное просто.

Что сложно, то не нужно.

5. Реконфигурируемые сети с квантовым распределением ключей.





6. Где и что у кого есть?

nature
photonics

LETTERS

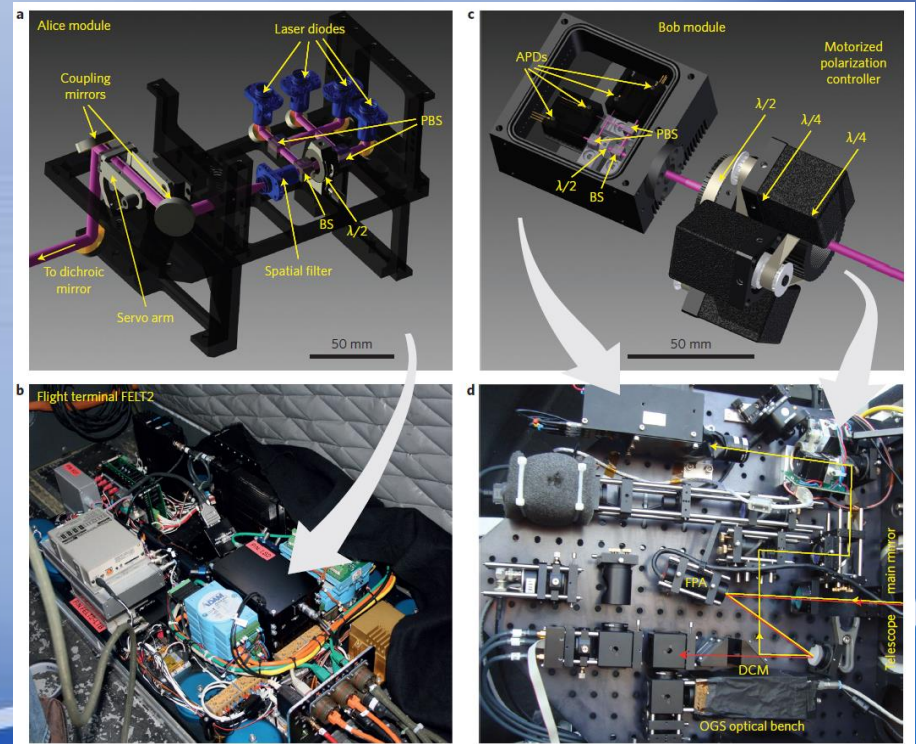
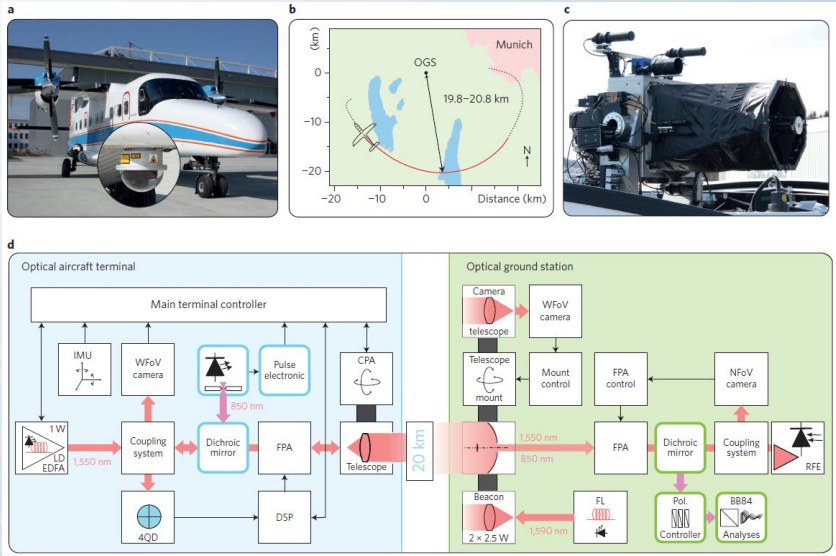
PUBLISHED ONLINE: 9 FEBRUARY 2015 | DOI: 10.1038/NPHOTON.2014.327

Provably secure and practical quantum key distribution over 307 km of optical fibre

Boris Korzh^{1*}, Charles Ci Wen Lim^{1*}, Raphael Houlmann¹, Nicolas Gisin¹, Ming Jun Li², Daniel Nolan², Bruno Sanguinetti¹, Rob Thew¹ and Hugo Zbinden¹

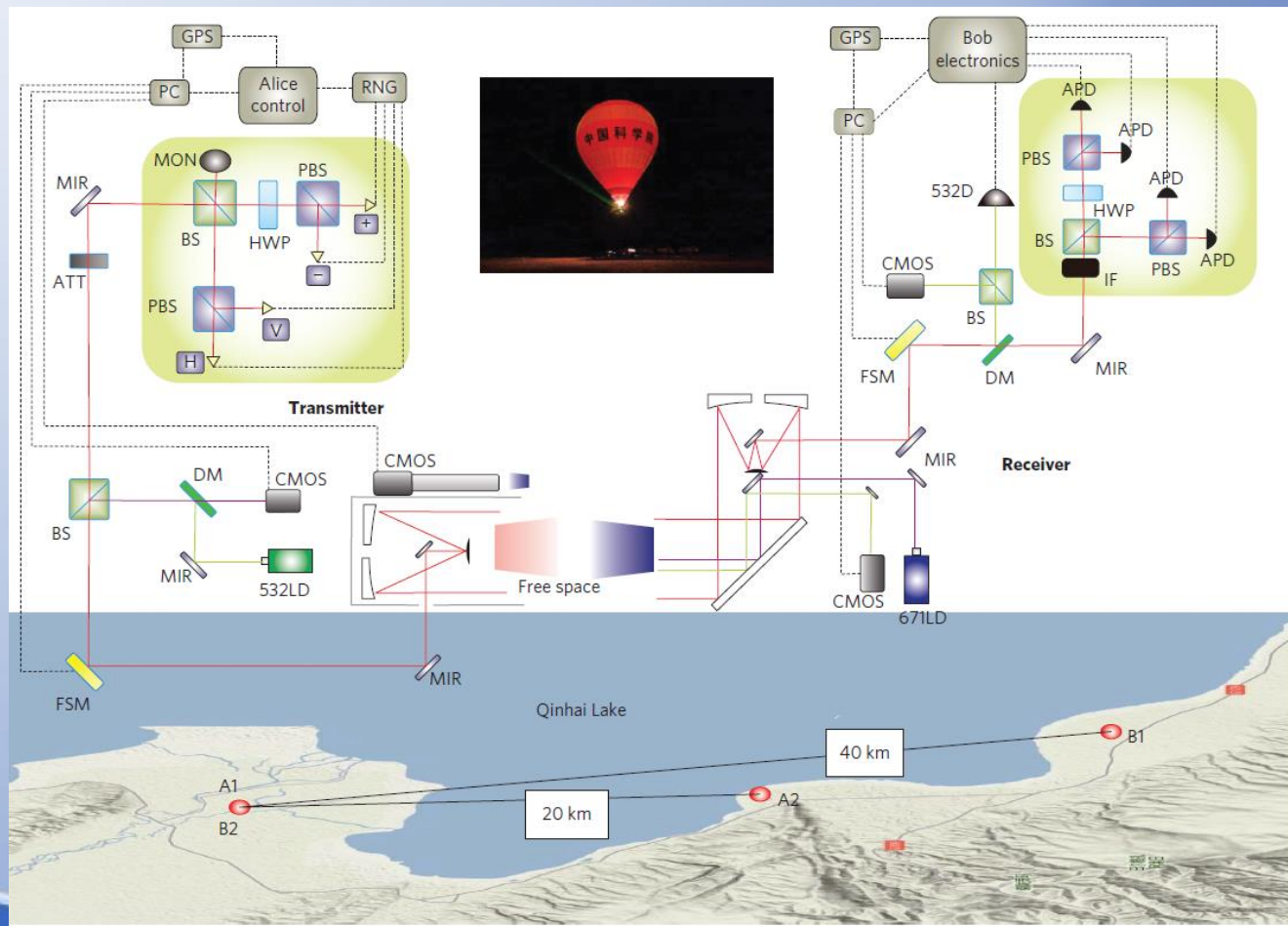
Air-to-ground quantum communication

Sebastian Nauerth^{1*}, Florian Moll², Markus Rau¹, Christian Fuchs², Joachim Horwath², Stefan Frick¹ and Harald Weinfurter^{1,3}



Direct and full-scale experimental verifications towards ground-satellite quantum key distribution

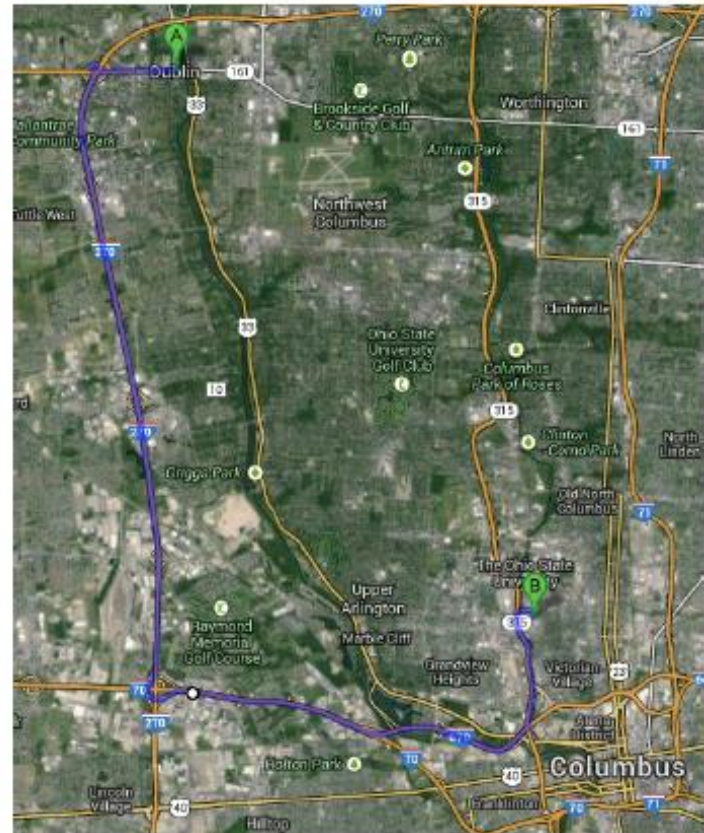
Jian-Yu Wang^{1,2†}, Bin Yang^{1†}, Sheng-Kai Liao^{1,2}, Liang Zhang², Qi Shen¹, Xiao-Fang Hu¹, Jin-Cai Wu², Shi-Ji Yang², Hao Jiang², Yan-Lin Tang¹, Bo Zhong³, Hao Liang¹, Wei-Yue Liu³, Yi-Hua Hu², Yong-Mei Huang⁴, Bo Qi⁴, Ji-Gang Ren¹, Ge-Sheng Pan¹, Juan Yin¹, Jian-Jun Jia², Yu-Ao Chen¹, Kai Chen¹, Cheng-Zhi Peng^{1*} and Jian-Wei Pan^{1*}



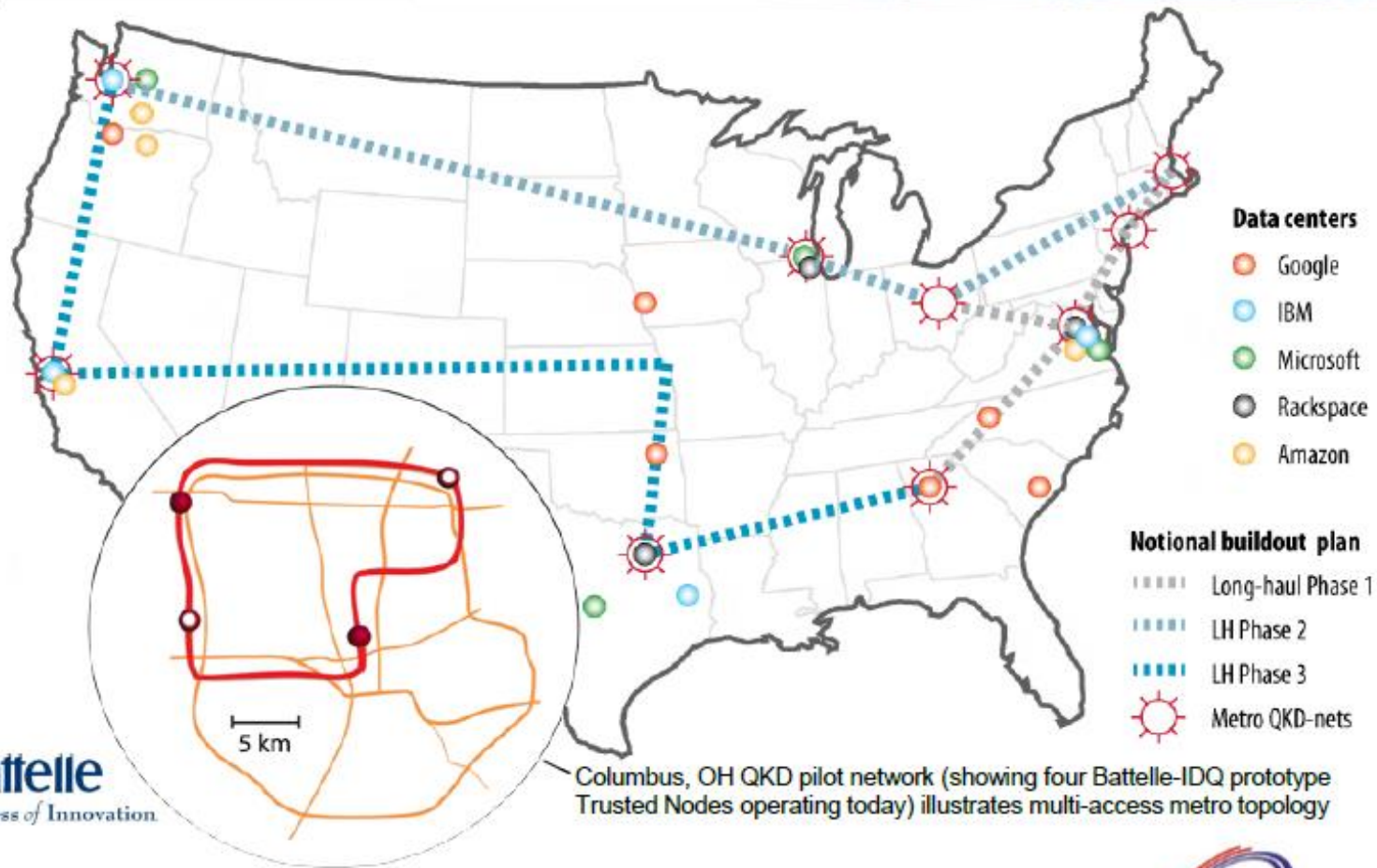
Enterprise: Corporate Data & IP

Battelle
The Business of Innovation

- ❑ **Battelle USA**
 - World's largest nonprofit R&D organization
 - Over 22,000 employees at more than 130 locations globally
- ❑ Requirement to protect mission critical corporate, financial information & intellectual property (designs, drawings, etc)
- ❑ IDQ's quantum cryptography used to secure critical links between headquarters in Columbus Ohio and satellite office in Dublin Ohio
- ❑ By 2015 will connect Battelle building in Washington DC with QKD-secured link
 - Working with IDQ to develop trusted nodes for increased distance of QKD



2015: IDQ-Battelle quantum backbone for long-term inter-datacenter security



Battelle
The Business of Innovation

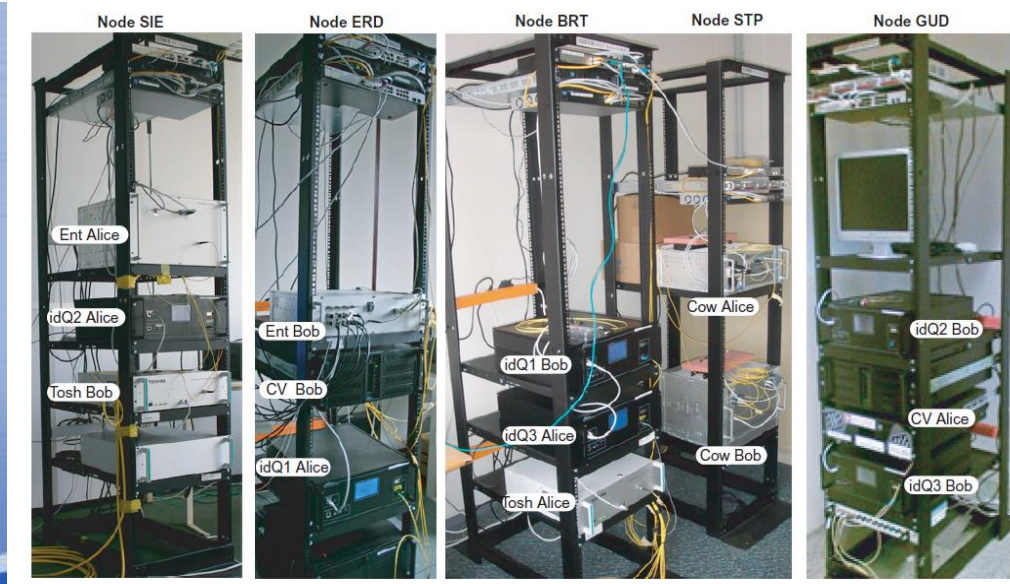
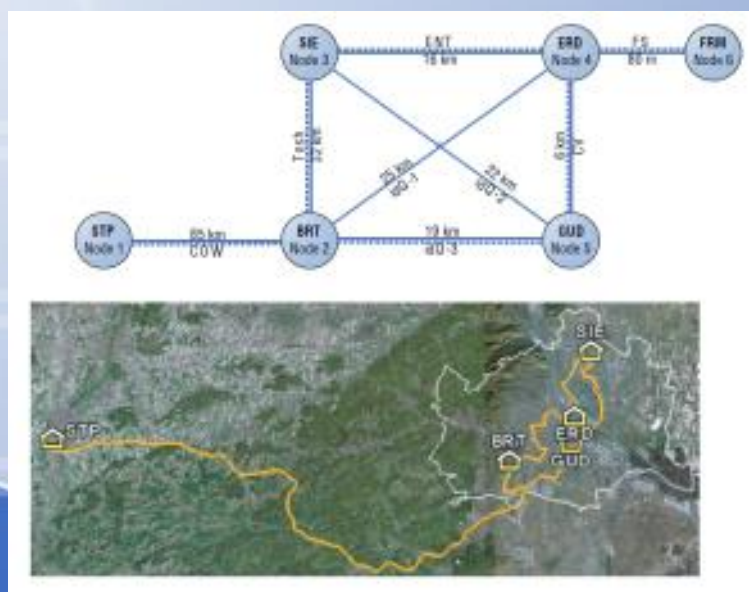
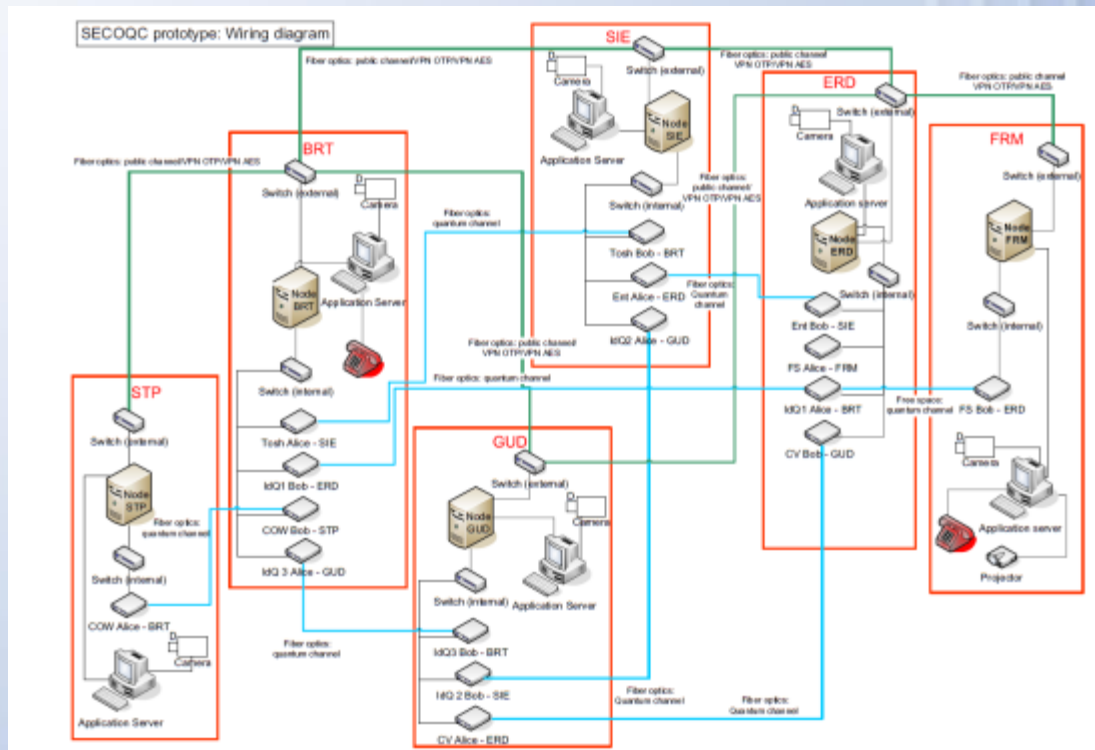
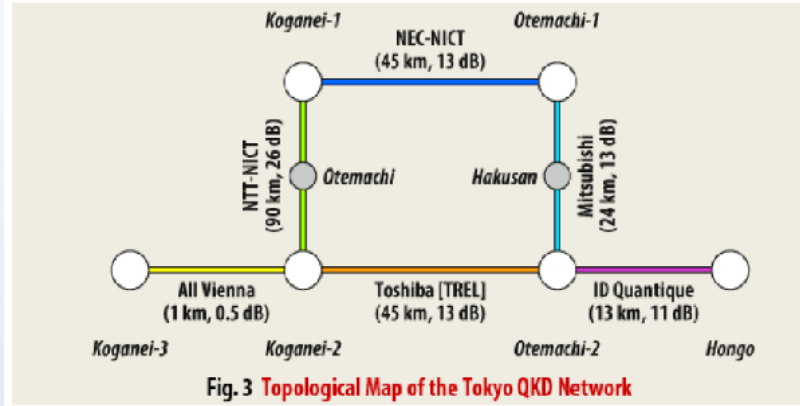


Figure 5. Photographs of the SECOQC network node racks.

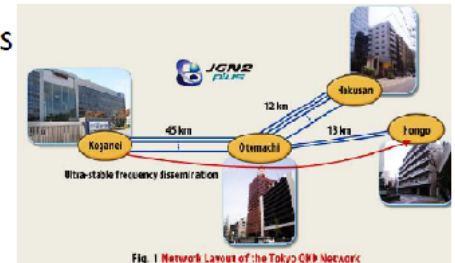
Tokyo QKD Network

- NEC, Mitsubishi Electric, NTT, NICT, Toshiba Research Europe Ltd. (UK), ID Quantique (Switzerland) All Vienna (Austria)

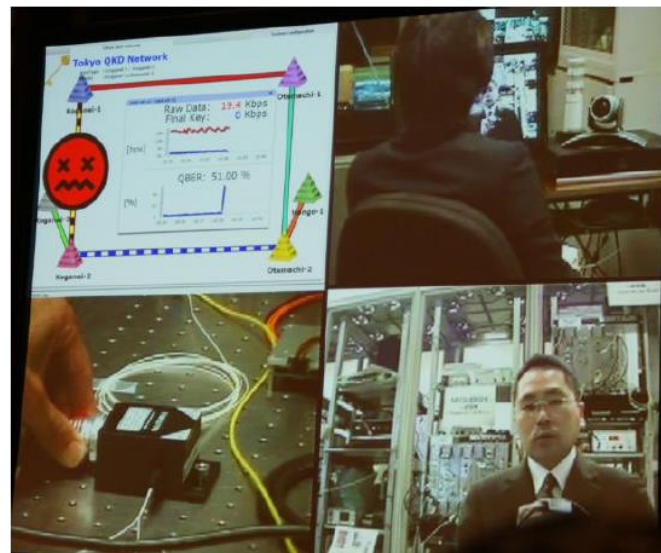


Network Layout

- Make use of JGN2plus
- Star network

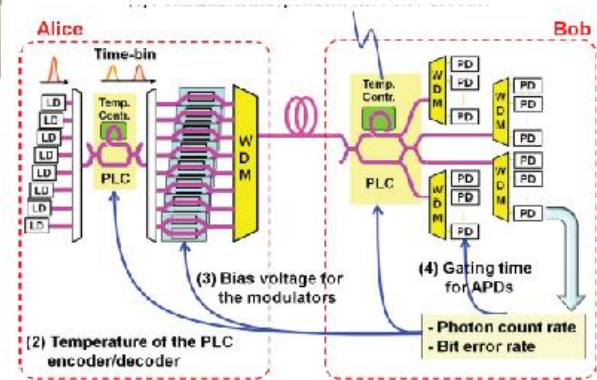
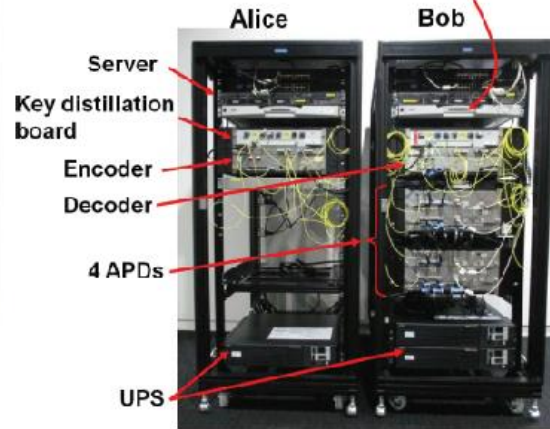


Secure Video Conference



Alice

Bob



Korean government plan

[Quantum R&D Testbed(~'15)]



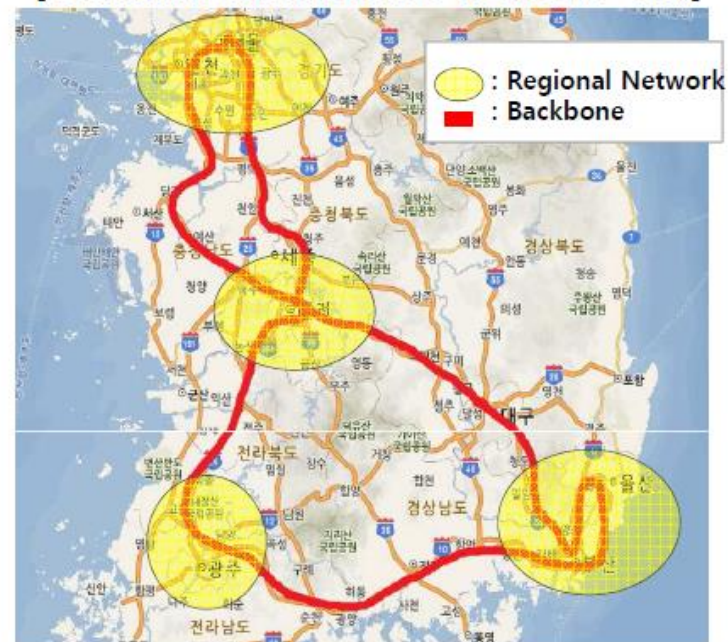
- SKT(Bundang) – KIST(Suwon) – NSTR(Seoul)

[Quantum Backbone(~'17)]



- Seoul-Southern Gyeonggi-Sejong-Daejeon

[National Administrative Network ~'20]



- Tentative the number of nodes

Category	# of node	비고
Public Administration	347	National wide office
Prosecutor & Police Office	2,264	National wide office
Post Office	3,562	National wide office

- Extend to defense and financial institute
 - Defense comm.: 516 nodes
 - Financial Institute(1tier) 8275 nodes(incl. branches)

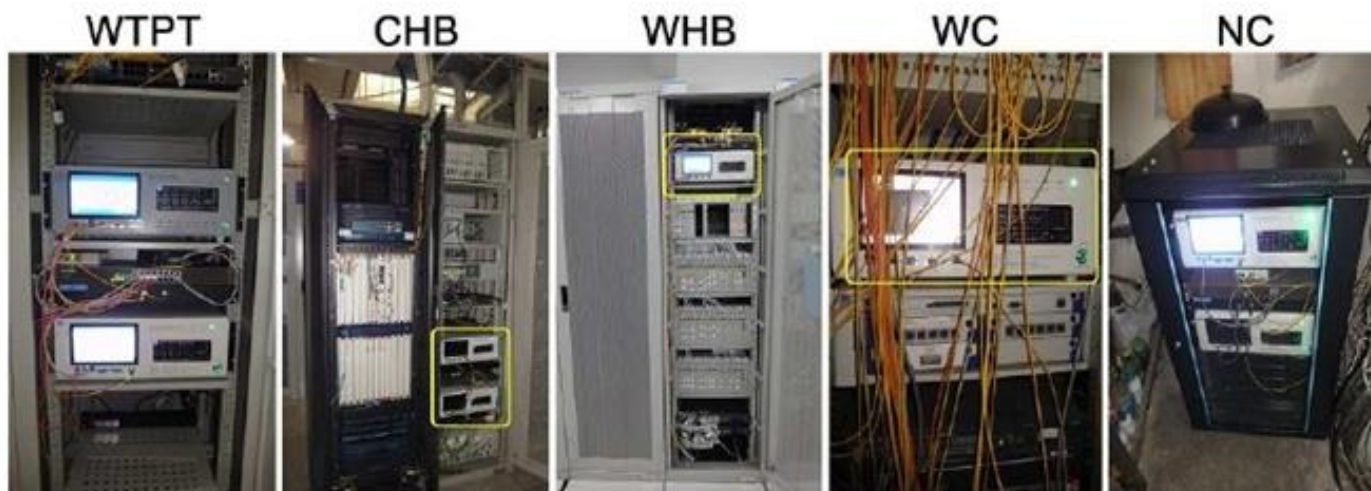
Chinese Trusted node Quantum network

- Total Length 2000 km
- 2013.6-2016.12
- 32 trustable relay nodes
31 fiber links
- Metropolitan networks
Existing: Hefei, Jinan
New: Beijing, Shanghai
- Total Investment: 560 M RMB. Half by NDRC, Half by Local government
- Customer: China Industrial & Commercial Bank; Xinhua News Agency; CBRC

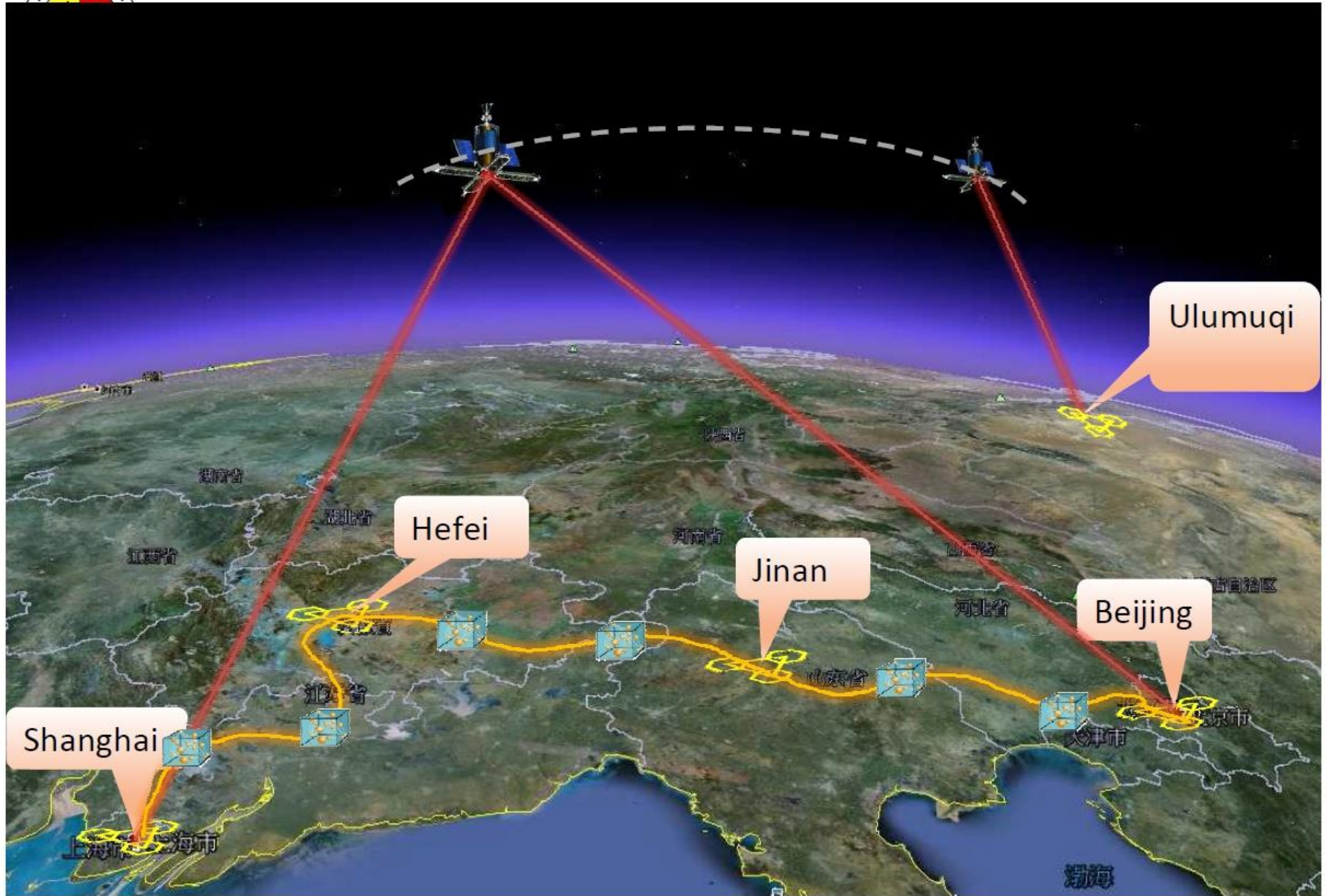




Geographic distribution of the Hefei-Chaohu-Wuhu wide area QKD network, which connects three cities – Hefei, Chaohu, and Wuhu.

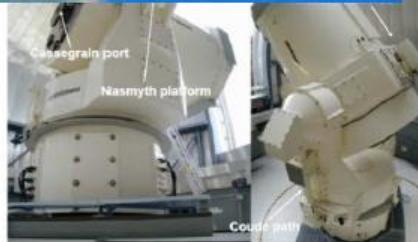
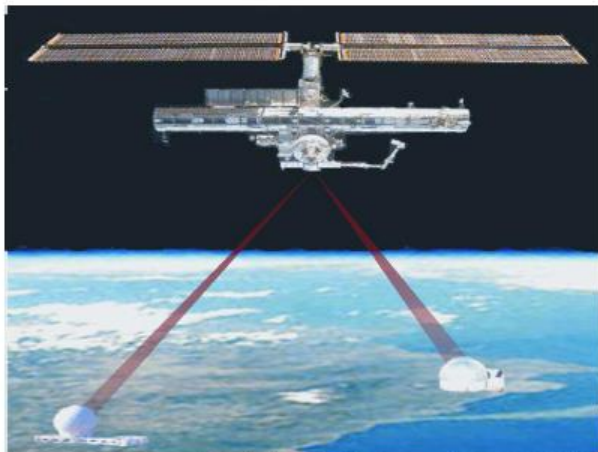


Chinese Trusted node Quantum network



Proposals for quantum communication in space

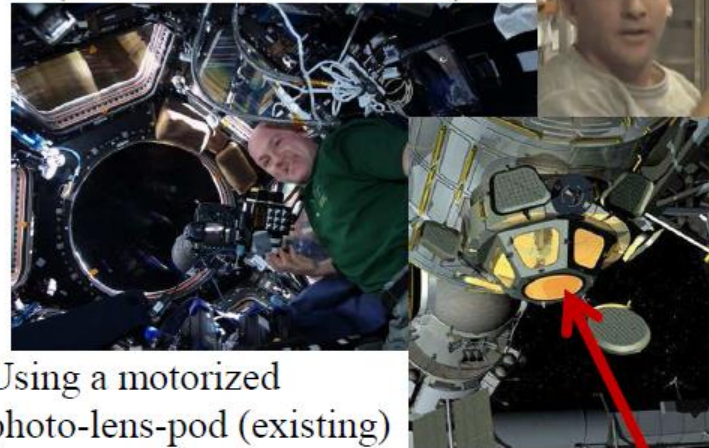
Dual-downlink (ROM R&D 47 M€)



Simultaneous
optical downlink:
1400 km separation.

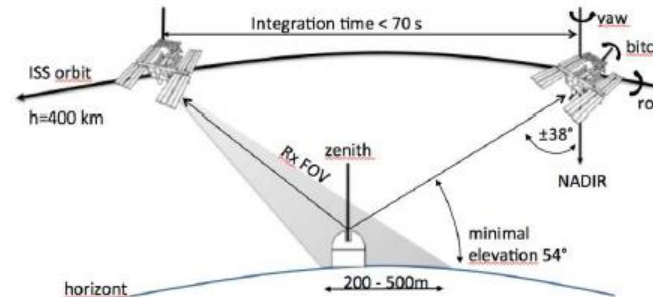
R. Ursin et al., Europhysics News,
26-29, 40–40 (3) (2009)

Single-uplink (ROM R&D 1 M€)



Astronaut:
A. Kuipers

Using a motorized
photo-lens-pod (existing)
and a dedicated quantum
detector as “camera”.

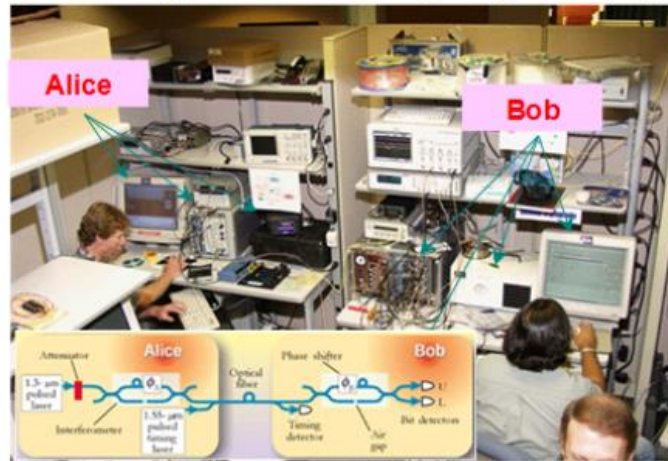


T. Scheidl, E. Wille, and R. Ursin,
New Journal of Physics, 15, 043008 (2013)

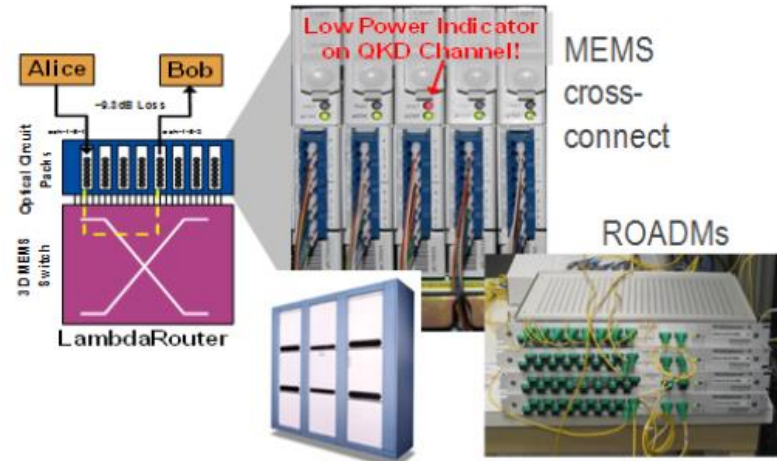


Telcordia Experience: Quantum Networks

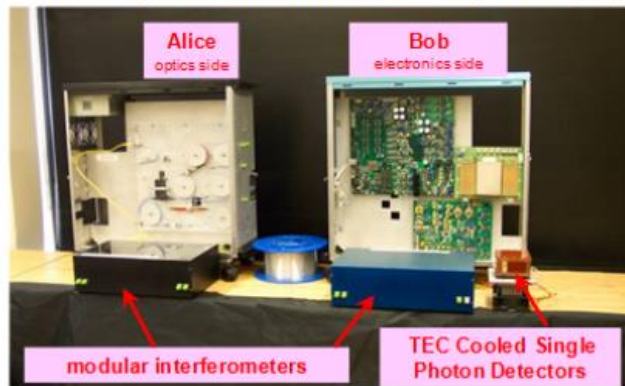
LANL 2nd generation fiber QKD system (F2)



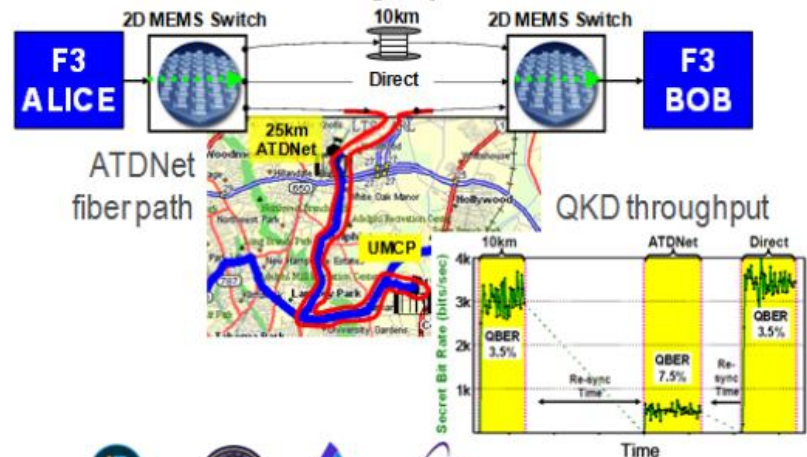
QKD Transmission through all-optical switches



LANL 3rd generation fiber QKD system (F3)



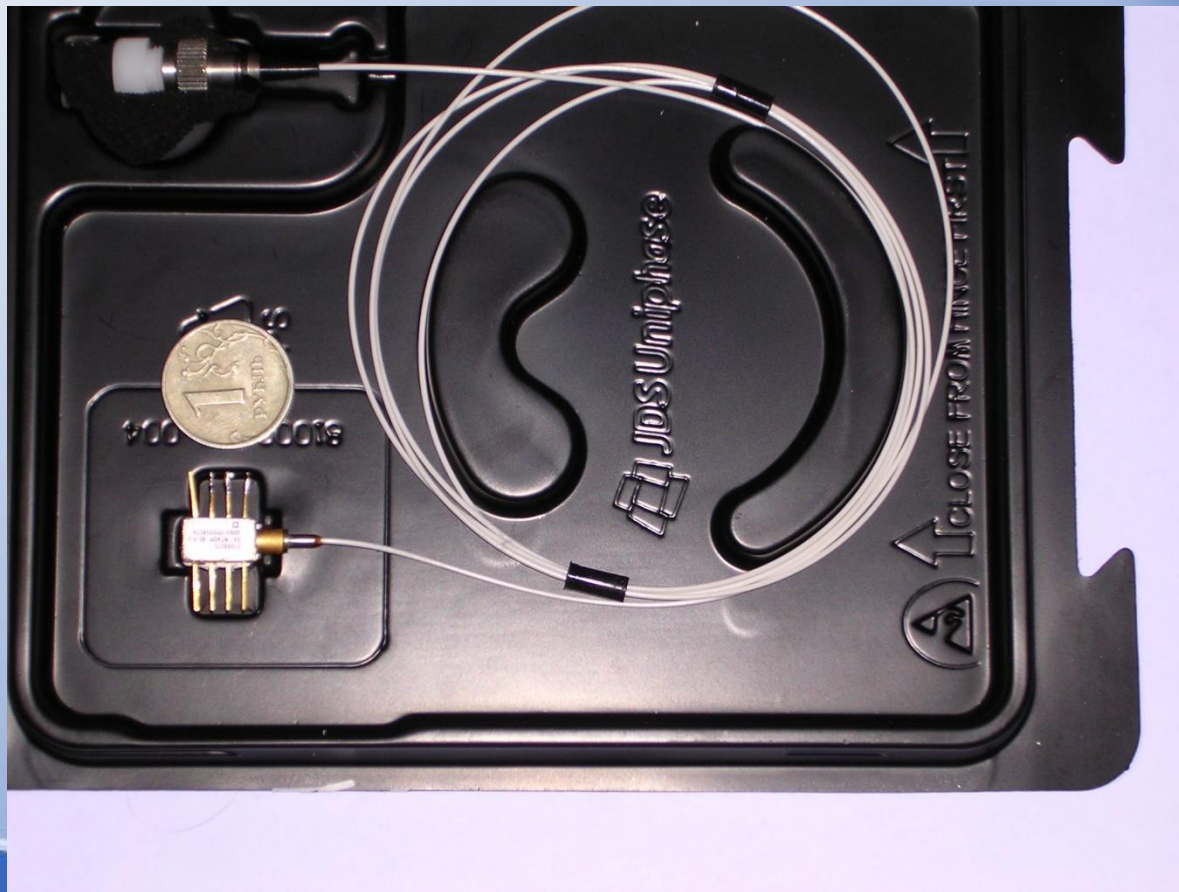
QKD Transmission through optical switches and ATDNet



Ref: R. J. Hughes and T.E. Chapuran, "Introduction to Quantum Cryptography", Optical Fiber Communications (OFC) Short Course, Los Angeles, CA, 2011

Часть III.

1. Вопросы, которые требуется решить (интегрирование в имеющиеся шифр-средства, устойчивость относительно активного зондирования, инфраструктура, элементная база).



Hacking commercial quantum cryptography systems by tailored bright illumination

Lars Lydersen,^{1,2, a)} Carlos Wiechers,^{3,4,5} Christoffer Wittmann,^{3,4} Dominique Elser,^{3,4} Johannes Skaar,^{1,2} and Vadim Makarov¹

¹⁾ *Department of Electronics and Telecommunications, Norwegian University of Science and Technology, NO-7491 Trondheim, Norway*

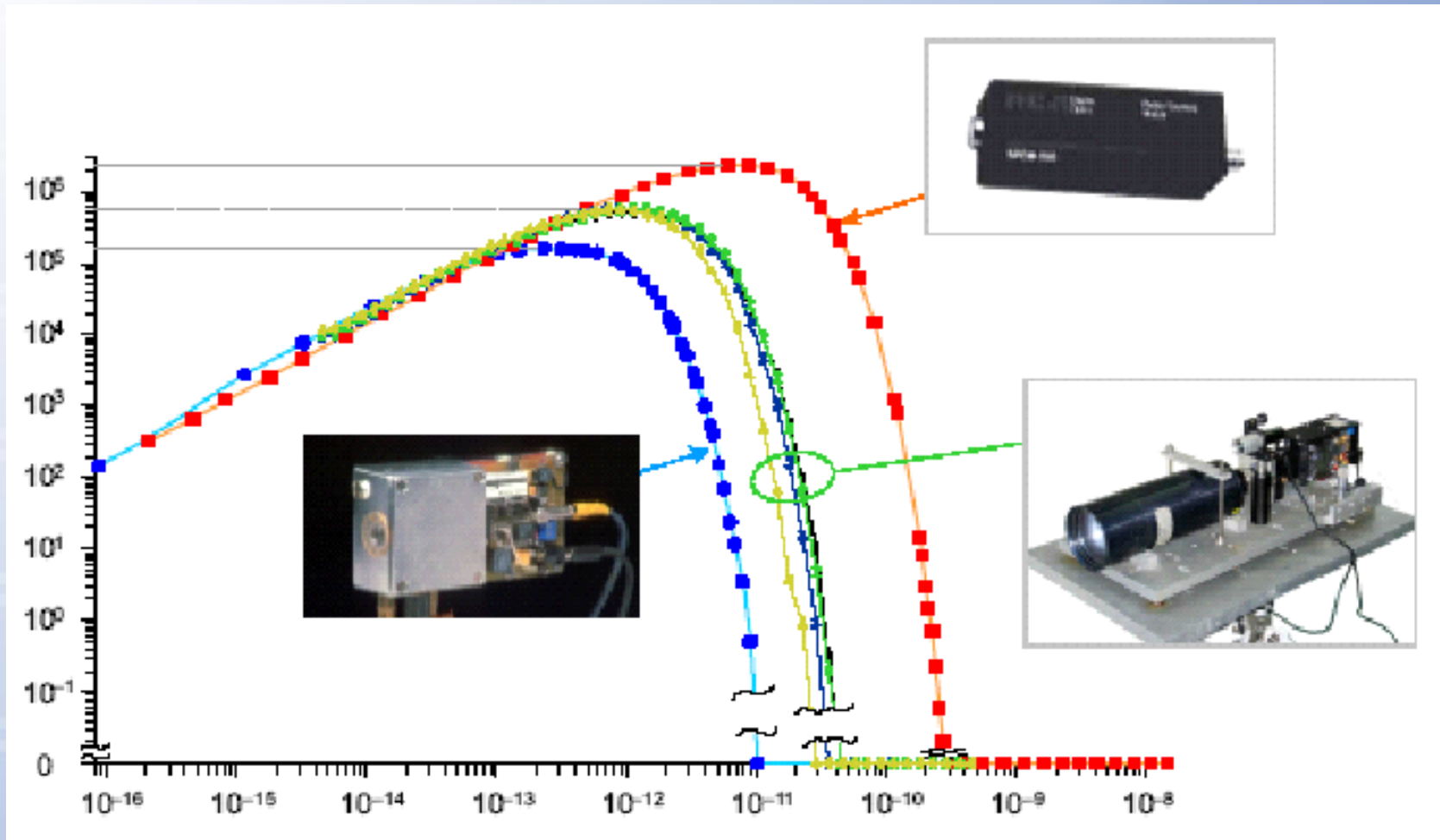
²⁾ *University Graduate Center, NO-2027 Kjeller, Norway*

³⁾ *Max Planck Institute for the Science of Light, Günther-Scharowsky-Str. 1/Bau 24, 91058 Erlangen, Germany*

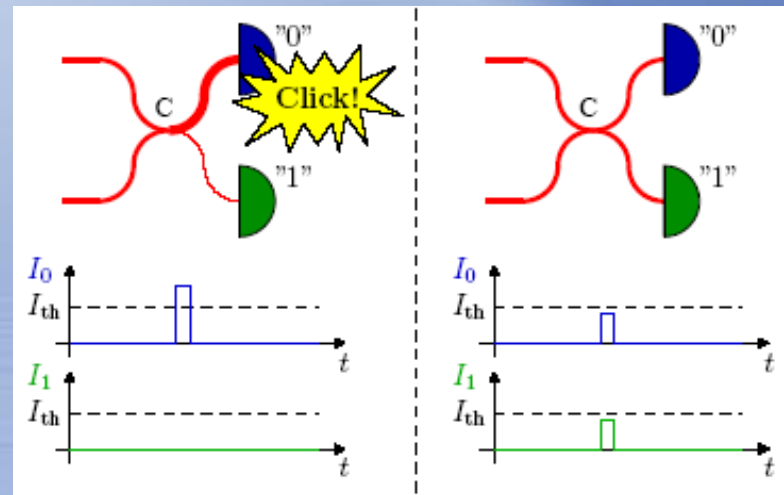
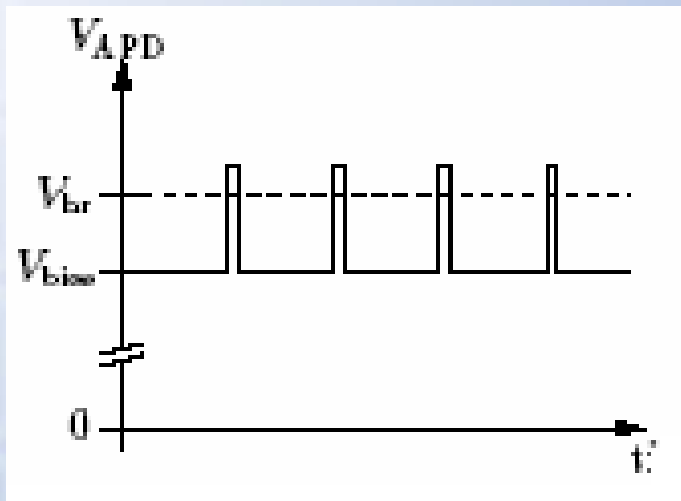
⁴⁾ *Institut für Optik, Information und Photonik, University of Erlangen-Nuremberg, Staudtstraße 7/B2, 91058, Erlangen, Germany*

⁵⁾ *Departamento de Física, Universidad de Guanajuato, Lomas del Bosque 103, Fraccionamiento Lomas del Campestre, 37150, León, Guanajuato, México*

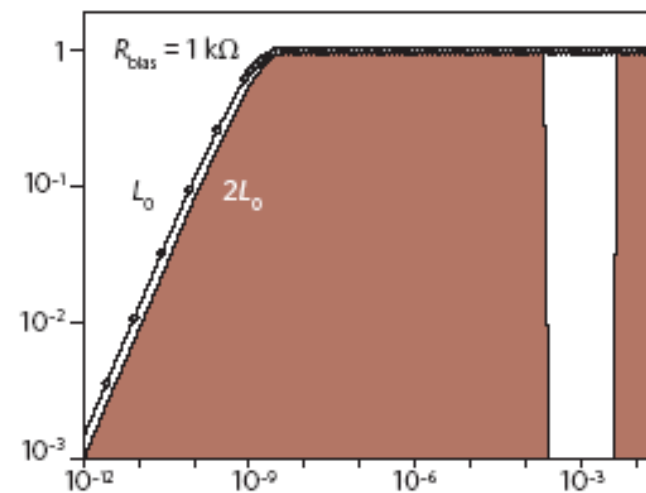
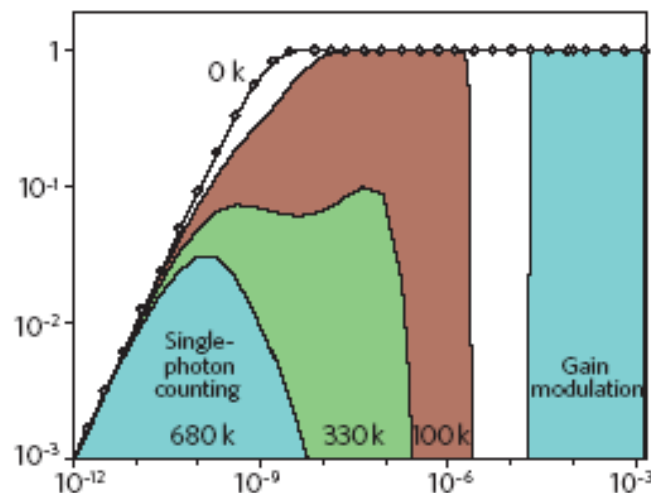
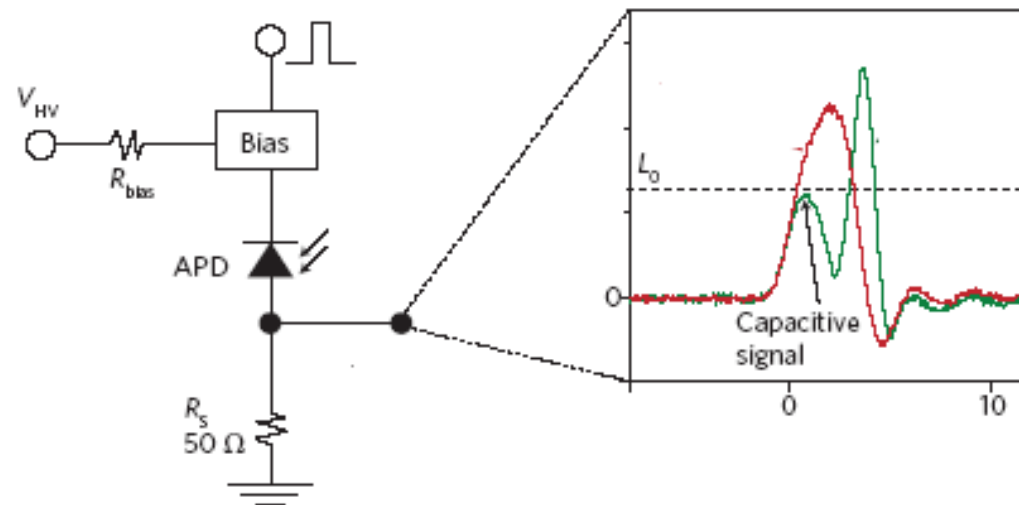
Эффект ослепления



2.2 Атака на ключ посредством перевода лавинных фотодетекторов в классический режим фотодетектирования



Avoiding the blinding attack in QKD



**ОБ УЯЗВИМОСТИ БАЗОВЫХ ПРОТОКОЛОВ КВАНТОВОГО
РАСПРЕДЕЛЕНИЯ КЛЮЧЕЙ И О ТРЕХ ПРОТОКОЛАХ,
УСТОЙЧИВЫХ К АТАКЕ С «ОСЛЕПЛЕНИЕМ»
ЛАВИННЫХ ФОТОДЕТЕКТОРОВ**

*С. Н. Молотков**

101010101
0101010101

СПАСИБО ЗА ВНИМАНИЕ.